



T.C.
BAYINDIRLIK ve İSKÂN BAKANLIĞI
AFET İŞLERİ GENEL MÜDÜRLÜĞÜ
DEPREM ARAŞTIRMA DAİRESİ

**DEPREM
ARAŞTIRMA
"BÜLTENİ"**

76



Deprem Araştırma Bülteni (DAB)

*Bulletin of Earthquake Research
(Bull. Earthq. Res.)*



Nisan [April] / 1998
Cilt [Volume]: 25

Sayı [Issue]: 76

Bayındırlık ve İskân Bakanlığı [Ministry of Public Works and Settlement]
Afet İşleri Genel Müdürlüğü [General Directorate of Disaster Affairs]
Deprem Dairesi Başkanlığı [Directorate of Earthquake Research]

İÇİNDEKİLER [INDEX]

Sayfa [Page]

ARAŞTIRMA [RESEARCH]

- Kuzey Anadolu Fay Zonunun Doğu Kesiminin Deprem Riskinin Stepp Analizi Yöntemi ile Belirlenmesi [Seismic Risk Investigation of Eastern Region of North Anatolian Fault Zone by Stepp's Analysis]
Günruh BAĞCI 5-19

ARAŞTIRMA [RESEARCH]

- Anadolu'da Yer Alan On-Line Deprem İstasyonlarının Magnitüd Denklemlerinin Çıkarılması [Derivation of Magnitude Equations of On-Line Earthquake Stations in Anatolia]
Doğan KALAFAT, Gülay ÖZ, Mehmet KARA 20-30

ARAŞTIRMA [RESEARCH]

- 14 Ağustos 1996 Salhançayı (Çorum-Amasya) Depremi [The Salhançayı Earthquake of 14 August 1996, Çorum-Amasya]
Ramazan DEMİRTAŞ 31-46

ARAŞTIRMA [RESEARCH]

- 09 Ekim 1996 Paphos (Baf) Depremi, GB Kıbrıs [The Paphos Earthquake of October 09, 1996, SW Cyprus]
Ramazan DEMİRTAŞ 47-62

ARAŞTIRMA [RESEARCH]

- Batı Anadolu Kıyılarının Tarihsel Dönem Deprem Etkinliği [Historical Period Earthquake Activity of Western Anatolian Coasts]
Fatih M. ADATEPE 63-87

ARAŞTIRMA [RESEARCH]

- Rayleigh Yüzey Dalga Spektrumu, Cisim Dalgaları ve İlk Hareket Yönlerinden 1992-1997 Yıllarında Türkiye ve Civarında Oluşan Depremlerin ($M_s=5-8-6.8$) Analizi [Analysis of Earthquakes ($M_s=5-8-6.8$) Occurring in and Around Turkey in 1992-1997 from Rayleigh Surface Wave Spectrum, Body Waves and Initial Motion Directions]
Ali PINAR, Doğan KALAFAT, S. Balamir ÜÇER 88-122



T.C.
BAYINDIRLIK ve İSKAN BAKANLIĞI
AFET İŞLERİ GENEL MÜDÜRLÜĞÜ
DEPREM ARAŞTIRMA DAİRESİ

DEPREM ARAŞTIRMA BÜLTENİ

76



T.C.

BAYINDIRLIK ve İSKAN BAKANLIĞI
AFET İŞLERİ GENEL MÜDÜRLÜĞÜ
DEPREM ARAŞTIRMA DAİRESİ

DEPREM ARAŞTIRMA BÜLTENİ

76

DEPREM ARAŞTIRMA BÜLTENİ



**Üç Ayda Bir Yayınlanır
Bilim ve Meslek Dergisi**



**Sahibi
Bayındırlık ve İskan Bakanlığı Adına
Oktay Ergünay
Afet İşleri Genel Müdürü**



**Yazı İşleri Müdürü
Erol Aytaç
(Jeomorfolog)
Afet İşleri Genel Müdürlüğü
Deprem Araştırma Dairesi Başkanlığı**



**Posta Kutusu 763
Kızılay - ANKARA**



Telefon : 287 36 45 - 287 36 46

**ÖZYURT-MATBAACILIK
Tel: 230 76 31
ANKARA**

DEPREM ARAŞTIRMA BÜLTENİ

YIL 25

SAYI 76

1998

B U S A Y I D A

Kuzey Anadolu Fay Zonunun Doğu Kesiminin
Deprem Riskinin Stepp Analizi Yöntemi İle Belirlenmesi Dr. G. BAĞCI

Anadolu'da Bulunan On-Line Deprem
İstasyonlarının Magnitüd Denklemlerinin Çıkarılması D. KALAFAT
G. ÖZ
M. KARA

14 Ağustos 1996 Salhançayı
(Çorum-Amasya) Depremi R. DEMİRTAŞ

09 Ekim 1996 Paphos Depremi, GB Kıbrıs R. DEMİRTAŞ

Batı Anadolu Kıyılarının Tarihsel Dönem Deprem Etkinliği F. M. ADATEPE

Rayleigh Yüzey Dalga Spektrumu, Cisim Dalgaları ve
İlk Hareket Yönlerinden 1992-1997 Yıllarında Türkiye ve
Civarında Oluşan Depremlerin ($M_s=5.5-6.8$) Analizi A. PINAR
D. KALAFAT
S.B. ÜÇER

KUZEY ANADOLU FAY ZONUNUN DOĞU KESİMINİN DEPREM RİSKİNİN STEPP ANALİZİ YÖNTEMİ İLE BELİRLENMESİ

SEISMIC RISK INVESTIGATION OF EASTERN REGION OF NORTH ANATOLIAN FAULT ZONE BY STEPP'S ANALYSIS

Dr. Günruh Bağcı
Afet İşleri Genel Müdürlüğü
Deprem Araştırma Dairesi, ANKARA

ÖZET

Kuzey Anadolu Fay zonunun doğu kesiminde 1900-1990 yılları arasında olmuş $M \geq 4.0$ olan depremlerin yersel ve zamana göre dağılımları bölgenin sismik bakımından çok aktif olduğunu göstermektedir. Bu çalışmada, Kuzey Anadolu Fay zonunun doğu kesiminde, $36^\circ - 42^\circ$ D boyamları ve $39^\circ - 41^\circ$ K enlemleri ile sınırlı olan alanda meydana gelen depremlerin verileri kullanılarak, bölgenin depremselliği ve Stepp analizi yöntemiyle deprem riski çalışılmıştır.

Deprem episantılarının dağılımindan, büyük depremlerin olduğu Kuzey Anadolu Fay zonu boyunca belirgin kümelenme gözlenmiştir. Deprem magnitüd graplamasıyla, depremlerin zamana göre dağılımlarından her 10 senede kaydedilen magnitüdü 5.4'e kadar olan depremlerin sayılarında dalgalanmalar olmuş ve homojen sayı dağılımı olmadığı tespit edilmiştir. Kuzey Anadolu Fay zonunun doğu kesiminde çalışılan zaman aralığında $5.0 \leq M \leq 5.4$ magnitüd graplamasındaki deprem sayılarında 1950'ye kadar her 10 senede bir devamlı artış gözlenmiştir.

Analitik bir çözüm yöntemi olan Stepp analizi, belirli bir magnitüdde meydana gelmiş depremin belirlenmesinde ve aynı magnitüddeki depremin tekrarlanması için geçmesi gereken sürenin bulunmasında kullanılmaktadır. Stepp analiziyle, Kuzey Anadolu Fay zonunda, en büyük magnitüdları 5.4 olan depremlerin σ_λ değerlerinde çok az bir sapma görülmeye rağmen diğer magnitüd değerlerinde tümüyle kaydedilmiş depremlerin kayıt periyodlarının artmadığı gözlenmiştir. Depremlerin tekrarlanması için gereken zaman periyodunda, en büyük magnitüdları 4.4 olan depremlerin tekrarlanması için 5-30 yıllık, 4.9 olan depremlerin tekrarlanması için 10-40 yıllık, 5.4 olan depremlerin tekrarlanması için 25-45. yıllık, 5.9 olan depremlerin tekrarlanması için 40-55 yıllık ve 6.0 olan depremlerin tekrarlanması için 25-60 yıllık homojen bir gözlemin yeterli olacağının tespit edilmiştir.

ABSTRACT

The spatial and temporal distribution of earthquakes with magnitude of 4.0 and greater occurred in the eastern region of North Anatolian Fault zone between 1900-1990 was showed higher seismic activity. In this study, seismicity of region and seismic risk with Stepp Analysis method were studied using earthquakes which occurred in 36° - 42° E longitudes and 39° - 41° N latitudes in eastern region of North Anatolian Fault zone.

Higher seismic activity was observed throughout the region from the epicenter distributions of earthquakes. There was trend in the fluctuation in the number of earthquakes of magnitude 5.4 from magnitude classes and no homogeneous distribution of earthquakes with $5.0 \leq M \leq 5.4$ was increased in every 10 years period in eastern region of North Anatolian Fault zone. Stepp's Analysis was used to determine the recurrence rate of a particular magnitude of earthquake and the return period of a same magnitude of earthquake. The discrepancy was observed for earthquakes with a maximum magnitude of 5.4 throughout the North Anatolian Fault zone with Stepp's Analysis while the discrepancy for other magnitude classes was not observed.

It was concluded that, the recurrence of earthquakes with a maximum magnitude of 4.4, 5-30 years, the recurrence of earthquakes with a maximum magnitude of 4.9, 10-40 years, the recurrence of earthquakes with a maximum magnitude of 5.4, 25-45 years, the recurrence of earthquakes with a maximum magnitude of 5.9, 40-55 years and the recurrence of earthquakes with a maximum magnitude of 6.0, 25-60 years of homogeneous observations were sufficient to establish a stable mean rate.

GİRİŞ

Türkiye'nin en aktif deprem kuşağıını oluşturan Kuzey Anadolu Fayı yaklaşık 1200 km uzunlığında olup Karadeniz kıyısına paralel uzanan birçok kırıktan oluşmuş, sağ yönlü doğrultu atımlı bir faydır (Ketin, 1966). Kuzey Anadolu Fayı'nın sağ yönlü doğrultu atımlı bir fay zonu olduğu ilk kez 27 Aralık 1939 Erzincan depreminden ve onu izleyen 1942, 1943 ve 1944 depremlerinden sonra anlaşılmıştır (Ketin, 1968; McKenzie, 1972).

Kuzey Anadolu Fay zonu batıda Biga Yarımadasından başlayıp Yenice, Gönen ve Manyaş'tan geçerek Bursa ve Yenişehir üzerinden Kargı-Havza dolaylarına kadar

uzanmaktadır. Buradan GD'ya kıvrılarak Erzincan üzerinden Karlıova yakınında sol yönlü Karlıova-Bingöl fayı 40° lik bir açı ile kesmektedir (Ketin, 1969; 1976; 1983). Kuzey Anadolu Fayı tek bir kırık düzlemi olmayıp birbirine paralel veya kademeli faylardan oluşmuş bir fay zonu durumundadır ve belirli bir doğrultuda devam etmeyip bazı bölgelerde daha geniş açılar yaparak büükülmektedir. Van Gölü kuzey kenarından geçerek İran sınırına varmaktadır (Ketin, 1968). Kuzey Anadolu Fay zonunun doğu kesiminde oluşan depremlerin odak mekanizmaları üzerinde yapılan çalışmalarda hareketlerin mekanizması sağ yönlü doğrultu atımlı faylanma şeklinde bulunmaktadır (Öcal, 1968; Canitez, 1969; McKenzie, 1972; Alptekin, 1973).

Bu çalışmada, Kuzey Anadolu Fay Zonunun doğu kesiminde, $36^{\circ} - 42^{\circ}$ D boyamları ve $39^{\circ} - 41^{\circ}$ K enlemleri ile sınırlı alanda 1900-1990 yılları arasında olmuş $M \geq 4.0$ olan depremlerin verileri kullanılarak, bölgenin depremselliği ve Stepp Analizi yöntemi ile deprem riski hesaplanmıştır. Bunun için deprem parametreleri (oluş tarihi, enlem, boylam, derinlik, magnitüd) değişik kataloglardan derlenmiştir. Bu kataloglar; Türkiye ve Dolaylarının Deprem Kataloğu (Ergin ve diğ., 1967; 1971), Deprem Kataloğu (Shebalin ve diğ., 1974), Türkiye'nin Deprem Kataloğu (Alsan ve diğ., 1975), ISC (International Seismological Centre), ISS (International Seismological Summary), BISC (Bulletin of the International Seismological Centre) ve PDE (Preliminary Determination of Epicenters) dir.

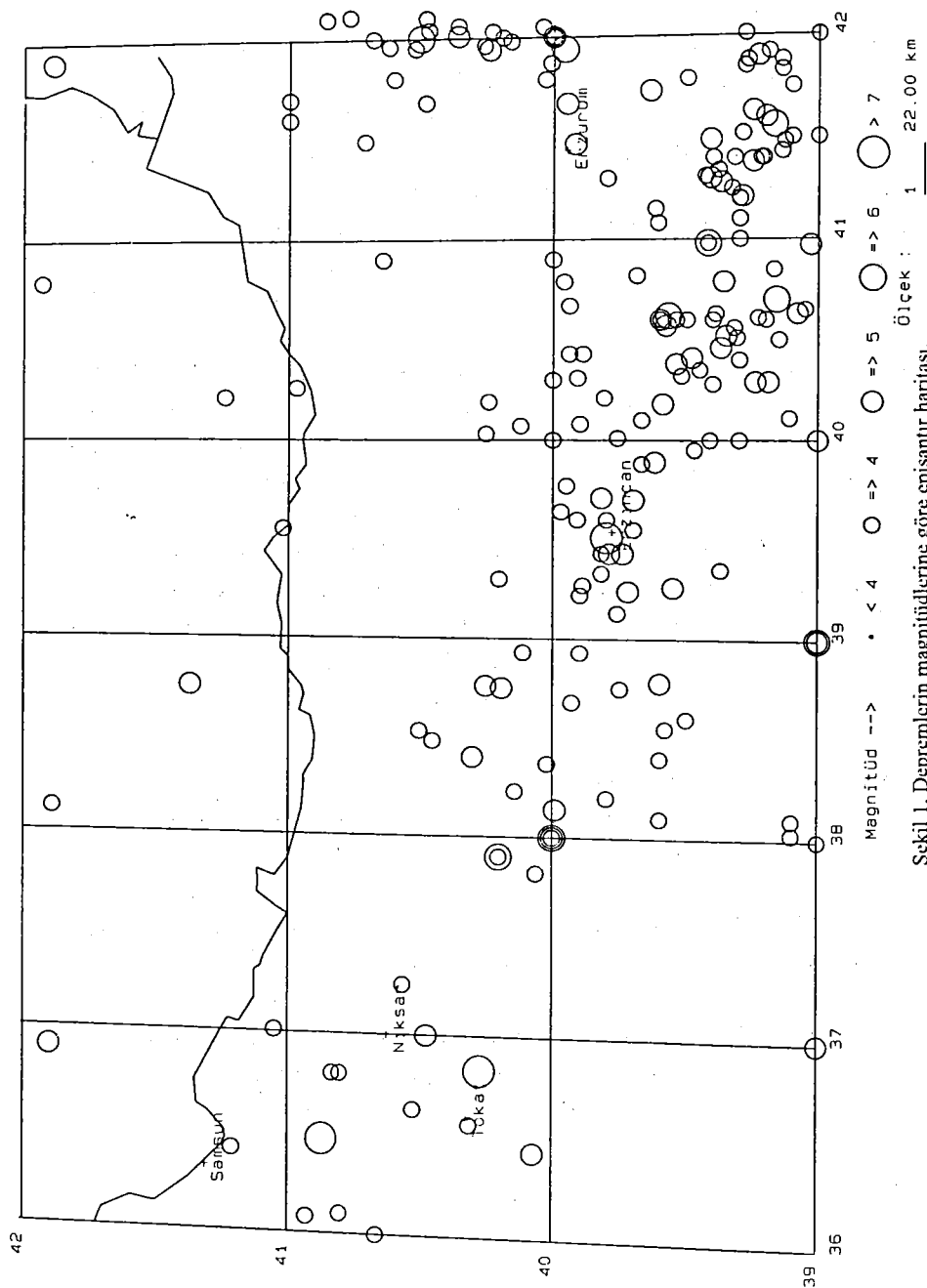
DEPREMLERİN YEREL DAĞILIMI

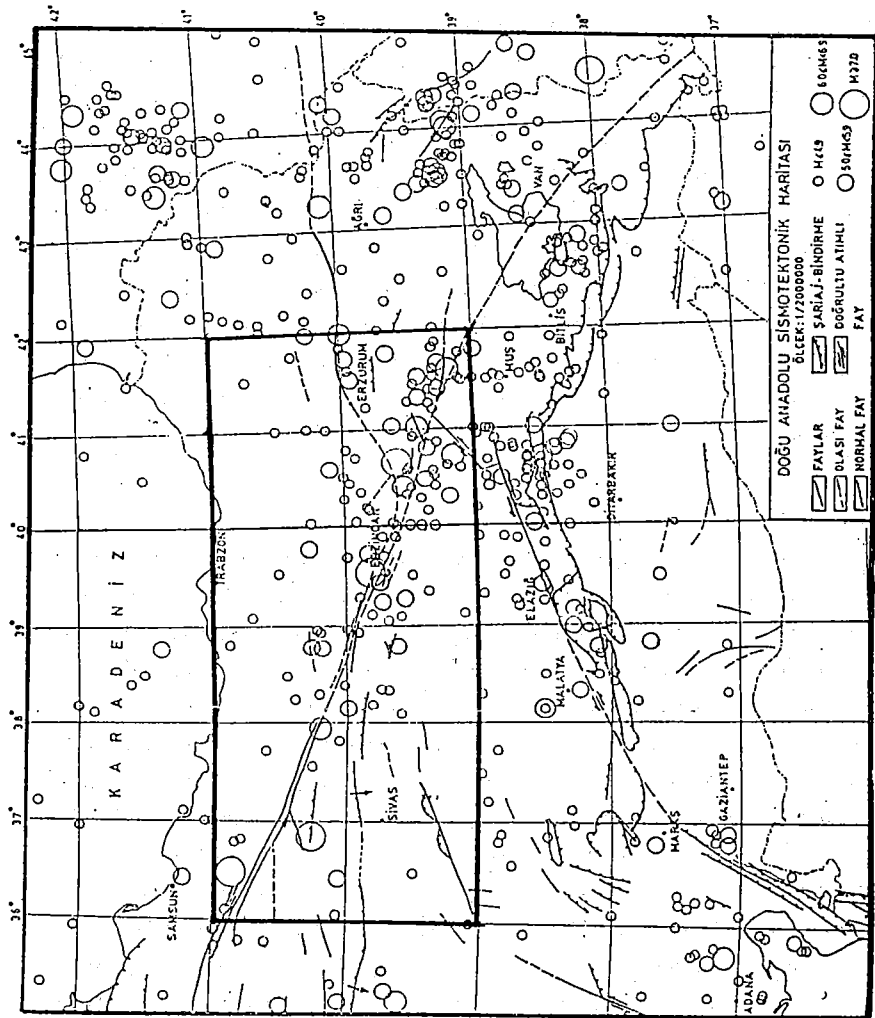
Burada belirtilen kaynaklardan derlenen 1900-1990 yılları arasında olmuş magnitüdü $M \geq 4.0$ depremlerin parametreleri kullanılarak magnitüde göre episantür haritası Şekil 1'de ve sismotektonik harita Şekil 2'de verilmiştir. Şekil 1'de görüldüğü gibi, Kuzey Anadolu Fay zonunun doğu kesiminde deprem etkinliğinin yoğun olduğu gözlenmektedir.

Kuzey Anadolu Fay zonunun doğu kesiminde deprem etkinliğini ortaya koymak için depremlerin zaman içerisindeki dağılımları ve enerji boşalımları incelenmiştir. Enerji boşalımlarının hesaplanması, Bath (1979) tarafından verilen

$$\log E = 12.24 + 1.44 M \quad (1)$$

enerji formülü kullanılmıştır.





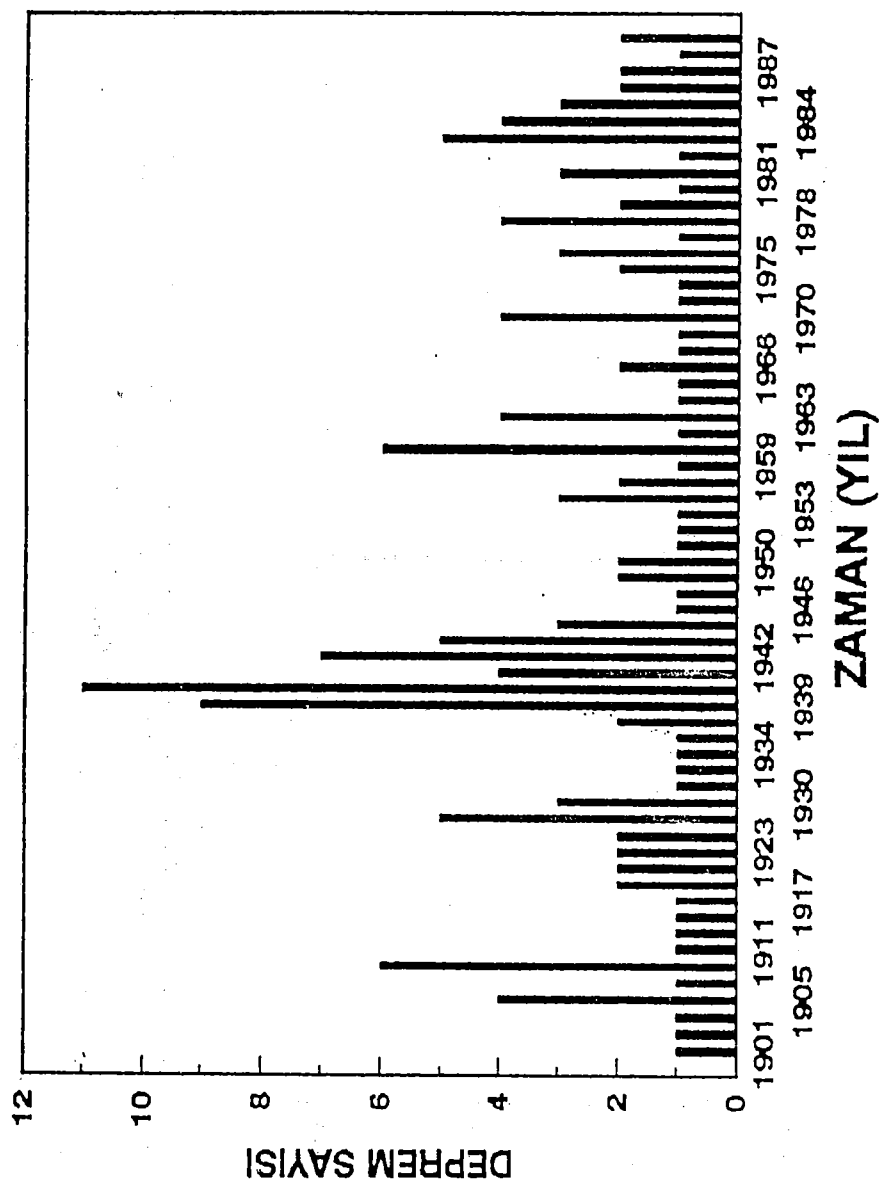
Şekil 2. Sismotektonik harita (Erdik ve Martıthur, 1980).

Kuzey Anadolu Fay zonunda yıllara göre deprem sayıları grafiği Şekil 3'de gösterilmiştir. Bu grafik incelediğinde bölgede sürekli bir deprem etkinliği görülmektedir. Bölge için etkinlik 1901 yılında ilk kez başlamış, bu etkinlik 9 Şubat 1909 depremiyle kendini göstermiş, 26 Aralık 1939 ve 2 Ocak 1940 depremleriyle maksimum değere ulaşmıştır. 26 Kasım 1942, 26 Ocak 1960 ve 18 Kasım 1983 depremleriyle deprem sayısı ve deprem etkinliği artmıştır. Bu tarihten itibaren 1990 yılına kadar kısmen durgun bir dönemde girmiştir. Şekil 4'de verilen toplam enerji boşalımı grafiği incelediğinde, belli zaman aralıklarında enerji birikimi olmuş ve bu birikim belli tarihlerde büyük magnitüdü depremlerle açığa çıkmıştır. Bu bölgede biriken enerji, sırasıyla 4 Aralık 1905 ($M=5.9$), 9 Şubat 1909 ($M=5.8$), 24 Ocak 1916 ($M=6.2$) ve 26 Aralık 1939 ($M=7.1$) Erzincan depremiyle açığa çıkmıştır. Daha sonra 2 Aralık 1942 ($M=6.3$) depremiyle tekrar enerji boşalımı olmuştur. Şekil 4'ün incelenmesiyle 24 Nisan 1960 ($M=5.5$) depremiyle yine enerji boşalımı olmuş ve daha sonra durgunluk dönemine girmiştir. Toplam enerji boşalımı 4379.38×10^{20} erg olarak hesaplanmış ve 1990 yılının sonuna kadar küçük magnitüdü depremlerle enerji boşalımı devam etmiştir.

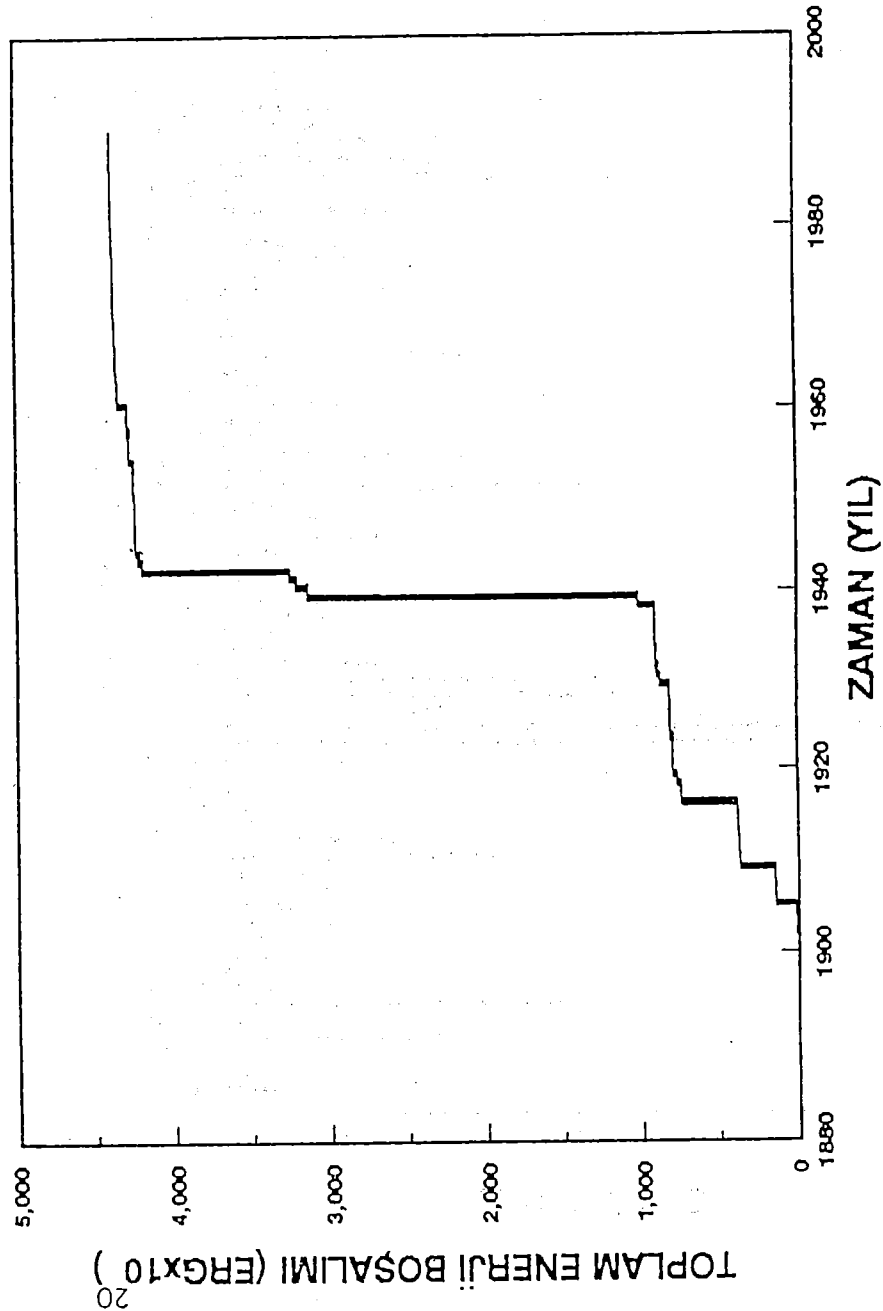
STEPP ANALİZİ

Deprem oluşumlarının veya tekrar olma riskinin dönüşüm periyodlarının belirlenmesi, sismik çalışma yapılan veya sismik aktivitesi halen devam eden bölgeler için çok önemlidir. Dönüşüm periyodlarının belirlenmesinde kullanılan birçok istatistiksel çalışma neticesinde deprem oluşumları ve deprem olma riski ile ilgili farklı sonuçlar elde edilmiştir. Stepp analizi, analitik çözüm yöntemidir(Stepp, 1971) ve belirli bir magnitüdde meydana gelmiş depremin belirlenmesinde "olşabilmeyi" tespit etmek için kullanılmaktadır. Stepp(1971) bir depremin olşabilme oranı $\lambda(M)=N(M)$ olarak modellenmiş(5 ayrı gruplamadaki M magnitüdü N tane deprem) ve T zaman periyodunda $\lambda(M)$ 'in varyansı σ_{λ}^2 , λ/T 'ye eşit olduğunu belirtmiştir. Burada, σ_{λ} ile $1/\sqrt{T}$ grafiksel anlatımda birbirlerine paraleldirler ve aralarında farklılıklar, eğer kısa zaman aralıkları $\lambda(M)$ ortalamasının iyi bir tahminini sağlayacak kadar uzun değilse veya bu kısa zaman aralıklarında meydana gelmiş deprem verilerinde eksiklikler varsa, meydana gelmektedirler (Makropoulos ve Burton, 1981).

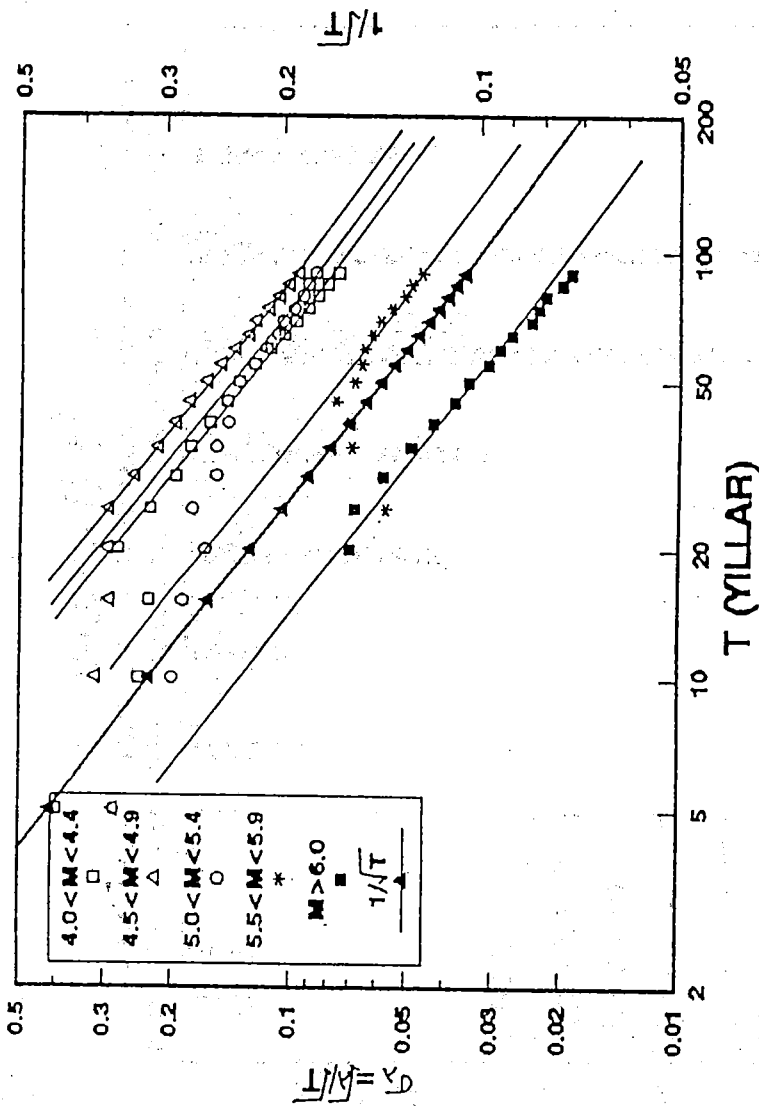
5 magnitüd gruplaması için elde edilen olşabilme grafiği Şekil 5'de gösterilmiştir. Bu grafik için kullanılan σ_{λ} değerlerinin hesaplamaları Çizelge 1'de, Stepp analizinin neticesinde, çalışılan bölgede elde edilen sonuçlar Çizelge 2'de verilmiştir. 90 yıllık süre içerisinde 5'şer yıllık zaman aralıklarında σ_{λ} 'nın değerlerinden şunları



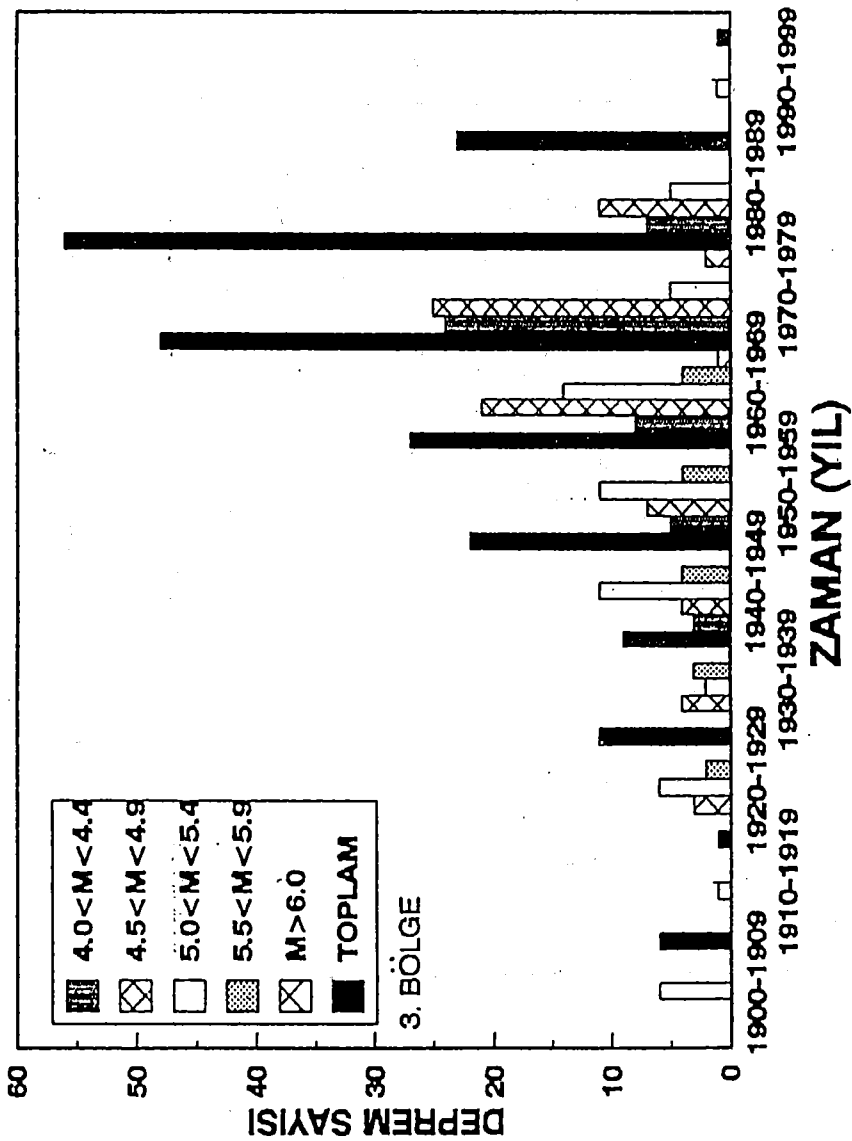
Şekil 3. Yıllara göre deprem sayıları.



Şekil 4. Toplam enerji boşalının zamanla değişimi.



Şekil 5. Oluşabilme testinde σ_T 'in zamanla değişimini.



Şekil 6. Magnitüd gruptamasyyla depremlerin zamana göre dağılımları.

Zaman Periyodu	$\frac{T}{(y_{11})}$	$1/\sqrt{T}$		$4.0 \leq M \leq 4.4$		$4.5 \leq M \leq 4.9$		$5.0 \leq M \leq 5.4$		$5.5 \leq M \leq 5.9$		$M \geq 6.0$		
		N	λ	σ_i	N	λ	σ_i	N	λ	σ_i	N	λ	σ_i	
1990-1986	5	0.4472	4	0.80	0.40	2	0.40	0.28	2	0.40	0.28	0	0.00	0.00
1990-1981	10	0.3162	6	0.60	0.25	10	1.00	0.32	4	0.40	0.20	0	0.00	0.00
1990-1976	15	0.2582	12	0.80	0.23	19	1.27	0.29	8	0.53	0.19	0	0.00	0.00
1990-1971	20	0.2236	31	1.55	0.28	35	1.75	0.30	11	0.55	0.17	0	0.00	0.00
1990-1966	25	0.2000	33	1.32	0.23	54	2.16	0.29	20	0.80	0.18	2	0.08	0.06
1990-1961	30	0.1826	35	1.17	0.20	57	1.90	0.25	22	0.73	0.16	3	0.10	0.06
1990-1956	35	0.1690	40	1.14	0.18	59	1.69	0.22	30	0.86	0.16	6	0.17	0.07
1990-1951	40	0.1581	42	1.05	0.16	62	1.55	0.20	34	0.85	0.15	8	0.20	0.07
1990-1946	45	0.1491	44	0.98	0.15	67	1.49	0.18	44	0.98	0.15	12	0.27	0.08
1990-1941	50	0.1414	47	0.94	0.14	68	1.36	0.17	47	0.94	0.14	12	0.24	0.07
1990-1936	55	0.1348	47	0.85	0.13	70	1.27	0.15	48	0.87	0.13	13	0.24	0.07
1990-1931	60	0.1291	47	0.78	0.11	71	1.18	0.14	49	0.82	0.12	15	0.25	0.07
1990-1926	65	0.1240	47	0.72	0.11	72	1.08	0.13	50	0.77	0.11	16	0.25	0.06
1990-1921	70	0.1195	47	0.67	0.10	75	1.07	0.12	55	0.79	0.11	17	0.24	0.06
1990-1916	75	0.1155	47	0.63	0.09	75	1.00	0.12	55	0.73	0.10	17	0.23	0.05
1990-1911	80	0.1118	47	0.59	0.09	75	0.94	0.11	56	0.70	0.09	17	0.21	0.05
1990-1906	85	0.1085	47	0.55	0.08	75	0.88	0.10	60	0.71	0.09	17	0.20	0.05
1990-1901	90	0.1054	47	0.52	0.08	75	0.83	0.10	62	0.69	0.09	17	0.19	0.05

Cizelge 1. Stepp analizinde hesaplanan parametreler.

Magnitüd grupları	Kararlı ortalaması tekrarlanma için gereken zaman (yıl)	Tamamıyla rapor edilen depremlerin periyodu
$4.0 \leq M \leq 4.4$	5-30	45 (1990-1946)
$4.5 \leq M \leq 4.9$	10-40	55 (1990-1936)
$5.0 \leq M \leq 5.4$	25-45	65 (1990-1926)
$5.5 \leq M \leq 5.9$	40-55	70 (1990-1921)
$M \geq 6.0$	25-60	90 (1990-1901)

Çizelge 2. Oluşabilme testinin sonuçları.

çıkartabılırız. En büyük magnitüdleri 4.4 olan depremlerin oluşabilmesi için 5-30 yıllık bir gözlem yeterli olmaktadır. En büyük magnitüdleri 4.9, 5.4, 5.9 ve 6.0 olan depremler için 10-40 yıllık, 25-45 yıllık, 40-55 yıllık ve 25-60 yıllık sürelerin geçmesi gerekmektedir.

Şekil 5'den görüldüğü gibi oluşabilme grafiği incelendiğinde σ_λ değerlerinin, $1/\sqrt{T}$ davranışından sapmaları en büyük deprem magnitüdleri 5.4 olan magnitüd gruplamasında gözlenmektedir. En büyük magnitüdleri 5.4 olan depremlerin yetersiz veriden, σ_λ değerlerinin $1/\sqrt{T}$ davranışından sapmasında, her magnitüd gruplamasında aynı zamanda meydana gelmesi gereklidir. Bu durum farklı zamanlarda meydana geldiği için, bu sapmanın nedeninin eksik veriden olduğu kolayca gözlenmektedir.

Deprem magnitüd gruplamasında depremlerin zamana göre dağılımları Şekil 6'da gösterilmiştir. Bu şekil incelendiğinde, her 10 senede kaydedilen magnitüdü 5.4'e kadar olan depremlerin sayılarında dalgalanmalar mevcuttur ve homojen sayı dağılımı yoktur. Bu nedenle bu gruptaki depremlerin kataloglarda yeterli miktarda kayıtlarının olmadığı gözlenmiştir.

SONUÇLAR

Kuzey Anadolu Fay zonunun doğu kesiminde, deprem etkinliğinin sürekli olarak devam ettiği ve büyük magnitüdü depremlerle enerji boşalımının olduğu, sismik aktivitenin büyük magnitüdü depremlerden sonra azaldığı tespit edilmiştir.

Çalışılan bölgede, $1/\sqrt{T}$ nin grafiksel davranışında paralellilik elde edilmiş ve σ_λ değerlerinin $1/\sqrt{T}$ ye göre çizilen grafiğinde paralel olan davranış bazı magnitüd gruplamaları için sapmalar göstermiştir. En büyük magnitüdleri 4.4 olan depremlerin tekrarlanması için 5-30 yıllık bir gözlemin yeterli olacağı tespit edilmiştir. Aynı şekilde, magnitüdleri 4.9, 5.4, 5.9 ve 6.0 olan depremler için 10-40 yıllık, 25-45 yıllık, 40-55 yıllık ve 25-60 yıllık sürelerde kayıt yapılması gerekmektedir. En büyük magnitüdleri 5.4 olan depremlerin, her büyüklüğünde, rapor edilen depremlerin periyodu fazlalaştıkça σ_λ değerlerinin, $1/\sqrt{T}$ davranışından saplığı gözlenmiştir. Bu sapma olayının nedeni ise depremlerin yüksek frekanslarda kaydedilmesidir.

Deprem magnitüd gruplamasıyla, her 10 senede kaydedilen magnitüdü 5.4'e kadar olan depremlerin sayılarında dalgalanmalar olmuş ve bu gruptaki depremlerin kataloglarda yeterli miktarda kayıtlarının olmadığı tesbit edilmiştir.

KAYNAKLAR

Alptekin, Ö., 1973, Focal mechanism of earthquakes in Western Turkey and their tectonic implications: Ph.D. Thesis, New Mexico Inst. of Mining and Tech., Socorro, New Mexico.

Alsan, E., Tezuçan, L. and Bath, M., 1975, An earthquake catalogue for Turkey for the interval 1913-1970, Report No. 7-75, Kandilli Rasathanesi, İstanbul.

Bath, M., 1979, Introduction to Seismology, 428 sayfa.

Canitez, N., 1969, Türkiye ve civarında deprem odak hareketleri gerilme dağılımları: İ.T.Ü. Maden Fak. yayını, İstanbul.

Erdik, M.Ö. ve Marthur, S.K., 1980, M.E.T.U. Report No:4.

Ergin, K., Uz, Z. ve Güçlü, U., 1967, Türkiye ve civarının deprem kataloğu (M.S. 11 yılından 1964 sonuna kadar), İ.T.Ü. Maden Fak. Arz Fiziği Enst. Yayıni, 24.

Ergin, K., Güçlü, U. ve Aksay, G., 1971, Türkiye ve dolaylarının deprem kataloğu (1965-1970): İ.T.Ü. Maden Fak. Arz Fiziği ens. Yayıni, 28, 939s.

Ketin, İ., 1966, Anadolu'nun tektonik birlikleri: M.T.A. Dergisi, 66, 20-34.

Ketin, İ., 1968, Türkiye'nin tektonik durumu ile başlıca deprem bölgeleri arasındaki ilişkiler: M.T.A. Dergisi, 71, 129-134.

Ketin, İ., 1969, Kuzey Anadolu Fayı hakkında: M.T.A. Dergisi, 72, 1-25.

Ketin, İ., 1976, San Andreas ve Kuzey Anadolu faylarının karşılaştırılması: T.J.K. Bül., 19, 149-154.

Ketin, 1983, Türkiye jeolojisine genel bakış: İ.T.Ü. yayını.

Makropoulos, K.C. and Burton, P.W., 1981, A catalogue of seismicity in greece and adjacent areas: Geophys. J. R. Astr. Soc., 65, 741-762.

McKenzie, D.P., 1972, Active tectonics of Mediterranean region: Geophysics, 18, 1-32.

Öcal, N., 1968, 1938-1955 yılları arasında Anadolu'da vuku bulan bazı şiddetli zelzelelerde faylanma doğrultuları, M.E.B. Kandilli Rasathanesi, Sismoloji Yayınları, No.12, İstanbul.

Shebalin, N.V., Karnik, V. and Hadzievski, D., 1974, Editors Catalogue of earthquakes, Part I, 1901-1970, and Part II, prior to 1901, UNESCO Publ., Skopje.

Stepp, J.C., 1971, An investigation of earthquake risk in the Puget Sound area by use of the type I distribution of largest extremes, Ph.D. Thesis, Pennsylvania State University, 131 pp.

ANADOLU'DA YER ALAN ON-LINE DEPRİM İSTASYONLARIN MAGNİTÜD DENKLEMLERİNİN ÇIKARTILMASI

Doğan KALAFAT B.U. Kandilli Rasathanesi ve Deprem Araştırma Enstitüsü, 81220 Çengelköy-İSTANBUL
Gülay ÖZ B.U. Kandilli Rasathanesi ve Deprem Araştırma Enstitüsü, 81220 Çengelköy-İSTANBUL
Mehmet KARA B.U. Kandilli Rasathanesi ve Deprem Araştırma Enstitüsü, 81220 Çengelköy-İSTANBUL

ÖZET

Bu çalışmada, Kandilli Rasathanesi ve Deprem Araştırma Enstitüsü (KRDAE) Deprem Ağına ait ve büyük çoğunluğu Orta ve Doğu Anadolu'da olan 10 adet deprem istasyonunun süreye bağlı manyitüd denklemeleri çıkartılmıştır.

Çalışmada 1 adet yerleşik, 9 adet on-line deprem istasyonunun verisinden yararlanmıştır. KRDAE Deprem Ağına bağlı değişik istasyonlar tarafından verilmiş manyitüdler (M_0) referans manyitüd olarak kullanılmıştır.

Özellikle 1995-1996 yılları arasında KRDAE Deprem Ağrı tarafından kaydedilen depremler bu çalışmada kullanılmıştır. Çalışmada aşağıda verilen bağıntı kullanılarak herbir istasyona ait manyitüd denklemeleri En Küçük Kareler Yöntemi (E.K.K.Y) kullanılarak çıkartılmıştır.

$$M = a + b \log \tau + c \Delta$$

Burada; M Depremin aletsel büyüklüğü (Süreye bağlı manyitüd).

τ Depremin sismogram üzerindeki kayıt süresi (saniye)

Δ Depremin dış merkez uzaklığı (km),

a, b, c ise istasyona ait regresyon katsayılarıdır.

Her istasyona ait a, b, c katsayıları ve manyitüd denklemeleri hesaplanmış, ayrıca bu değerlerin standart hataları, standart sapma ve korelasyon katsayıları da hesaplanarak tablolardaki halinde verilmiştir. Böylece Anadolu'da olan tüm depremlerin büyüklüklerinin verilmesine olanak sağlanmıştır.

Doğu Anadolu'da KRDAE tarafından deprem istasyonlarının kurulmasıyla birlikte, Batı ve Doğu Anadolu arasındaki istasyonlar arasında 1000 km.'yi geçen uzaklıklar oluşmuştur. Bu sebepten dolayı, c katsayısının değeri de önem kazanmıştır. c katsayıyı yapılan çalışmada genelde kullanılan istasyonlar için oldukça küçük çıkışmasına rağmen özellikle episantır mesafesinin büyük olduğu durumlarda M_0 , manyitüd değerini etkilediği görülmüştür. Dolayısıyle c katsayısının ihmali edilemeyeceği ortaya çıkmıştır.

SUMMARY

Duration dependent magnitude equations of 10 seismic station run by Kandilli Observatory and Earthquake Research Institute (KOERI) in Central and Eastern Anatolia were derived. In this study, from data 1 permanent and 9 on-line stations data were used. As a reference magnitudes, the M_b magnitudes determined from the other stations of KOERI were used.

Especially, the earthquakes recorded by KOERI Seismic Network during 1995-1996 were used to estimate the duration dependent coefficients.

The coefficients were determined using least-square fitting to the following equation.

$$M = a + b \log \tau + c \Delta$$

Where; M is the duration-dependent magnitude

τ is Duration of an earthquake (sec)

Δ is Epicentral distance (km)

a, b, c are regression constants for the stations.

The a, b, c duration-dependent coefficients together with their standard error, standard deviation and correlation coefficients were determined and are given in a table. Thus, now it is possible to give magnitude for all the events occurring in Anatolia.

After installing stations in Eastern Anatolia the distance between the stations located in Western and Eastern Anatolia increased to more than a 1000 km. This suggests that, although the c coefficients derived in this study are extremely small it will play an important role in estimating the M_b magnitudes from stations having large epicentral distances.

GİRİŞ

Kandilli Rasathanesi ve Deprem Araştırma Enstitüsü (KRDAE) 1971 yılından itibaren ülkemizde ve yakın çevremizde olan depremleri kaydedebilmek, bunların etkili olduğu alanları belirliyebilmek için kurduğu deprem istasyonları ağı ile depremlerin parametrelerini (depremin oluş zamanı, büyütüğü, dış merkez koordinatları, derinliği) hesaplamaktadır. Bu amaç ile 1972 yılından 1994 yılına kadar Batı Anadolu'da kurulmuş olan yerleşik düzendeği (permanent) istasyonlar ve Marmara bölgesinde kurulu radyo bağlantılı (MARNET telemetrik) ağa ilave olarak, özellikle 1994-1996 yılları arasında Orta ve Doğu Anadolu'da ON-LINE deprem istasyon ağı ile bölgedeki depremleri kaydetmeye başlamıştır (Tablo 1). Bu sayede yıllardır bu bölgelerin takip edilemeyen depremselliği sürekli olarak (real-time) izlemeye başlanmıştır. Bu dönemde toplam 9 adet on-line istasyon faaliyete geçirilmiştir.

TABLO 1. Çalışmada denklemleri çıkartılan deprem istasyonları

İSTASYON ADI	İSTASYON KODU	KOORDİNAT ENLEM K°	BOYLAM D°	YÜKSEKLİK (m)	ALET TİPİ
KAVAK	KVT	41.08	36.05	649	Permanent
YERKESİK	YER	37.13	28.23	729	On-line
MALATYA	MYA	38.35	38.32	1050	On-line
VAN	VAN	38.44	43.39	1750	On-line
İŞIKLI	IKL	36.24	33.68	120	On-line
HATAY	HTY	36.12	36.11	84	On-line
ERZİNCAN	ERZ	39.74	39.82	1500	On-line
TOKAT	TOK	40.32	36.54	620	On-line
MUDURNU	MUD	40.46	31.21	860	On-line
BOYABAT	BOY	41.47	34.77	200	On-line

Bilindiği gibi deprem sonucu açığa çıkan sismik enerjiyi doğrudan ölçme imkani olmadığından, depremin büyüklüğü manyitüd ile tanımlanabilmektedir. Ülkemizin depremselliginin belirlenmesinde en önemli parametrelerden biri de manyitüd değerlerinin belirlenmesidir. KRDAE deprem ağına ait tüm analog sismograf sistemlerinde kayıt hızının 60 mm/dakika oluşu genelde peryot okumalarına olanak sağlamamaktır, dolayısıyle gentik ve peryoda bağlı manyitüd tayinlerinden kaçınılmaktadır.

Aletsel büyülügün tayini için deprem kayıt üzerindeki devam sürelerinin kullanılmış son yıllarda yapılan çalışmalarla fazlaşıyla kullanılmaya başlanmıştır. Özellikle son yıllarda mikro-depremleri kaydetmek için yerel deprem ağları kurulmaya başlanmıştır. Bu ağlarda kaydedilen mikro-depremlerin manyitüdü, sinyalin genliğinden bağımsız olarak, sinyalin devam süresi (duration) ölçülerek yapılmaktadır. Sinyal süresinden yararlanarak manyitüd tayini ilk kez Bisztriesany (1958) tarafından verilmiştir. Bisztricsany bazı Avrupa istasyonları için süre-manyitüd formülü geliştirmiştir. Solov'ev (1965) Shalin adasındaki depremselligin incelemesi esnasında yakın depremler için manyitüd tayininde toplam sinyal süresini kullanmıştır. Sinyalin devam süresinden yararlanarak manyitüd tayini, Tsumura (1967), Lee ve dig. (1972), Real ve Teng (1973), Herrman (1980) gibi birçok araştırmacı tarafından da kullanılmıştır.

Ülkemizde de bu konuda Kandilli Rasathanesi'nde Ücer ve dig. (1977), Alsan (1978), Ücer ve dig. (1980), Sevimay (1983), Sevimay ve Güngör (1987), Ayhan (1988), Öğütçü (1988), Kalafat (1989), Ayhan ve Kalafat (1989) depremlere bu yolla manyitüd veren araştırmalar yapmışlardır.

Deprem sonucu oluşan sismik dalgaların kayıt üzerindeki devam süresi kullanılarak yapılan manyitüd tayinleri, yüksek kazançlı ve düşey bileşenli elektromanyetik sismograflardan elde edilen sismogramlardan gerçekleştirilmekte ve birçok mikro deprem araştırmalarında kullanılmaktadır. Özellikle Rasathaneye Sismolojisinde manyitüd belli olmayan depremlere manyitüd verilmesi, bölgenin sismik etkinliğinin araştırılmasında ve deprem kataloglarının oluşturulmasında önemi büyktür.

VERİ ve YÖNTEM

Kullanılan veri seti KRDAE deprem ağı tarafından kaydedilen depremlerin sismogramlarından okunarak elde edilmiştir. Her istasyon için sismogramlardan o istasyonun aldığı depremin süresi, istasyonun depremin merkezine olan uzaklığını ve kullanılan referans manyitüd değerleri liste halinde oluşturulmuş ve E.K.K.Y uygulanarak kaysayılar hesaplamıştır. Referans manyitüd olarak daha önce KRDAE tarafından kurulmuş veri birikimi olan istasyonlar ve bu istasyonlardan elde edilen manyitüdler (M_o) kullanılmıştır. Deprem şebekelerinde, depremin büyüklüğünü ifade eden deprem manyitüdlerinin tayini önemli uğraşlardan biri olmaktadır.

Manyitüd tayini;

$$M = a + b \log \tau + c \Delta \quad (1)$$

bağıntısından yararlanarak yapılmaktadır.

Burada; M Depremin aletsel büyüklüğü (Manyitüd),

τ Depremin sn. olarak kayıt süresi

Δ depremin km. olarak dış merkez uzaklığı

a, b, c ise katsayılardır.

Aletsel teknolojinin hızlı bir şekilde gelişmesi, mikro ve ultra-mikro depremlerin kaydedilme olanaklarını sağlamıştır. Bu bakımından deprem istasyonuna belirli bir uzaklığın ötesinde oluşan çok küçük manyitüdü depremleri standart sismografla (max. büyütmesi 2800) kaydetme olağanı mevcut olamamaktadır. Özellikle mikro depremlerin kaydedilmesi amacıyla düzenlenen aletler ile çoğu kez yerin partikül hızına dayanan ve manyitüd hesabında gerekli olan maximum genlik ve çok yüksek frekanstaki sismik dalganın peryodunu okumak mümkün olamamaktadır. Bunun yanında, deprem istasyonuna yakın depremlerin ve büyük manyitüdü depremlerin kaydedilmesinde genliği traşlama devresinin

(creeper) var olması nedeniyle, maximum genliği görmek çoğunlukla olak dışı olmaktadır. Tüm bu sakincalar göz önünde tutularak depremin kayıt üzerindeki devam süresinin kullanılmasıyle depremlere manyitüd verebilme olağlığı sağlanmıştır. Böylece, her deprem istasyonu için manyitüd denklemleri hesaplanarak, o deprem için birden fazla istasyon tarafından elde edilen manyitüdlerin ortalaması ile daha güvenilir manyitüd verilebilmiştir.

Manyitüd tayinlerinde yer hareketinin genliğine ve peryoduna dayanan Manyitüd-Genlik denkleminin şekli muhafaza edilmiştir. τ sinyal süresi, genlik ve peryoda bağlı olduğundan, manyitüd denklemindeki Genlik/Peryot yerine τ getirilebilir. Ayrıca yapılan çalışmalar, sinyal süresinin episandr uzaklığına sıkı bir şekilde bağlı olmadığını göstermiştir. Nitekin Aki (1969), koda dalgalarının spektrumlarının depremin başlangıç anından itibaren olan zamanın bir fonksiyonu olduğunu, episandr uzaklığına fazla bir bağımlılık göstermediğini ileri sürmüştür. a, b, c değerleri her istasyonun bulunduğu bölgeye jeolojik yapısı, okak derinliği ve aletsel özelliğine bağlı olarak farklılık göstermektedir. a katsayı istasyona ilişkili bir katsayı, b katsayı azalmış (attenuation) ile bir katsayı ve c ise mesafeye bağlı bir katsayıdır. Bugüne kadar yapılan çalışmaların genelde süreye dayalı manyitüd denklemelerinde üçüncü terimin katsayı çok küçük olarak elde edilmiştir.

Süreye bağlı manyitüd tayini yapabilmek için, sismogram üzerindeki deprem kayıt süresinin iyi okunabilmesi gerekmektedir. Deprem kayıt süresi, ilk P varişinden itibaran deprem dalgalarının genliğinin ortalama olarak 2 mm.'ye kadar azalmasına dek geçen zaman olup, saniye cinsinden verilir. Süre okumaları sismogramlarda deprem dalgalarının gentiklerinin net ve gürültüsüz olarak görülmesi halinde tercih edilmelidir. Araştırılan bağıntılar için katsayıların hesaplanması En Küçük Kareler Yöntemi uygulanmıştır.

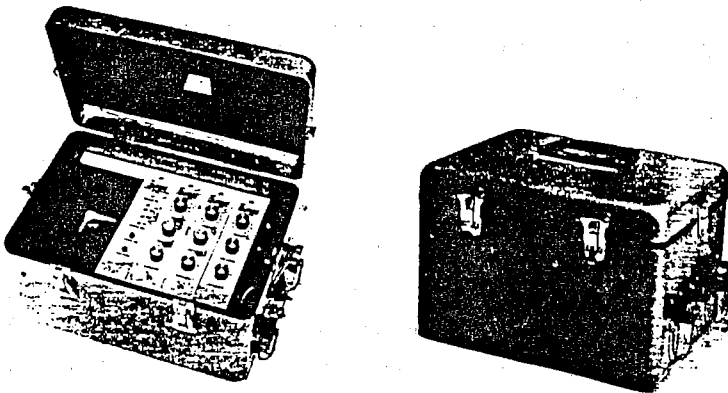
On-line istasyonlarda kullanılan sismik sistem, Teledyne Brown Engineering Geotech firması tarafından imal edilen taşınabilir sismik sistemler olup kısaca aşağıdaki ana parçalardan oluşur:

1. Field Case (Model 49.50)
2. Seismic Amplifier (Model 42.50)
3. VCO Voltage Controlled Oscillatör (Model 46.22)
4. Pulse Calibrator (Model PC-100)
5. Seismometer (Model SS-1, L4-C)

Taşınabilir sismik sistemin kısaca çalışma prensibi ise şöyledir:

± 12 V. besleme ile çalışmaktadır. Kullanılan sismometreler kısa peryolu, düşey bileşen ve öz peryodu 1.0 sn'dır. Sismometre ve Field Case ortalama 1-1.5 m. derinliğinde açılmış bir çukur içinde ana kaya üzerine oturtularak üzeri kapatılmıştır. Deprem sonucu sismometreden elde edilen analog sinyal, amplifer vasıtasiyle yükseltilip 2 telli, üzerinde

voltaj olmayan telefon hatlarına girmektedir. Bu telefon hattından gelen sinyal İstanbul'daki veri toplama ve değerlendirme merkezinde kayıtçilar üzerine kaydedilmektedir. Bu sistemin en büyük avantajı değişik hassasiyetlerde kayıt alınabilmektedir. Amplifier kartında Gain Range anahtarı 60-120 dB arasında kayıt alabilmektedir. Cut off frekans kontrollü filtre mevcuttur. Low Cut (0.2-10.0 Hz) arası, High Cut (5-100 Hz) arası filtre seçenekleri ile amaçlanan biçimde sismik sinyal alınmasını sağlanmaktadır. 3 bileşen sismometre bağlanabilme olanlığı mevcuttur. Kurulması çok pratiktir. Sistemin -20°C ile 60 °C arasında çalışma imkanı mevcuttur. Taşınabilir sismik sistem (Field Case) neme, aşınmaya ve uç meteorolojik şartlara mukavemet edecek şekilde cam elyafından yapılmış kutu şeklinde dizayn edilmiştir (Şekil 1).



Şekil 1: Taşınabilir sismik sistemin iç ve dış görünümü

SONUÇLAR

Toplam olarak 10 adet deprem istasyonunun süreye bağlı manyitüd denklemleri çıkarılmıştır. E.K.K.Y ile a, b, c katsayıları hesaplanmış ayrıca bu katsayıların standart hataları, standart sapma ve korelasyon katsayıları herbir istasyon için bulunmuştur (Tablo 2). Episantr mesafesine bağlı c katsayı, denklemi çıkartılan 10 istasyonda da genelde çok küçük değerlere sahip olmasıyla birlikte, KRDAE Deprem Ağının Anadolu'da oldukça yaygın bir alanda olması ve deprem episantır masafelerinin zaman zaman yaklaşık 1000 km.'ye kadar olması, depremlerin manyitüd değerlerinin hesaplanmasında bu katsayıının ihmal edilemeyeceği ortaya koymuştur.

TABLO 2. Çalışmada kullanılan istasyonlara ait bilgiler

İSTASYON KODU	KULLANILAN VERİ SAYISI	STANDART HATA	STANDART SAPMA	KORELASYON KAYSAYISI
KVT	55	0.15	0.36	0.90
YER	436	0.14	0.45	0.95
MYA	54	0.17	0.40	0.91
VAN	45	0.03	0.41	0.99
IKL	86	0.06	0.17	0.93
HTY	76	0.15	0.34	0.90
ERZ	42	0.22	0.51	0.90
TOK	58	0.16	0.35	0.89
MUD	39	0.15	0.57	0.96
BOY	40	0.03	0.39	0.99

(1)'nolu bağıntının katsayılarının hesaplanabilmesi için sismogramlardan yapılan süre okumalarında; deprem istasyonunun zemin şartlarının değişmemesine, aletin maksimum büyütmesinin ve gain ayarlarının sabit kalmasına, Sinyal/Gürültü oranı dikkate alınarak belli bir genlik değerine kadar süre okumasının yapılması özen gösterilmiştir.

Tablo 2'den de görüldüğü gibi istasyonların çoğulluğu 1995 ve 1996 yıllarında kurulmuş olması bazı istasyonların veri birikiminin fazla olmamasına neden teşkil etmiştir. Her deprem istasyonunun süreye bağlı manyitüd denklemi çıkarılmış, özellikle Orta ve Doğu Anadolu'da olan depremlere manyitüd verilebilmek adına sağlanmıştır. İstasyonun bulunduğu yerdeki jeolojik formasyon ve koda dalgalarının böyle bir formasyondaki saçılma özelliği, ayrıca istasyon ve deprem kaynağı arasındaki uzaklık ve frekansa bağlı azalımlar sonucu, herbir istasyon için manyitüd denkleminin çıkarılmasının gerekliliğini ortaya koymuştur.

Manyitüd değerlerinin bilinmesi ile daha sağlıklı ve kullanabilir veri grubuna ulaşmak mümkün olmaktadır. Böylece depremselligin takibi ve kataloglama çalışmalarında manyitüd değerlerinin bilinmesinin katkısı büyüktür. Manyitüd denklemi hesaplanan 10 adet deprem istasyonunun Anadolu'nun depremselliginin izlenmesinde önemli rolü olmaktadır. Ülkemizde insanlar tarafından hissedilen depremlerin anında yerinin ve büyüklüğünün belirlenmesinde On-line deprem istasyonlarının ve bu istasyonların manyitüd denklemelerinin önemli rolü vardır (Tablo 3, 4).

TABLO 3. Çalışmada bulunan katsayırlara ait bilgiler

İSTASYON KODU	HESAPLANAN KATSAYILAR ve STANDART HATALARI							
	a	$\pm sda$	b	$\pm sdb$	c	$\pm sdc$		
KVT	-0.582	0.78	1.988	0.31	0.00070	0.0003		
YER	0.443	0.20	1.380	0.11	0.00177	0.0002		
MYA	0.657	0.55	1.326	0.28	0.00134	0.0006		
VAN	0.678	0.52	1.400	0.30	0.00088	0.0007		
IKL	0.887	0.38	1.532	0.18	-0.00070	0.0002		
HTY	0.427	0.43	1.623	0.22	0.00041	0.0002		
ERZ	-0.186	0.92	1.894	0.45	0.00044	0.0005		
TOK	0.864	0.43	1.274	0.24	0.00116	0.0006		
MUD	0.052	0.51	1.617	0.31	0.00058	0.0005		
BOY	0.858	1.04	1.257	0.35	0.00128	0.0051		

TABLO 4. Çalışmada kullanılan istasyonlara ait manyitüd denklemleri

*** MANYİTÜD DENKLEMLERİ ***	
KVT	$M_D = -0.582 + 1.988 \log \tau + 0.00070 \Delta$
YER	$M_D = 0.443 + 1.380 \log \tau + 0.00177 \Delta$
MYA	$M_D = 0.657 + 1.326 \log \tau + 0.00134 \Delta$
VAN	$M_D = 0.678 + 1.400 \log \tau + 0.00088 \Delta$
IKL	$M_D = 0.887 + 1.532 \log \tau - 0.00070 \Delta$
HTY	$M_D = 0.427 + 1.623 \log \tau + 0.00041 \Delta$
ERZ	$M_D = -0.186 + 1.894 \log \tau + 0.00044 \Delta$
TOK	$M_D = 0.864 + 1.274 \log \tau + 0.00116 \Delta$
MUD	$M_D = 0.052 + 1.617 \log \tau + 0.00058 \Delta$
BOY	$M_D = 0.858 + 1.257 \log \tau + 0.00128 \Delta$

KRDAE veri toplama ve işleme merkezindeki bilgisayarlarda, deprem parametrelerinin çözümünde HYPO71 episentr programı 1990'lı yıllarda beri başarı ile kullanılmaktadır ve ülkemizde olan depremlerin manyitüdleri bu yöntemle hesaplanan katsayılar ile hesaplanmaktadır. Çözüm sonucunda verilen manyitüd değeri tüm deprem istasyonlarından elde edilen manyitüdlerin aritmetik ortalamasıdır. Dolayısıyla ortalama manyitüd değeri istasyonların zaman içerisinde elektronik bazı değişimelerinden dolayı çabuklaştırmak hataları da elemine etmemi sağlamaktadır. İstasyon-manyitüd denklemlerinin zaman içerisinde değişmesi mümkün değildir. İstasyonların büyütme değerlerinin zaman içerisinde değişmemesi ve duraylı olarak kalması gerekmektedir. Sismografların elektronik devrelerinde yapılan değişikliklerin ve kalibrasyon değerlerinin çok büyük ölçüde değişmesi o istasyon için yeniden manyitüd denklemi ve katsayılarının çıkarılması zorunluluğunu gerekli kılmaktadır. Özellikle yakında oluşan ve çok küçük manyitüdü depremlere ait verilerin bazı istasyonlarda az sayıda olması, öte yandan bazı istasyonlar için veri biriminin az olması daha duyarlı bağıntıların elde edilememesine neden olabilemektedir. Bu istasyonlarda daha fazla ve sağlıklı veri seti oluşturulduğunda manyitüd denklemlerinin yeniden çıkarılması yerinde olacaktır.

TEŞEKKÜR

Bu çalışmanın yapılmasında Enstitünün tüm imkanlarını sağlayan Müdürümüz Sayın Prof.Dr A. Mete IŞIKARA'ya, On-line deprem istasyonlarının kurulmasındaki değerli katkılarından dolayı Türkiye Deprem Şebekesi Sorumlusu Prof.Dr. Niyazi Türkelli'ye ve Sismoloji Servisi Şefi Şerafettin İnce'ye teşekkür ederiz.

KAYNAKLAR

- Aki, K. (1969). Analysis of the seismic coda of local earthquakes as scattered waves., *J. Geo. Res.*, 74, 616-631.
- Alsan, E. (1978). İstanbul Kandilli deprem istasyonu için süreye bağlı magnitüd denklemi, *DAE Bülteni*, Sayı 21, 34-42.
- Ayhan, E. (1988). Kavaklı Deprem İstasyonuna ait Süreye Dayalı Magnitüd Denklemi Kullanılarak Doğu Anadolu Depremlerinin Magnitüdlerinin Saptanması, *DAE Bülteni*, Sayı 62, 111-123.

- Ayhan, E., D. Kalafat (1989). Türkiye ve yakın çevresinde 1949-1980 yılları arasında oluşan ve manyitüdleri saptanamamış depremlerin Kayıt Süresi-Maniyitüd ilişkisi ile manyitüdlerinin tayini, *DAE Bülteni*, Sayı 65, 18-56.
- Bisztroisany, E. (1958). A new method for the determination of the magnitude of the Puget Sound Region, *Bull. Seism. Soc. Am.*, 62, 1133-1171.
- Herrman, R.B. (1980). Q Estimates using the coda of local earthquakes, *Bull. Seism. Soc. Am.*, 70, 447-468.
- Kalafat, D. (1989). İznik deprem istasyonu için yerel manyitüd denklemlerinin saptanması, *DAE Bülteni*, Sayı 65, 57-68.
- Kalafat, D. (1989). Batı Anadolu'da yer alan sismik istasyonların süreye bağlı yerel manyitüd denklemlerinin çıkartılması, *DAE Bülteni*, Sayı 65, 83-94.
- Lee, W.H.K., R.E. Benner and K.L. Meagher (1972). A method of estimating magnitude of local earthquakes from signal duration, U.S. Geological Survey, Open File Report.
- Öğütçü, Z. (1988). Kuzey Kıbrıs Türk Cumhuriyeti Lefkoşa Deprem İstasyonu Süreye bağlı Manyitüd denklemi, *DAE Bülteni*, Sayı 62, 96-110.
- Real, C.R. and T.L. Teng (1973). Local Richter magnitude and total signal duration in Southern California, *Bull. Seism. Soc. Am.*, 63, 1809-1827.
- Sevimay, K. (1983). Kandilli Rasathanesi deprem ağı için yerel manyitüd denklemlerinin saptanması, *DAE Bülteni*, Sayı 40, 65-85.
- Sevimay, K., A. Güngör (1987). Kandilli Rasathanesi Deprem ağı için Yerel Magnitüdlerin Saptanması, *DAE Bülteni*, Sayı 57, 56-67.
- Solov'ev, S.L. (1965). Seismicity of Sakhalin, *Bull. Earthq. Res. Inst., Tokyo Univ.*, 43, 95-102.
- Tsumura, K. (1967). Determination of earthquake magnitude from total duration of oscillation, *Bull. Earthq. Res. Inst.*, 15, 7-18.

Üçer, S.B., E. Ayhan, E. Başarır, N. Sancaklı, E. Alsan, L. Tezuçan (1980), 1979 yılı Batı
Türkiye Deprem Etkinliği, *DAE Bülteni*, Sayı 31, 1-72.

Üçer, S.B., E. Alsan, N. Ulusan, E. Başarır, E. Ayhan, L. Tezuçan ve C. Kaptan (1977),
Batı Türkiye Deprem Etkinliği (Eylül-Aralık 1976), *DAE Bülteni*, Sayı 19, 45-93.

14 AĞUSTOS 1996 SALHANÇAYI (ÇORUM-AMASYA) DEPREMİ The Salhançayı Earthquake of 14 August 1996, Çorum-Amasya

Ramazan Demirtaş Afet İşleri Genel Müdürlüğü, Deprem Araştırma Dairesi Başkanlığı

ÖZ: 14 Ağustos 1996 tarihinde yerel saat 04:55 ve 06:00 da, Amasya ve Çorum illeri arasında uzanan Salhançay fay üzerinde orta büyüklükte iki deprem oldu. Deprem Araştırma Dairesi (Ankara) tarafından depremlerin magnitüdleri, $M_I = 5.4$ ve 5.2 , ilk şokun odak derinliği ise 7 km , ikinci şokun odak derinliği 10 olarak belirlendi. Depremlerin sabaha karşı meydana gelmesi ve ilk depremden sonra halkın dışarıda bulunması nedeniyle yaralanan insan ve can kaybı olmadı.

Anaşokdan önce herhangi bir öncü deprem olmadı. 14.08.1996 ile 10.09.1996 tarihleri arasında magnitüdleri $1.8 \leq M_L < 4.0$ arasında değişen 790 civarında artçı deprem kaydedildi. İki ana şok arasında saat 05:27'de $M_I=4.1$ olan bir deprem oldu. Ana şokun oluşum zamanından itibaren izleyen günler içerisinde, Episantra 40 km uzaklıktaki bulunan Çatak istasyonunda kaydedilmiş artçı depremlerin S-P zaman farkları, 6 saniyeden 4.5 saniyeye doğru azalmıştır. Bu azalma kırığın doğrudan battya doğru ilerlediğine işaret etmektedir. Ana şokun odak mekanizması çözümü, D-B doğrultulu sağ-yönlü doğrultulu atılım faylanmaları verdi. Depremde, 26.08.1996 günü itibarıyle Amasya iline bağlı köylerde 460 ev ağır, 409 ev orta ve 970 ev hafif ve Çorum iline bağlı köylerde 246 ev ağır, 303 ev orta ve 706 ev hafif derecede hasar gördü.

Depremde, 35-40 km uzunluktaki sağ-yönlü doğrultulu atılım Salhançayı fay hattının Çaybaşı (Amasya)-Karasar (Çorum) köyleri arasında kalan yaklaşık 5 km'lik bir kısmı hareket etti. Deprem, yüzeyde herhangi bir yüzey faylanması meydana getirmemiştir. Bununla birlikte, bu iki köy arasında Salhançayı boyunca birçok yerde oldukça büyük kireçtaşı bloklarından oluşan kaya düşmeleri olmuştur. Depremin episentri, Çaybaşı ile Pekmezci köyleri arasında fayın sıçrama yaptığı bir bölgede yer aldı. Fayın bu bölgede sağa doğru basamak yapması, Çaybaşı köyü civarında küçük bir çek-ayır havzası gelişimine sebep olmuştur. Deprem ana kırığının yerin derinliklerinde fayın bu sıçrama yaptığı bölge ile Karasar köyü yakınındaki fayın D-B'dan GB'ya Düvenci ovasına doğru doğrultusunu değiştirdiği fay büklümü arasında geliştiği tahmin edilmektedir. Kaya düşmeleri, hasar dağılımları, S-P zaman farkları ve halktan elde edilen bilgilere göre deprem ana kırığının fay sıçrama bölgesinden fay büklüm bölgесine yani doğrudan battya doğru ilerlediği göstermektedir. Bu, deprem kırığının başlangıç ve bitiş noktaları ile hiposantır bölgesinin geometrik olarak denetlendiğini göstermektedir.

Deprem Araştırma Dairesi, Deprem Mühendisliği Şube Müdürlüğü (Ankara) tarafından işletilen ve deprem episentrinden 26 km uzaklıktaki bulunan Merzifon Meteoroloji istasyonunda kurulu kuvvetli yer hareketi kaydından, ilk deprem ($M_I=5.4$) ile ilgili olarak K-G yönde 0.022 g , D-B yönünde 0.0595 g ve düşey yönde ise 0.005 g maksimum ivme değerleri elde edildi. Kuvvetli yer hareketin süresi 7 saniye civarında tahmin edildi. Depremin en büyük şiddeti VI (MSK) olarak belirlendi.

ABSTRACT: Two moderate earthquakes, $M_I=5.4$ and 5.2 , with focal depths of 7 km and 10 km took place on the Salhançayı fault extending between Amasya and Çorum, north-central Türkiye, at 04:55 a.m. and 06:00 a.m. (local time) on 14 August 1996. Since the first shock did not cause so damage and all people were outside after this shock, nobody was killed and injured by these earthquakes. No foreshock occurred before the main shocks. More than 790 aftershocks with magnitudes ranging from 1.8 to 4.0 were recorded in the days between August 14, 1996 and October 10, 1996. S-P time differences of the aftershocks recorded in Çatak station, which is 40 km far from the epicenter, range from 6 second to 4.5 second in the following days after occurrence time of main shock. This indicates that the rupture propagated from the east to the west. One earthquake with magnitude 4.1 happened at 05:27 between two main shocks. Fault plane solutions of both main shocks have showed that the fault has a character of right lateral strike-slip faults. As of 28 August 1996, Salhançayı earthquake caused 460 heavily, 409 moderately and 970 slightly damaged houses in the villages of Amasya and 246 heavily, 303 moderately and 706 slightly damaged houses in the villages of Çorum.

The 5-10 km part of the 35-40 km Salhançayı fault, which is right lateral strike-slip fault moved in these earthquakes. This part extends between Çaybaşı (Amasya) and Karasar (Çorum) villages. No surface cracks was observed on the ground. However, the quakes caused many rock falls, which are composed of huge Jurassic-Cretaceous limestones and Eocene conglomerates blocks, along the Salhançayı river having very steep valley between Çaybaşı and Pekmezci villages. These blocks blocked and dammed the course of the river. Epicenters of these two earthquakes were located in a region between Çaybaşı and Pekmezci where the fault makes step to the right. This step

has developed a small pull-apart basin in the vicinity of Çaybaşı village. The fault changes its strike from D-B to SW near Karasar village and continues to the another pull-apart basin called Düvenci. As a result, it is estimated that the main rupture occurred in this region between the fault step and the fault bend. Distribution of rock falls and heavily damaged houses, S-P time differences and information on wave propagation from villagers have showed that the main rupture propagated from the step to the east to the fault bend to the west. Consequently this indicates that the initiation and termination points of the main rupture were controlled by geometrical features of the region.

Ground motion record of the first main shock (M_L=5.2) nearest to the epicenter, which is 26 km far from it, was obtained at Merzifon station belonging to Strong Ground Motion Network of ERD. Peak ground accelerations at Dinar Station were 0.022 g in the north-south direction, 0.0595 g in the east-west direction and 0.005 g in the vertical direction; duration of strong shaking was around 7 sec. Maximum intensity for these earthquakes has assigned as VI (MSK) on the basis of damage distributions and rock falls.

GİRİŞ

Anadolu Bloku, birbirile birleşik fay sistemi oluşturan ve sismik olarak oldukça aktif olan sağ-yönlü doğrultu atımlı Kuzey Anadolu fayı ile sol-yönlü doğrultu atımlı Doğu Anadolu fayı boyunca günümüzde halen batıya doğru kaçışı devam etmektedir. Ancak, bu kaçışın Yunan Makaslama Zonu tarafından engellenmesi, Anadolu blokun güneybatıya okyonusal kabuktan oluşan Helenik-Kıbrıs yayının üzerine doğru hareket etmesine sebebi olmuştur. Bu hareketin sağlanması sırasında Anadolu Bloku içsel olarak deformasyona uğramaya başlamış ve Kuzey Anadolu fayının büyük bir kavis yaptığı merkezi kısmında güneybatıya doğru rotasyona maruz kalmıştır. Bu hareketinin güneybatıya doğru yönlendirilmesi, blok içerisinde birtakım blokçukların çıkışması sayesinde gerçekleştirilmiştir. Bu blokçukların kenarları doğrultu atımlı faylar ile sınırlandırılmıştır. Bu faylara örnek olarak, Niksar'dan ayrılarak Amasya ve Çorum yakınından geçip Kırıkkale'ye kadar uzanan Ezinepazarı fayı, bu fayın hemen doğusunda yer alan Almus fayı ve 14 Ağustos 1996 depreminin olduğu ve ilk defa bu çalışmada adlandırılan Salhançayı fayı gibi faylar verilebilir (Şekil 1).

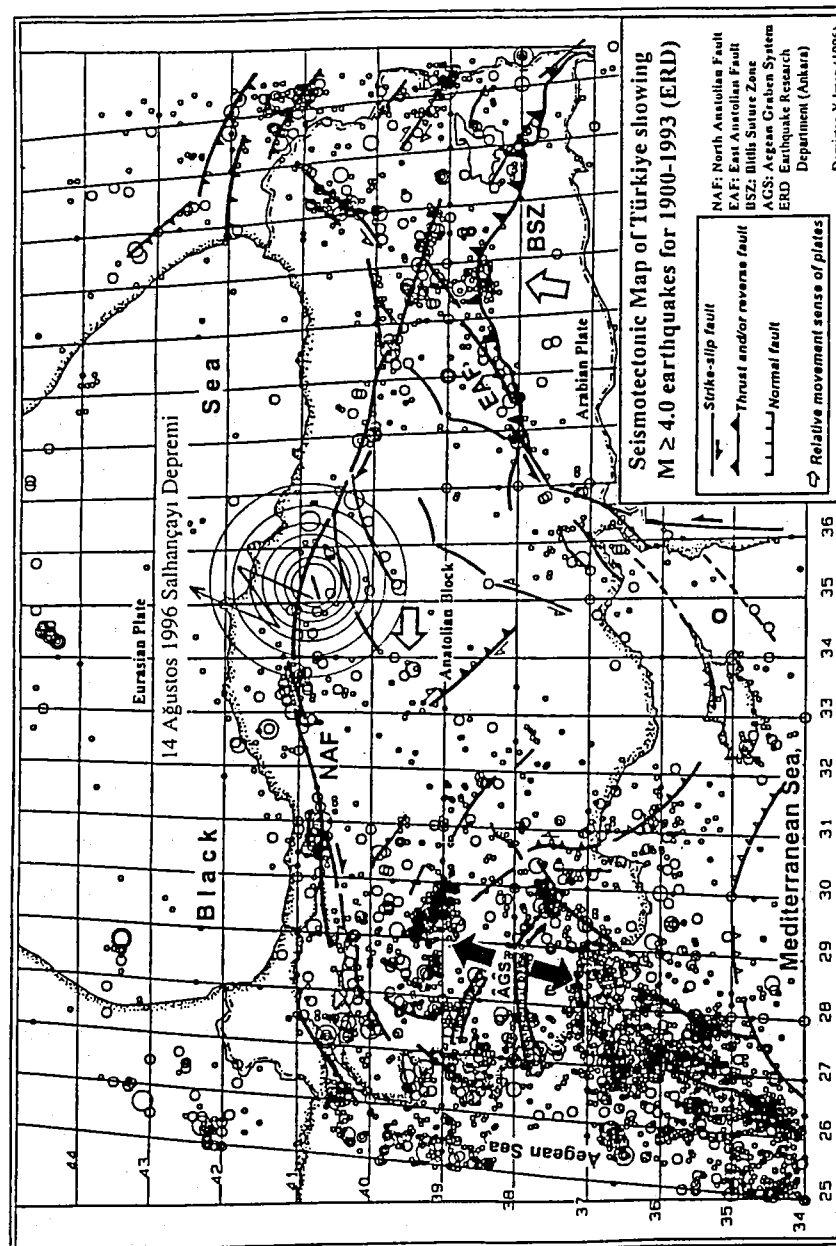
Kuzeyde Kuzey Anadolu fayı, doğuda Doğu Anadolu fayı, güneyde Helenik-Kıbrıs hayatı, ve batıda Ege Graben Sistemi tarafından sınırlandırılan Orta Anadolu Ovası bölgesi KD-GB ve KB-GD doğrultulu oldukça uzun doğrultu atımlı faylar bulunmasına rağmen, tarihsel deprem kayıtlarına göre bu aktif faylar üzerinde son 200-300 yıldan beri herhangi bir büyük deprem meydana gelmemiştir (Demirtaş ve Yılmaz 1996). Bu faylar, sismik boşluklar olarak gösterilmemiş, ancak bu fayların oldukça yüksek deprem potansiyellerine sahip oldukları belirtilmiştir (Demirtaş ve Yılmaz 1996). 14 Ağustos 1996 ve 15 Şubat 1992 Amasya depremleri, Çorum ve Amasya yakınılarından geçen yukarıda bahsedilen fayların günümüzde oldukça fazla aktivite kazanacaklarını göstermektedir.

14 Ağustos 1996 depremi, 1 Ekim 1995 Dinar depreminden (Demirtaş vd. 1996b) olduğu gibi Türkiye Diri Fay Haritasında (Şaroğlu vd. 1991) gösterilmeyen oldukça uzun bir fay üzerinde meydana gelmesi, haritada olmayan daha birçok fayın varlığına işaret etmektedir (Şekil 1). Bu yüzden Türkiye'de var olan tüm fayların haritalanmalı, bu fayların yaşları, atımları ve hangi birimleri kestikleri gibi tüm özelliklerin tanımlanmalı ve bu fayların diri olup olmadıklarına ait tüm kriterlerin belirlenmelidir. Böylelikle depremlerin önceden tahmin edilmesi ile ilgili daha gerçekçi çalışmalar yapılabilir.

Bu çalışmada 14 Ağustos 1996 depremlerine sebep olan fay araştırılmış, artçı depremler incelenmiş ve fay mekanizması ortaya konmaya çalışılmıştır. Deprem kırığının başlangıç ve bitiş noktaları ve episentr yeri, fayın arazideki özellikleri, artçı depremlerin dağılımları ve hasar görmüş köylerin durumları incelenerek, fayın gelecekteki davranışını ile ilgili uzun-süreli deprem tahmini yapılması amaçlanmıştır.

SALHANÇAYI FAYI

Merzifon ovasının güneyini sınırlayan 25-30 km uzunlukta bir fay geçmektedir. Fay, dağ eteklerinde bulunan Pliyosen yaşılı birimler ile ova içerisinde depolanmış Kuvaterner



Şekil 1. Türkiye'nin sismotektonik haritası ($M_s \geq 4.0$ ve 1900-1993) ve 14 Ağustos 1996 Salhancay depremi (Çorum-Amasya). Değerlerin büyüklerini deprem magniteleri ile orantılı olarak gösterilmiştir. NAF: Kuzey Anadolu Fay, EAF: Doğu Anadolu Fay, AGS: Ege Graben Sistemi, BSZ: Bitlis-Bindirme Kırışı, ERD: Deprem Araştırma Dairesi, Strike-slip fault: Doğru/aşın fay, Thrust and/or reverse fault: İndirimme ve/yapı ters fay, Normal fault: Normal fay, Relative movement sense of plates: Plakaların göreli hareket yönleri.

yaşlı genç tortullar arasında uzanmaktadır. Fay, bu bölümde fay bankları (fault bench) oluşturmaktadır. Fay, bu bölümde D-B doğrultuludur (Şekil 2).

Bu fay, Sarıbüğday yakınında fay iki kola ayrılmaktadır. Kuzeydeki kol, Kireymir ve Karacakaya köylerinin içerisinde geçmektedir. Karacakaya köyünün hemen doğusunda fay izini takip etmek zorlaşmaktadır. Karacakaya köyü içerisinde fay breşleri açık bir şekilde görülmektedir. Kuzeydeki kol, KB-GD doğrultuya sahiptir (Şekil 2).

Güneydeki kol, hemen hemen tüm uzunluğu boyunca Salhançayı deresini izlediği için ve 14 Ağustos 1996 depremlerinde bu fayın küçük bir bölümü oynadığı için, bu çalışmada Salhançayı fayı olarak adlandırıldı. Güneydeki kol, Saraycık yakınından geçerek, Kamişlı köyünü izlemektedir ve oradan Çaybaşı köyüne kadar devam etmektedir. Bu bölüm içerisinde fay, Pliyosen yaşlı genç birimler içerisinde uzanmaktadır. Çaybaşı köyü içerisinde Pliyosen yaşlı killi ve siltli birimler içerisinde fayın diri olduğuna ait izler açık bir şekilde gözlenmektedir. Bu bölümde tabakalar, kıvrımlanmış ve faylanmış durumdadır. Bu izler, yüzeye kadar devam etmektedir. Bu kısmda fay, KD-GB doğrultuludur. Çaybaşı köyü civarında fay, sola doğru bir sıçrama yaparak sağa bir basamak yaparak küçük bir çek-ayır havza gelişimine neden olmuştur (Şekil 3). Bu havza içerisinde, kayma vektörünün çekme etkisi sonucu, heyalanların oluşumuna neden olmuştur. Bu çek-ayır havzanın kuzyeyinde normal bileşenli 3 km uzunluktaki bir faylanma uyuðu görüntülerinde bariz olarak görülmektedir. Bu havza içerisinde yukarıdaki fay bölümü boyunca faya paralel olarak akan Salhançayı deresi aniden yön değişterek KB'ya doğru 2 km devam eder. Pekmezci köyü yakınında fay D-BGB doğrultusunda Büyükcay köyüne doğru uzanır. Karasar köyünün 4 km kuzyeyine kadar bu doğrultuda devam eder. Bu hat boyunca fay, derin ve dik bir vadide izler ve Jura-Kretase yaşlı kireçtaşları ile Eosen yaşlı volkanik malzeme kökenli fliş türü birimlerin dokanlığını keser. Fay, Karasar Köyü yakınında 45 dereceden daha büyük bir açılı büklüm yaparak GB'ya Dövenciler ovasına doğru uzanır. Yine bu hat boyunca Salhançayı deresi faya uyumlu olarak akar. Fay, bu bölümde Dövenciler ovasının doğu kenarını izler ve Kuşsaray köyüne kadar devam eder. Bu köy civarında fayın bu segmenti sona erer ve Değirmendere köyünden başlayacak şekilde sola doğru bir sıçrama yapar. Fayın batıdaki segmenti Değirmendere, Güney ve Rizvanlar köyü arasında topografyadaki çizgiselliği ile tanımlanmaktadır. Bu kol, Çorum merkezden 10 km uzaklıkta bulunmaktadır. Fayın bu bölümde sağa doğru bir basamak yapması sonucu Dövenciler çek-ayır havzası gelişmiştir (Şekil 3). Fay, bu havza boyunca Eosen yaşlı birim ile Kuvaterner yaşlı havza tortulları arasında uzanmaktadır.

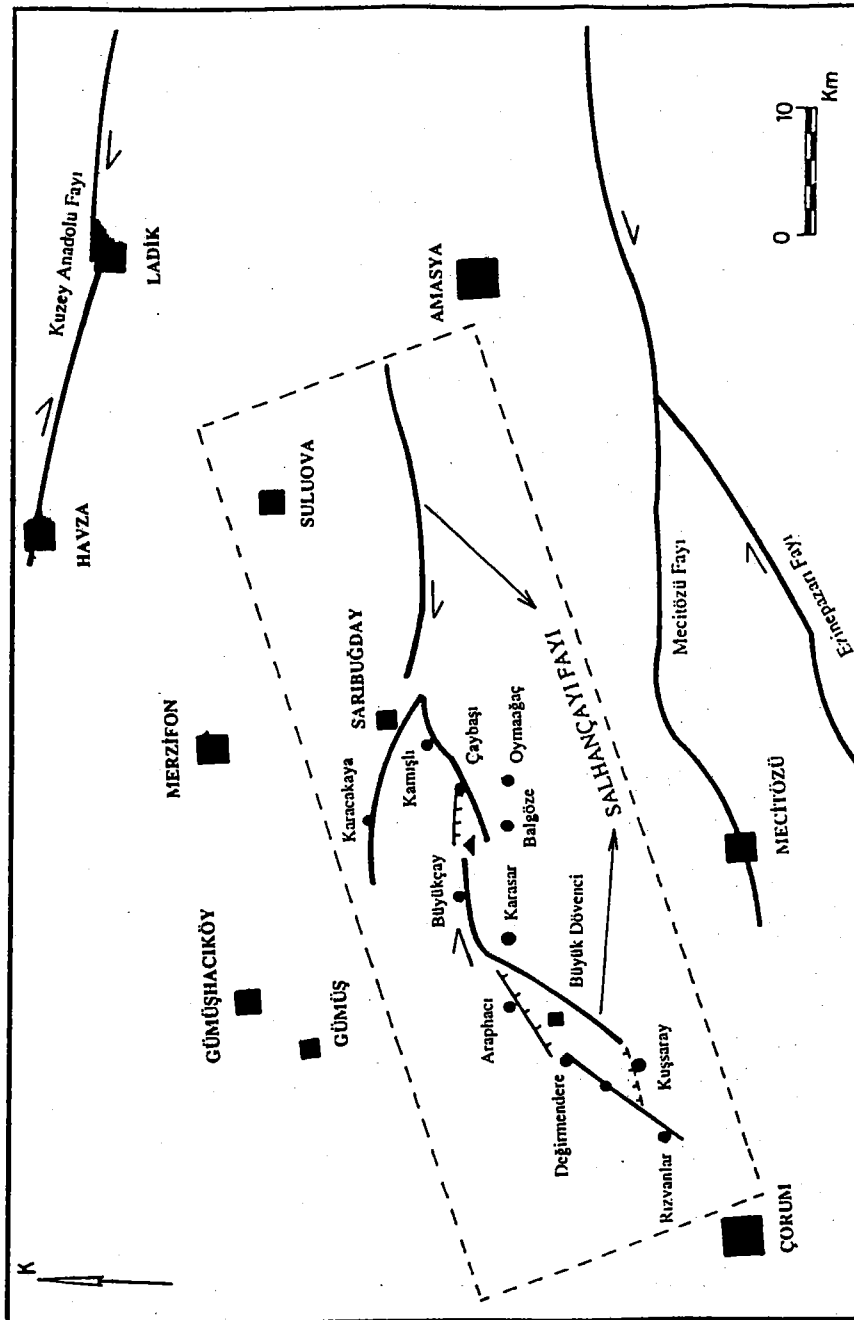
Salhançayı fayın yaşı ve atımı hakkında yaşı ve atımı konusunda detaylı bir arazi çalışması gerekmektedir. Ancak, fay Pliyosen yaşlı birimleri kesdiği için Pliyosen'den daha genç olduğu söylenebilir. Fay boyunca gözlenen iki çek-ayır havza, fayın sağ yönlü doğrultu ataklı fay olduğunu göstermektedir.

ÇORUM ve AMASYA ÇEVRESİNİN DEPREMSELLİĞİ

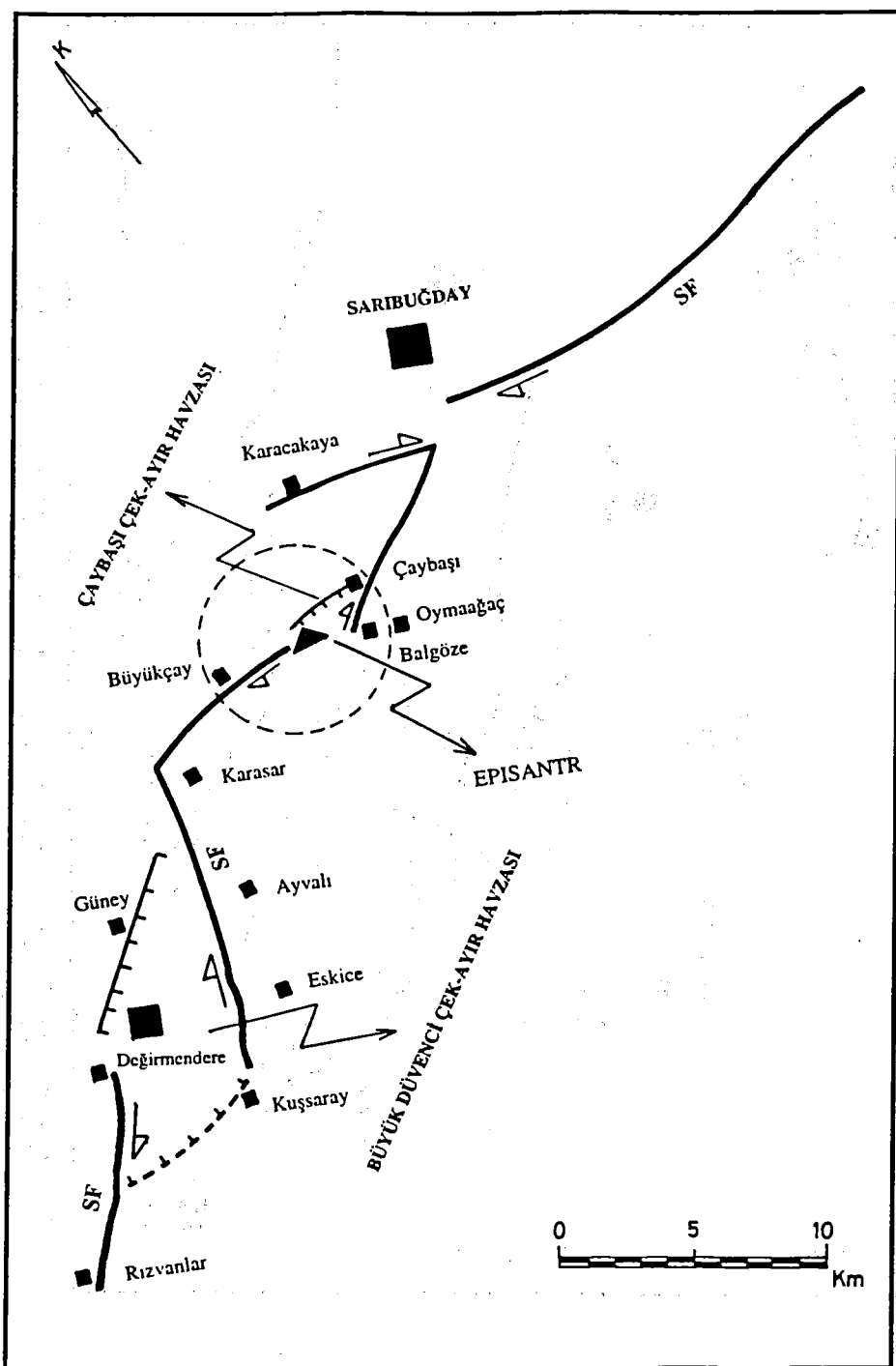
MS 109 yılından MS 1900 yılına kadar olan zaman içerisinde Çorum ve Amasya illeri civarında şiddetleri V ile IX arasında değişen toplam 17 deprem olmuştur (Şekil 4). Genellikle bu depremlerin makroismisk koordinatları 40:65 K ve 35:85 D olarak verilmiştir.

Çorum ve Amasya illerine içine alan 40:00-41:00 K ile 34:50-37:30 D koordinatları içerisinde yer alan bölgede 1900-1996 yılları arasında magnitüdleri $Ms \geq 4.0$ olan 34 deprem kaydedilmiştir (Şekil 5). Bu depremlerden bir kısmı Amasya'nın hemen güneyinden geçen Ezinepazarı fayı üzerinde yoğunlaşmıştır. Diğer bir kısmı ise Amasya ve Çorum'u etkilemiş, Kuzey Anadolu fayının Niksar-Ladik-Havza-Avlağı arasında kalan bölümünde olmuş depremlerdir. Son yüzyıl içerisinde Salhançayı fayı üzerinde olmuş herhangi bir büyük deprem gözlelmemektedir.

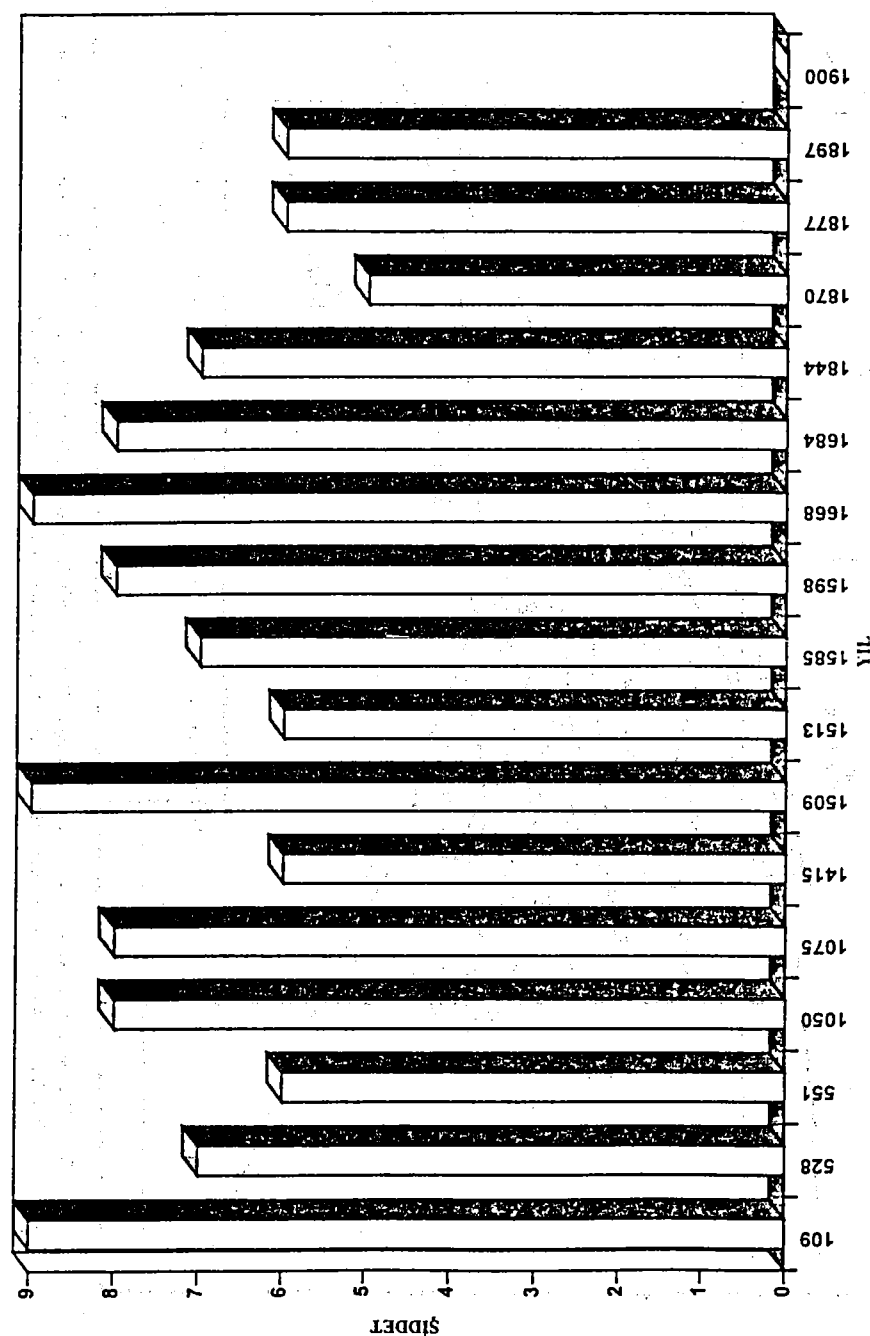
Çorum ve Amasya illeri bu yüzyıl içerisinde, 25.06.1910 Osmancık ($Ms=6.1$), 26.12.1939 Erzincan ($Ms=7.9$), 11.12.1942 Osmancık ($Ms=5.9$), ve 26.11.1943 Ladik-Tosya ($Ms=7.3$) depremlerinden oldukça şiddetli bir şekilde etkilenmiştir. Bu bölgede en son olarak Mecitözü'nden geçen fay hattının daha kuzeydoğusunda Amasya yakınılarında 12 Şubat 1992'de olan Richter ölçüğine göre 5.0 büyüklüğündeki bir deprem olmuştur. Bu



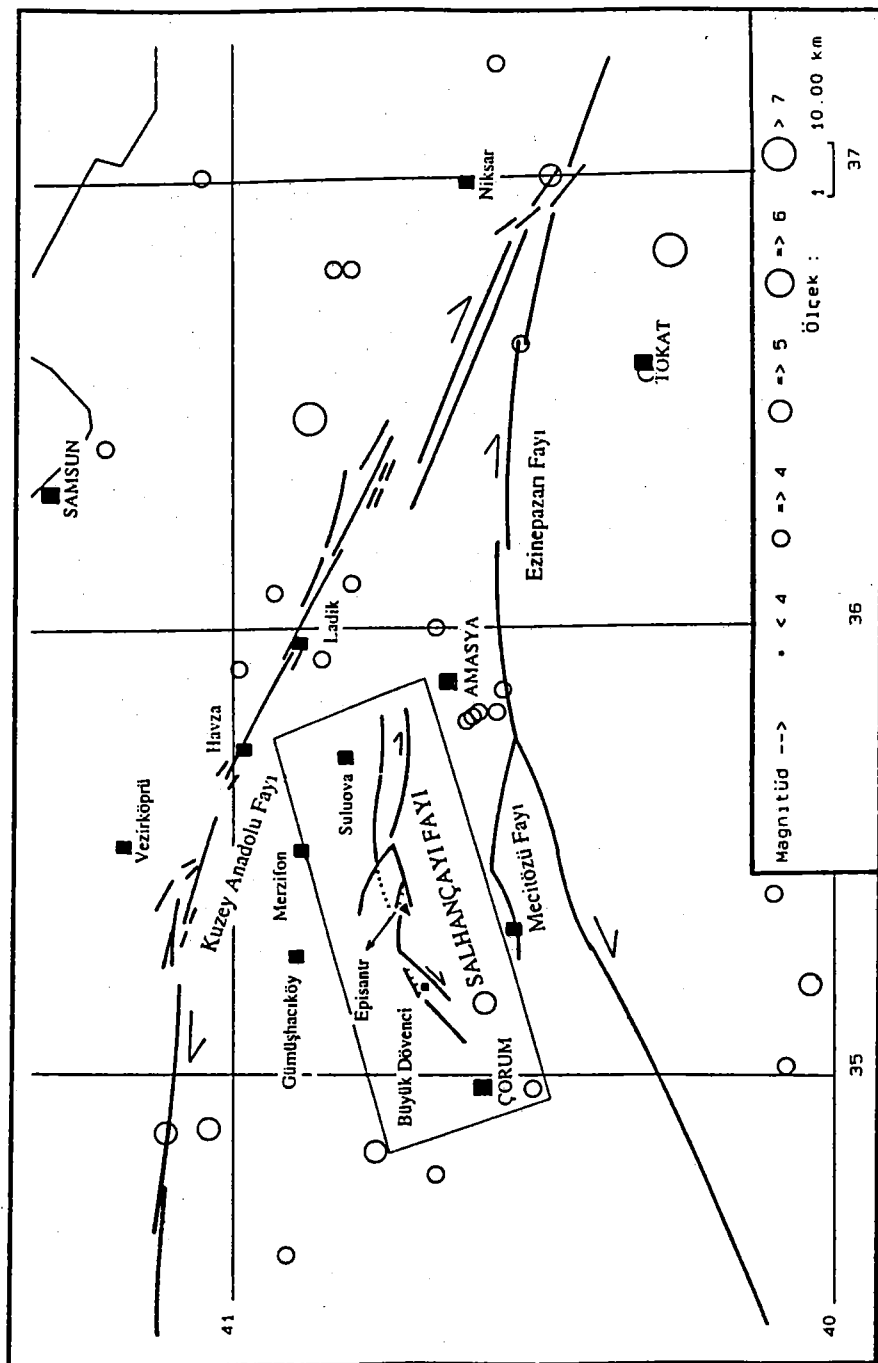
Şekil 2. Amasya-Çorum arası uzanma dırı Salhancay fayı ve Emeşpatlı fayı ile güneyinde Mecitözü fayı ve Emeşpatlı fayı yer almaktadır. Oktu kademî tıgriler doğrudan tamam fayılar ve ince şeritli hattar doğrultu anum bileşenlerini göstermektedir. Siyah üfgen 14 Ağustos 1996 depreminin düşmelerini betirmektedir.



Şekil 3. Doğrultu-atılımlı fay segmentlerinin sağa ve sola basamak yapması sonucu Salhançayı Fayı üzerinde gelişen tektonik yapılar. Dairesel alan depremin odaklandığı bölümü göstermektedir. Siyah üçgen 14 Ağustos 1996 depreminin dışmerkezini belirtmektedir.



Sekil 4. MS 109 ile MS 1900 yılları arasında Çorum ve Amasya illeri civarında oluşmuş tarihsel depremlerin şiddet-zaman dağılımı.



depremlerden sonra bu kırık hatlarının deprem bakımından şu yıllarda çok etkin olduğunu göstermektedir.

SİSMİK ŞİDDET VE EN BÜYÜK İVME DEĞERLERİ

14 Ağustos 1996 günü oluşan Salhançayı depremlerin ana şoklarının magnitüdleri, 5.4, 4.1 ve 5.2, odak derinlikleri 7-10 km, arazide sayın geometrik özellikleri ve depremin etkileri göz önüne alınarak episantrların aletsel koordinatları, 40.70K-35.47D olarak belirlendi. Salhançayı depremi, Çorum iline bağlı Karasar, Büyük Dövenci, Konaklı, Ayvalı, Tanrıvermiş, Çitli, İslaklı, Gökcobel ve Pınarbaşı köylerinde ve Amasya ili Merzifon ve Gümüşhacıköy ilçelerine bağlı, Balgöze, Oymaağaç, Büyükcay, Küçükçay, Mahmutlu, Pekmezci, Akpınar, Güllüce, ve Gümüş nahhiyesinde ağır derecede hasarlar yapmıştır. Tablo 1 ve 2, depremdeki hasarların yerleşim yerlerine göre dağılımlarını göstermektedir. Bu tablolar, ağır (yıkık) hasar durumu göz önüne alınarak yapılmıştır. Tablonun en üst kısmında depremde en fazla yıkık bina sayısı ve en alt kısmında ise en az yıkık bina sayısı bulunan yerleşim yerleri bulunmaktadır. Bu dizilim eş-sismik harita ile iyi bir şekilde uyumluluk göstermektedir (Şekil 6). Bu tabloda açıkça görüldüğü gibi, depremde, Amasya iline bağlı köylerde 601 ev ağır, 551 ev orta ve 599 ev hafif ve Çorum iline bağlı köylerde 406 ev ağır, 460 ev orta ve 329 ev hafif derecede hasar gördü.

Depremde hasar görmüş köylerdeki yapıların çoğunun çamur harçlı moloz taşı duvarlı ve kerpiç duvarlı yapılar olmasına rağmen, jeolojik faktörler ve topografik yapı, deprem hasarlarının daha az meydana gelmesinde oldukça büyük rol oynamışlardır. Hasar gören Oymaağaç, Balgöze, Mahmutlu, Karasar, Ayvalı, Pekmezci ve Büyükcay gibi köylerin çoğu, Jura-Kretase yaşı kireçtaşları ve ofiyolitik kayalar ile Eosen yaşı Kumtaşı, silttaşı, marn ve çakıltaşı ardalanmasından oluşan fliş türü birimlerden oluşan oldukça sert zeminler ve tepeler üzerinde bulunmaktadır. Bununla birlikte, Neojen yaşı gevşek kumtaşları, silttaşları, çakıltaşları ve karbonatlı seviyeler ile Kuvaterner yaşı alüвиyon ve yamaç molozları üzerinde bulunan deprem episantrinden uzakta bulunan köylerde, zeminden dolayı hasarda artırıcı rol oynamışlardır. Özellikle Merzifona bağlı köylerde ve Gümüşhacıköy ve Gümüş'de hasar gören yapıların çoğunda zeminin etkisi oldukça açık bir şekilde görülmektedir. Diğer yandan, deprem episantrına birkaç kilometre uzaklıkta, Dövenci çek-ayır havzasının Kuvaterner yaşı oldukça gevşek birimler üzerinde bulunan Büyük Dövenci, Değirmendere ve Çaybaşı çek-ayır havzasında bulunan Çaybaşı köyünde hasar oldukça fazla olmuştur.

Ağır derecede hasar gören yapıların önemli bir bölümünü ahır ve samanlık oluşturmaktadır. Hasarlı yapıların çoğunda kullanılan ahşap elemaların zaman içerisinde çürümüş ve niteliğini yitirmiş olduğu görülmektedir. Yıkılan yapıların çoğunda çatıların duvarlara olan bağlantılarının çok zayıf ve yetersiz olduğu gözlenmektedir. Depremin merkezine çok yakın köylerdeki okul binalarında da ağır hasar vardır. Özellikle çimento-kireç harçlı da olsa taş duvarlı okullarda da ağır hasar vardır. Balgöze köyündeki taş duvarlı ilkokulun ahşap çatısı duvarları birbirine bağlayamadığı için ağır hasar olmuştur. Karasar köyündeki okulda 2 metre kadar yüksekliğinde üzerinde hatıl olmayan taş yığma kalkan duvara oturan ahşap çatı ile duvar bağlantısı tümü ile kaybolmuş ve yapıda ağır hasar olmuştur (Bayülke vd. 1996).

Bu durumda Çorum ve Amasya illeri için yapıların depreme dayanıklı yapı tasarımlı ve yapıların projelerine göre yapılmışının sıkı bir biçimde denetlenmesi özellikle beton dayanımlarının proje dayanımlarında olması, donatılarının etriye sıklaştırması ve yeterli boyda ve yerde ankraj edilmesi gibi ayrıntılarla dikkat edilmesi; 2-3 kattan daha yüksek yapılarda taşıyıcı sistemlerin perdeli-çerçevevi sistemler olması, asmolan dösemeli yapılarda kırışlıkların sıkı ve geniş yapılması ve ya da tümü ile asmolan dösemeli vazgeçilmesi gibi önlemlerin alınmasında yapıların güvenliği ve deprem zararlarının azaltılması için çok yararlı olacaktır (Bayülke vd. 1996).

Deprem tehlikesinin eskiden beri yüksek olduğu bilinen Amasya, Merzifon, Gümüşhacıköy ve Osmancık gibi yerleşim yerlerinde de yapı güvenliğini artıracak önlemler sıkı bir biçimde izlenmeli ve güvenlikten hiç bir ödün verilmemelidir (Bayülke vd. 1996).

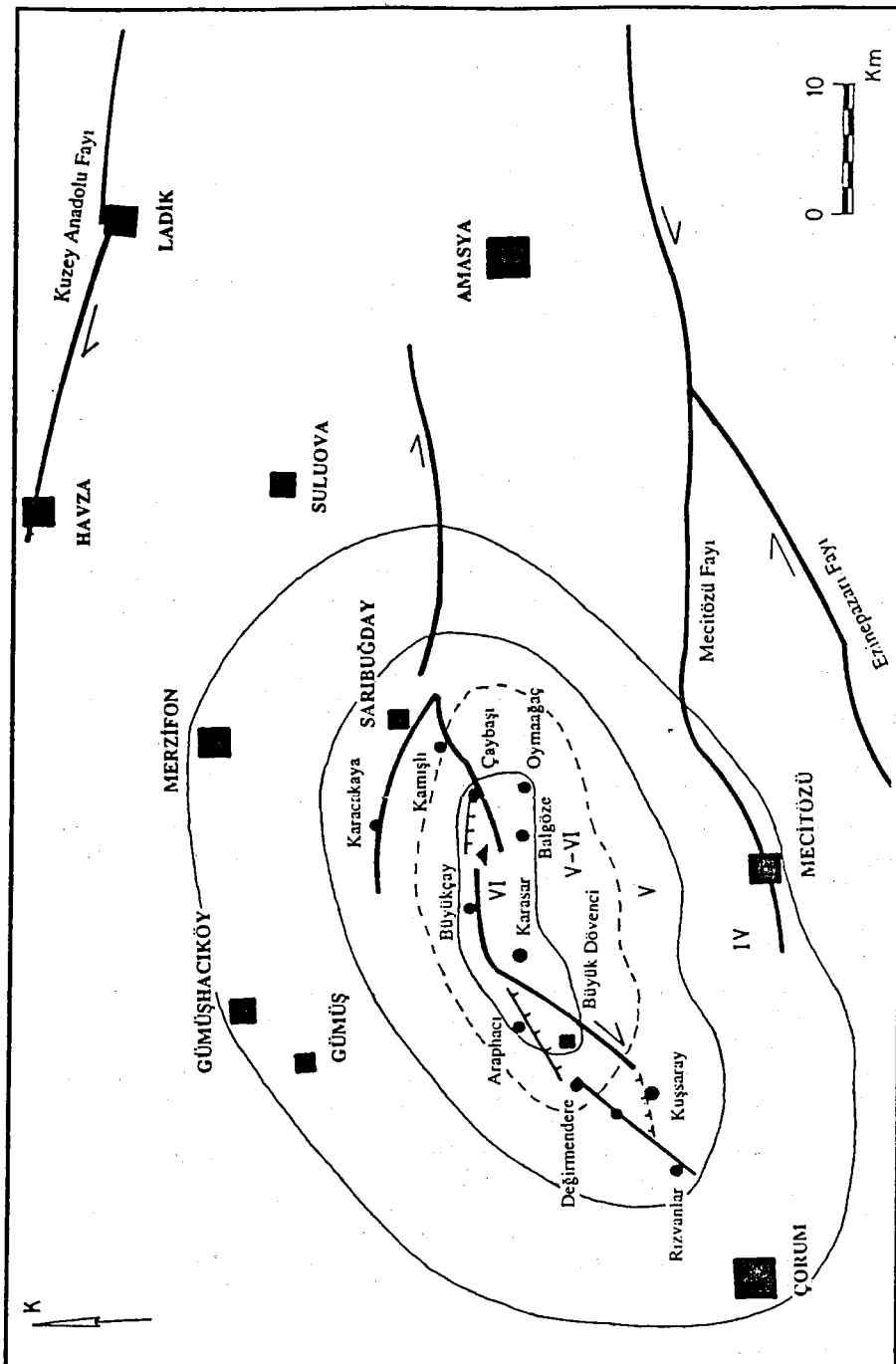
Depremin maksimum şiddeti, VI (MSK) olarak belirlendi (Şekil 6). Eşsizdeğ egrileri, doğrultu atımlı faylarda olduğu gibi faya paralel olacak şekilde elips şeklinde

Tablo 1: 26.08.1996 günü İİB'üyle Amasya ili ve çevresinde meydana gelen 14 Ağustos 1996 Salhançayı depreminde yerleşim yerlerine göre hasar dağılımları.

İL	İLÇESİ	KÖYÜ	HANE SAYISI	AĞIR	ORTA	AZ	HASARSIZ	DEĞERLENDİRMEYE ALINMAYANLAR
AMASYA	MERZIFON	Balıgoz	143	67	16	22	7	26
		Oymaç	98	50	12	30	6	-
		Dipnacı	202	46	28	44	40	42
		Büyükçay	105	39	10	14	21	20
		Kamışlı	195	33	43	51	66	4
		Küçükçay	70	30	7	11	10	7
		Çavuşalı	147	21	31	99	74	6
		Eymir	102	20	5	30	41	6
		Pekmezci	41	19	12	4	5	-
		Kızılırek	122	18	7	19	73	-
G.HACIKÖY	Dvhazlı	206	14	39	33	120	-	-
		Gülüce	25	14	7	-	-	4
MERZIFON	Elmavolu	84	10	14	16	12	10	-
		Aleçik	203	10	15	67	88	-
G.HACIKÖY	Akpınar	29	10	3	5	3	8	-
MERKEZ	Kavaklıçık	160	9	6	22	113	9	-
MERZIFON	Kuvu	40	8	10	11	7	-	-
		Hacıvakup	32	7	4	7	13	1
G.HACIKÖY	Kırkül	142	7	25	44	86	-	-
MERZIFON	Akpınar	106	6	16	20	6	5	-
		Mahmudiye	34	4	13	10	7	-
		Karakaya	77	4	5	46	22	-
		Sarıkök	48	13	7	15	25	-
HAMAMÖZÜ	Yeniköy	-	3	6	10	-	-	-
MERZIFON	Demirpinar	47	2	5	19	10	13	-
		Kirevme	46	2	7	11	24	-
MERKEZ	Beke	84	1	2	22	38	23	-
		Yavılaçık	42	1	4	7	30	-
MERZIFON	Camlıca	39	1	6	24	8	-	-
G.HACIKÖY	Cetme	-	1	3	31	-	10	-
MERKEZ	Selimme	37	-	-	5	25	7	-
		Yıldızeli	23	-	1	7	14	-
		Koççeşit	87	-	-	12	55	-
MERZIFON	Kuç	33	-	8	9	17	-	-
		Hacet	6	-	1	5	-	-
		Uzunyazı	23	-	3	18	10	-
		Oymak	19	-	3	13	3	-
		Sanlığday	105	-	3	30	72	-
		Yakup	127	-	7	39	81	-
G.HACIKÖY	Çiftlikbahçe	137	-	-	17	102	-	-
		Koseler	168	-	-	24	139	5
		Keşikoy	222	-	11	27	174	-

Tablo 2: 26.08.1996 günü İİB'üyle Çorum ili ve çevresinde meydana gelen 14 Ağustos 1996 Salhançayı depreminde yerleşim yerlerine göre hasar dağılımları.

İL	İLÇESİ	KÖY	MAHALLE	AĞIR KONUT İSYERİ	ORTA KONUT İSYERİ	AZ KONUT İSYERİ	MASANSIZ KONUT İSYERİ	DEĞ-DIŞI KONUT İSYERİ
CÖRUM	MECİTOÖZÜ	Tannvermiç	M6	1	33	1	13	6
MERKEZ	Karababa	-	45	43	-	37	3	12
	Kunalı	25	-	39	117	-	141	4
MECİTOÖZÜ	Cili	15	42	-	101	-	121	11
MERKEZ	Ayvalı	14	-	6	1	4	-	5
MECİTOÖZÜ	İplikli	13	-	9	18	-	47	3
MERKEZ	B.Düvenci	M.Sinan	11	13	21	-	19	1
MECİTOÖZÜ	Pınarbaşı	-	11	3	9	-	5	1
MERKEZ	B.Düvenci	Faub	10	20	34	1	26	2
MECİTOÖZÜ	Terken	5	-	19	35	-	10	1/1 İmamevi
MERKEZ	Kıladeresi	3	-	3	13	-	25	-
		Gökçebel	3	-	8	-	23	3
		B.Düvenci	3	12	1	60	25	2
		Y.Emre	-	4	18	1	133	3
		B.Palabıyık	1	-	9	-	45	3
		Oruçk	-	-	5	-	26	1/1 İmamevi
		K.Düvenci	-	-	-	4	48	13
		İltınar	-	-	-	-	25	2
		Ataköy	-	-	-	23	3	-
		Güvenli	-	-	3	22	42	12
		Elküce	-	-	3	40	186	2/2 Cami 10
		Güney	-	-	6	8	118	3
		Değirmendere	-	-	-	-	-	-
		Külük	-	-	-	-	-	-
		Kuyusury	-	-	-	-	-	-
MECİTOÖZÜ	Sandıkan	-	-	12	30	-	67	2



Sekil 6. 14 Ağustos 1996 Salihancayı depremi eşsizlik haritası.

görülmektedir. Depremlerin şiddetli olmayışı, ve de merkezin büyük yerleşim yerlerinden oldukça uzak oluşu, Çorum ve Merzifon'dan yaklaşık 20-30 km, Amasya'dan 50-60 km uzakta çok katlı betonarme binaların hasar görecek boyutta etkilenmelerini önlemiştir. Depremde Amasya, Merzifon, Gümüşhacıköyü, Çorum, Mecitözü, ve Gümüş gibi yerleşim yerlerinde az sayıda betonarme yapıda dolgu duvar ile betonarme çerçeveye elemanları ara yüzeylerinde kılcal çatlak biçiminde hasar olmuştur. Bu arada Merzifondaki Kara Mustafa Paşa ve Gümüş kasabasındaki Yerguç Rüstem Paşa tarihi camileri depremden etkilenmemişlerdir (Bayülke vd. 1996).

14 Ağustos 1996 günü yerel zamana göre saat 04:55, 05:27 ve 06:00'da Richter ölçüğine göre $M_I=5.4$, 4.1 ve 5.2 büyüklüklerinde oluşan üç depremden ilk ve üçüncü depremin kuvvetli yer hareketi, Amasya, Tokat, Merzifon ve Osmancık'taki Afet İşleri Genel Müdürlüğü Deprem Araştırma Dairesi'nce işletilen kuvvetli yer hareketi ivme kaydedicileri tarafından ölçülmüştür. Bu cihazlar tarafından ölçülen maksimum yer ivmeleri aşağıdaki gibidir (Bayülke vd. 1996).

04:55 depremi

İstasyon	Uzaklık (km)	Doğu-Batı	Kuzey-Güney	Düsey
Amasya	48	0.053	0.027	0.026
Tokat	115	0.0075	0.015	0.0035
Osmancık	51	0.0309	0.0157	0.0116
Merzifon	26	0.0595	0.022	0.005

06:00 depremi

İstasyon	Uzaklık (km)	Doğu-Batı	Kuzey-Güney	Düsey
Amasya	54	0.033	0.020	0.0165
Tokat	123	0.012	0.015	0.005
Merzifon	21	0.102	0.0334	0.0285

Deprem Araştırma Dairesi Kuvvetli Yer Hareketi Şebekesi tarafından bu depremlerin ve artçılarına ait toplam 21 adet kuvvetli yer hareketi kaydı alınmıştır. Bunların diğerleri daha küçük genliklidir (Bayülke vd. 1996).

ARTÇI DEPREMLER

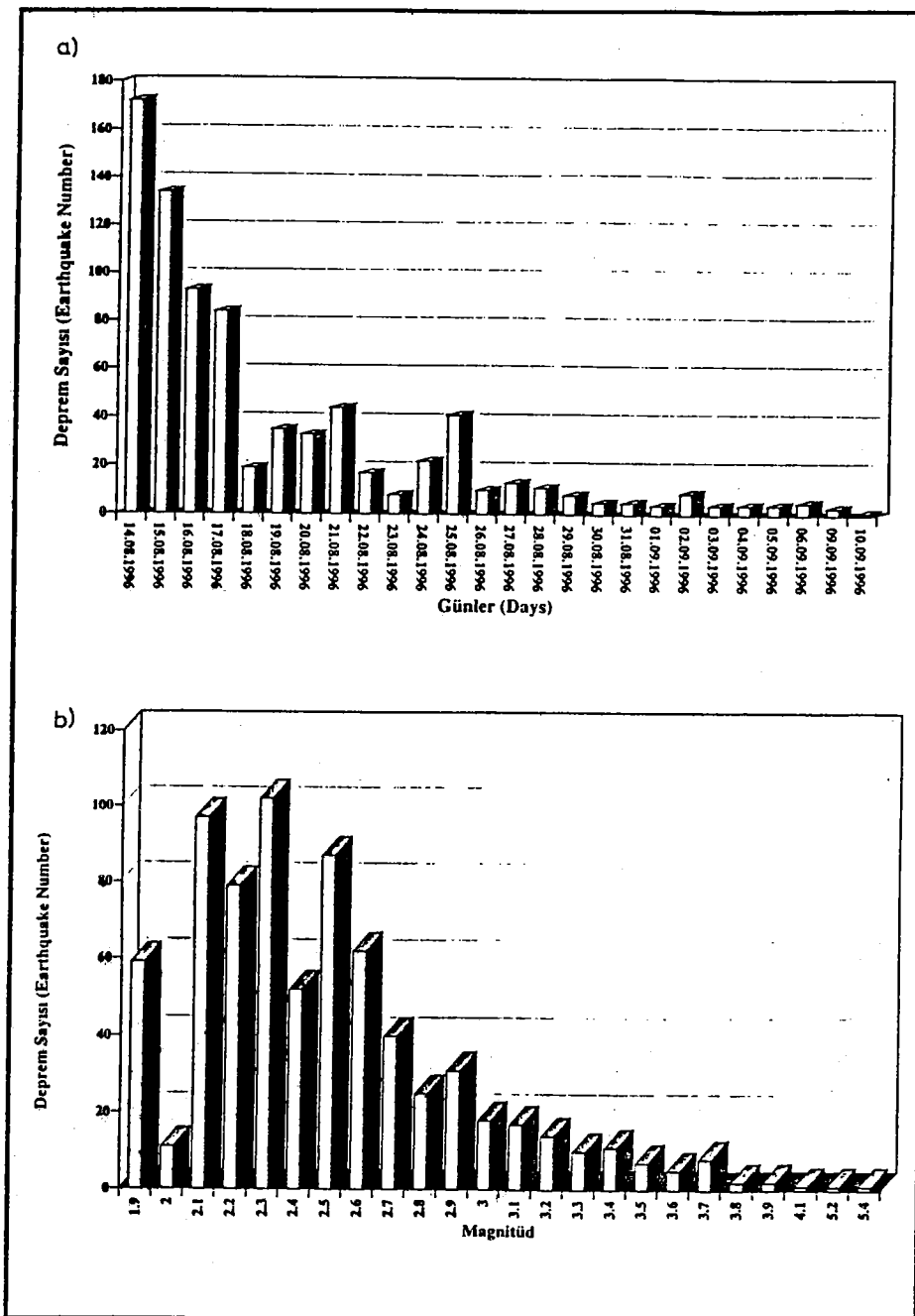
14 Ağustos 1996 Salhançayı depremlerinin ana şoklarından önce herhangi bir öncü deprem kaydedilmemiştir. 14 Ağustos 1996 günü oluşan üç şoktan sonra 10 Eylül 1996 gününe kadar $1.7 \leq M_I \leq 3.8$ arasında değişen toplam 790 artçı deprem olmuştur (Şekil 7b). Tüm bu depremler, Afet İşleri Genel Müdürlüğü Deprem Araştırma Dairesi Başkanlığı tarafından işletilen TÜRKNET (Türkiye Telemetrik Deprem Ağ) istasyonları tarafından kaydedilmiştir.

Ana şokun oluşum zamanından itibaren izleyen günler içerisinde, Episantra 40 km uzaklıkta bulunan Çatak istasyonunda kaydedilmiş artçı depremlerin S-P zaman farkları, 6 saniyeden 4.5 saniyeye doğru azalmıştır. Bu azalma 14 Ağustos 1996 Salhançayı deprem kırığının doğudan batıya doğru ilerlediğini desteklemektedir.

Artçı depremler, ana şoklardan sonra giderek azalan bir eğilim göstermiştir (Şekil 7a). Artçı depremler ile ilgili çözümler halen değerlendirilmektedir.

DEPREM MEKANİZMASI

14 Ağustos 1996 Salhançayı depremi, 1 Ekim 1995 Dinar depreminden olduğu gibi Türkiye Aktif Fay haritasında gösterilmeyen Salhançayı fayın üzerinde olmuştur. Deprem, bu fay hattının Çaybaşı ile Büyükköy arasında kalan 5 kilometreden daha küçük bir bölümünü kirdi.



Şekil 7. a) 14.08.1996-26.08.1996 günleri arasında oluşmuş artçı-depremlerin günlük dağılımları, b) 14.08.1996-26.08.1996 günleri arasında oluşmuş artçı-depremlerin magnitüd-deprem sayısı ilişkisi.

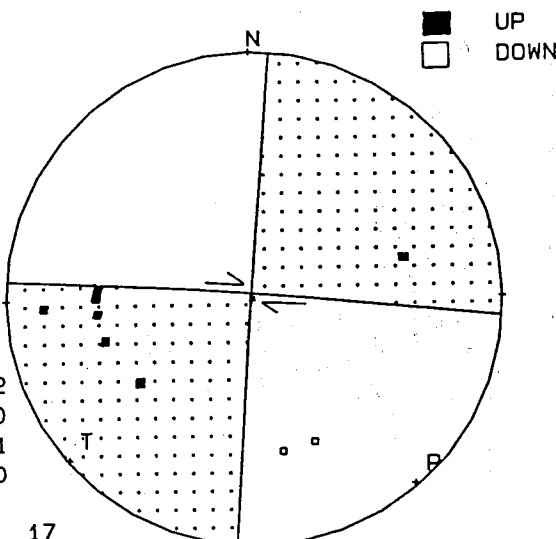
a)

Focal Mechanism Solution of the Salhançayı (Çorum-Amasya)
Earthquake on August 14, 1996

STRK1 = 275
DIP1 = 88
RAKE1 = -180
STRK2 = 185
DIP2 = 90
RAKE2 = -2

P-axis: plunge = 2
azimuth = 140
T-axis: plunge = 1
azimuth = 230

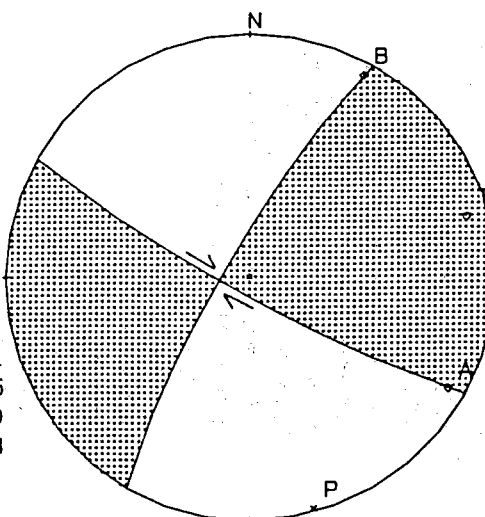
Consistent data: 17
Inconsistent data: 0



b)

STRK1 210
DIP1 82
RAKE1 6
STRK2 119
DIP2 84
RAKE2 172

P-axis: plunge = 1
azimuth = 165
T-axis: plunge = 10
azimuth = 74



Şekil 8. 14 Ağustos 1996 Salhançayı depremi ana şokuna a) Deprem Araştırma Dairesi (DAD), b) National Earthquake Information Center (NEIC) tarafından yapılmış odak mekanizması çözümleri.

Depremler, büyüklüklerinin ($M_I=5.4$, 4.1 , 5.2) küçük olmasından dolayı yeryüzünde herhangi bir yüzey faylanması meydana getirmemi. Bununla birlikte deprem, fayın Çaybaşı ile Büyükcay köyleri arasında uzanan Salhançayı deresi boyunca oldukça büyük Jura-Kretase yaşılı kireçtaşları ile Eosen yaşılı konglomeratik bloklardan oluşan birçok kaya düşmelerine neden oldu.

Kırık başlangıç ve bitiş noktalarını denetleyen faktörler açısından ele alınacak olursa, depremin episancı, Salhançayı fay hattının Çaybaşı köyü yakınında sona eren KD-GB doğrultulu segmenti ile Büyükcay köy yakınından geçen D-B doğrultulu segmenti arasındaki sağa basamak bölgesinde yer aldı. Bu yüzden, deprem Çaybaşı çek-ayır havzasında oluşmuştur. Fay hattı, Büyükcay ile Karasar köyleri arasında aniden doğrultu değiştirerek Büyük Dövenciler çek-ayır havzasının doğusunu sınırlayacak şekilde uzanır. Fayın bu segmenti KD-GB doğrultuludur. Bu nedenle, deprem kırığı, bu fay büklümünden dolayı sona ermek zorunda kalmıştır. Diğer taraftan, hasar dağılımları, kaya düşmeleri ve Çorum'un batısında 40 km uzaklıktaki yer alan Çatak istasyonundan ilk günlerde kaydedilen artçı depremlerin S-P farklarının 6 saniyeden 4.5 saniyeye düşmesi, deprem kırığının doğudan batıya doğru ilerlediğini göstermektedir. Kisaca, deprem kırığı, Çaybaşı çek-ayır havzasının kuzeyindeki D-B doğrultulu segmentinin doğu ucundan başlayıp, fay büklümü yaptığı batı ucuna doğru ilerlediği şekilde yorumlanabilir.

Anaşokun odak mekanizma çözümü, Deprem Araştırma Dairesi (DAD) TÜRKNET (Türkiye Telemetrik Deprem Kayıt Şebekesi) telemetrik istasyonlarından kaydedilmiş depremlerin P dalgasının ilk vuruşlarından elde edilen veriler ile çözülmüş (Şekil 8a) ve aşağıdaki parametreler elde edilmiştir (Tablo 3). İlk depremin odak mekanizması çözümü sağ yönlü doğrultu atım faylanma mekanizması vermiştir. Bu parametreler NEIC (National Earthquake Information Center) tarafından elde edilmiş QED (Quick Epicenter Determinations) sonuçları ile karşılaştırılmıştır (Şekil 8b) (Tablo 4).

Tablo 3: Deprem mekanizmasına ait parametreler (DAD)

Fayın Doğ.	275°	Y.Düzlem Doğ.	185°	T Ekseni Azimut	230°	P Ekseni Azimut	140°	Mo	Değerlen- dirilmekte
Fayın Eğimi	88°	Y.Düz. Eğimi	90°	Dalımlı	1°	Dalımlı	2°	Mw	Değerlen- dirilmekte
Kayma Açısı	-180°	Y.Kayma Açısı	-2°					Derinlik	7

Tablo 4: Deprem mekanizmasına ait parametreler (NEIC)

Fayın Doğ.	210°	Y.Düzlem Doğ.	120°	T Ekseni Azimut	75°	P Ekseni Azimut	165°	Mo	4.8×10^{-1}
Fayın Eğimi	82°	Y.Düz. Eğimi	84°	Dalımlı	9°	Dalımlı	1°	Mw	5.7
Kayma Açısı	6°	Y.Kayma Açısı	172°					Derinlik	13

DAD tarafından yapılan fay düzleme çözümü, Salhançayı fayının bu depremde yırtıldığı varsayılan bölümünün arazide gözlenen doğrultusu ve eğimi ile daha uyumlu olduğu görülmektedir. Fayın eğimi, NEIC çözümünde gösterildiği gibi GD'ya doğru olmayıp, KB-KKB'ya doğru değişmektedir.

TARTIŞMA VE SONUÇLAR

14 Ağustos 1996 Salhançayı depremi episancı, Çaybaşı çek-ayır havzasının kuzeyini sınırlayan segmentin doğu ucunda yer aldı. Fay, Kamişılı ile Çaybaşı köyleri arasında KD-GB doğrultuya sahipken, Çaybaşı-Karasar köyleri arasında doğrultu değiştirerek D-B doğrultusu kazanması, bu bölümde gerilme birikmine neden olmuş ve bu kısmın yırtılması ile sonuçlanmıştır. Artçı depremlerin dağılımları, hasar durumları, kaya düşmelerinin

dağılımları ve artçı depremlerin S-P zaman farkları, deprem kırığının 5 kilometreden daha az olduğu ve kırığın Çaybaşı çek ayı havzasından başladığı ve batıda fayın büklüm yaptığı Karasar köyü yakınında sona erdiğini göstermektedir.

Diger yandan Salhançayı fayının 35-40 km uzunluğa sahip olduğu hatırlanacak olursa ve Karasar köyü yakınında fayın tekrar doğrultu değiştirerek KD-GB doğrultu alması bu kısımlarda gerilme birikimine sebeb olabilir ve orta büyülüklükte depremler üretebilir.

14 Ağustos 1996 depremleri ve en son Amasya'nın hemen güneyinde 12 Şubat 1992 günü oluşan 5.0 büyüklüğündeki deprem, Çorum ve Amasya illeri yakınından geçen ve Anadolu blokundan çıkan birtakım blokçukların sınırlarını oluşturan ve Anadolu bloku içerisindeki içsel deformasyonları karşılamaya çalışan Ezinepazarı fayı, Salhançayı fayı ve daha doğuda yer alan Almus fayının günümüzde ve önmüzdeki yüzyıl içerisinde aktif olacaklarını ve orta-büyüklükte depremler üretebilecek potansiyellere sahip olduklarını göstermektedir. Bu yüzden Çorum ve Amasya illeri oldukça yüksek deprem risklerine sahiptir.

KATKI BELİRTME

Bu çalışmanın gerçekleşmesinde her türlü destek ve yardımlarda bulunan Afet İşleri Genel Müdürü sayın Oktay Ergünay'a, Sismoloji Şube Müdürü sayın Rüçhan Yılmaz'a,

Arazi çalışmaları sırasında depremlere sebeb olan fayın haritalanmasında büyük katkılarda bulunan ve depremde yıkılan binaların açıklanmasında değerli bilgiler veren Deprem Mühendisliği şube müdüri sayın Nejat Bayülke'ye

Depremlerin değerlendirilmesinde katkıları bulunan Sismoloji Şube Müdürlüğü Fizikçi sayın Aysel Yatman'a, Artçı depremler ile ilgili değerlendirmelerde bulunan Jeofizik Mühendisi sayın Ali Zeynel Denizlioğlu'na ve odak mekanizması çözümü yapan Jeofizik Mühendisi sayın Salih Karakısa'ya teşekkürlerimi bildiririm.

DEĞİNİLEN BELGEler

Demirtaş, R., ve Yılmaz, R., 1996, Türkiye'nin Sismotektoniği; Sismitedeki Uzun Süreli Değişim ve Güncel Sismisiteyi Esas Alarak Deprem Tahminine Bir Yaklaşım. Bay. ve İskan. Bak. Afet İşleri Genel Müd. Deprem Araştırma Dairesi Yayınları, Ankara, Temmuz 1996.

Demirtaş, R., Karakısa, S., and Yılmaz R., 1996b, Artçı depremler ile 1 Ekim 1995 Dinar deprem kırığının yorumlanması. Süleyman Demirel Üniversitesi, Mühendislik-Mimarlık Fakültesi, IX Mühendislik Sempozyumu, Jeofizik Mühendisliği Bildirileri Kitabı, 29-31 Mayıs 1996, sayfa 31-38.

Şaroğlu, F., Kuşçu, İ., ve Emre, Ö., 1991, Türkiye'nin Diri Fay Haritası, MTA.

Bayülke, N., Demirtaş, R., ve İnan, E., 1996, 14 Ağustos 1996 Salhançayı Depremi. İnşaat Mühendisleri Odası, Ankara Şubesi Bülteni, Eylül 1996 sayısı, Ankara.

09 EKİM 1996 PAPHOS DEPREMİ, GB KIBRIS

The Paphos Earthquake of October 09, 1996, SW Cyprus

Ramazan Demirtaş

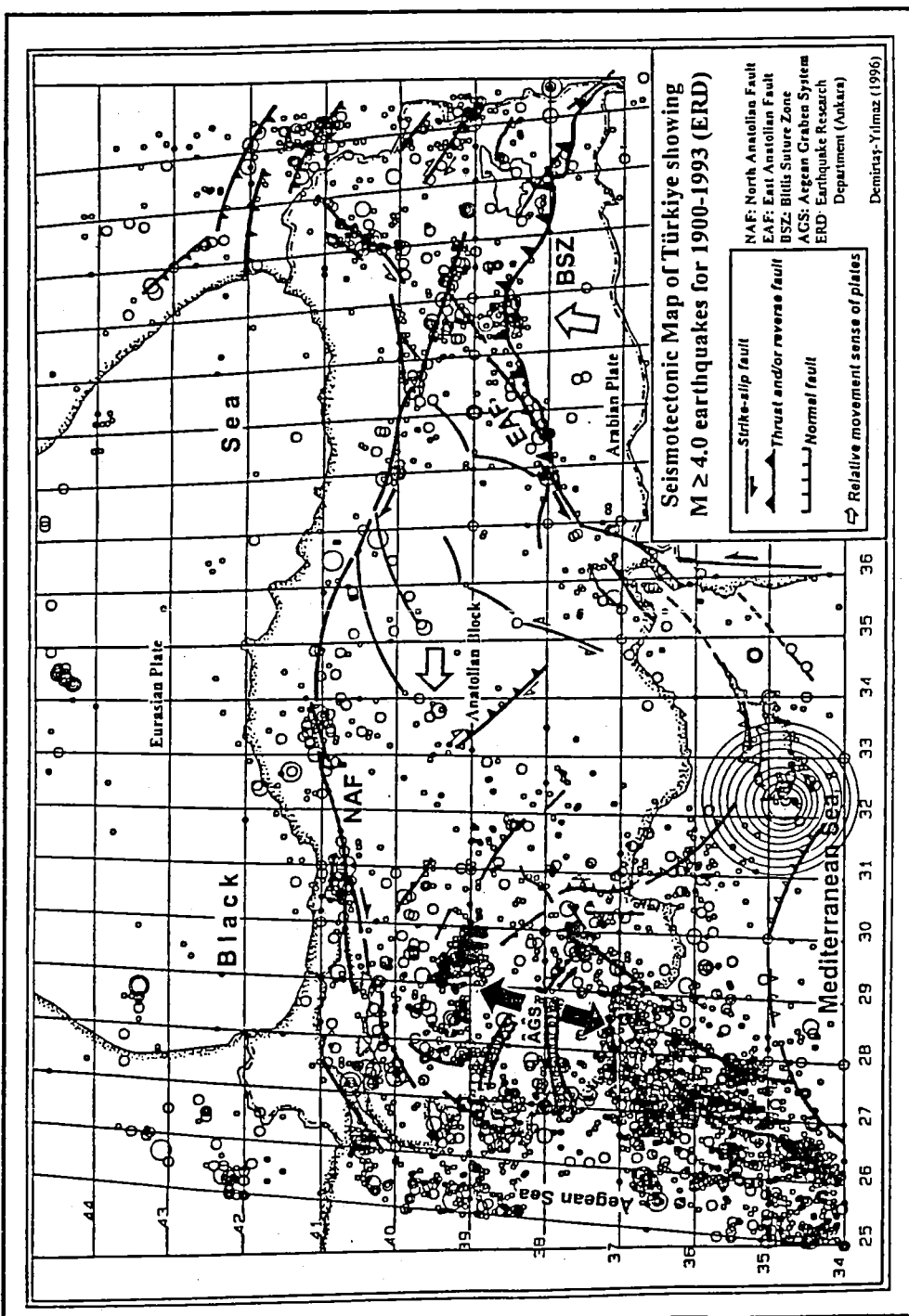
**Aset İşleri Genel Müdürlüğü, Deprem Araştırma Dairesi
Başkanlığı, Sismoloji Bölümü, ANKARA**

ÖZ: 09 Ekim 1996 tarihinde saat 16:11'de Kıbrıs'ın hemen güneybatısında Helenik-Kıbrıs yayı üzerinde orta büyüklükte bir deprem meydana gelmiştir. Depremin magnitüdü CSEM tarafından 6.2 ve derinliği 33 km olarak saptanmıştır. Deprem Türkiye'nin güney kıyılarda, Levant Sahili ve Afrika'nın kuzey kıyıları boyunca şiddetli bir şekilde hissedilmiştir. Depremde biri Güney Kıbrıs'da diğerı Mısır'da olmak üzere iki kişi hayatını kaybetmiştir. Deprem Kıbrıs'ının güneybatısında oldukça şiddetli olarak hissedilmiş ve birçok evlerde çatlaklar meydana gelmiştir. Depremin episantri 34.80 K ve 32.15 D (CSEM) olarak bulunmuştur. Deprem episantının deniz içerisinde yer olması sebebiyle depremin meydana getirdiği faylanma hakkında henüz bir bilgi olmaması ile birlikte depremin odak mekanizması çözümü yapılmıştır. Fayın doğrultusu hemen hemen D-B olup 80 derece kuzeye eğimli olarak elde edilmiştir. Bu çözüm, Kıbrıs'ın hemen güneyinde uzanan Kıbrıs Yayı'nın doğrultusu ile oldukça iyi bir uyumluşuk göstermektedir.

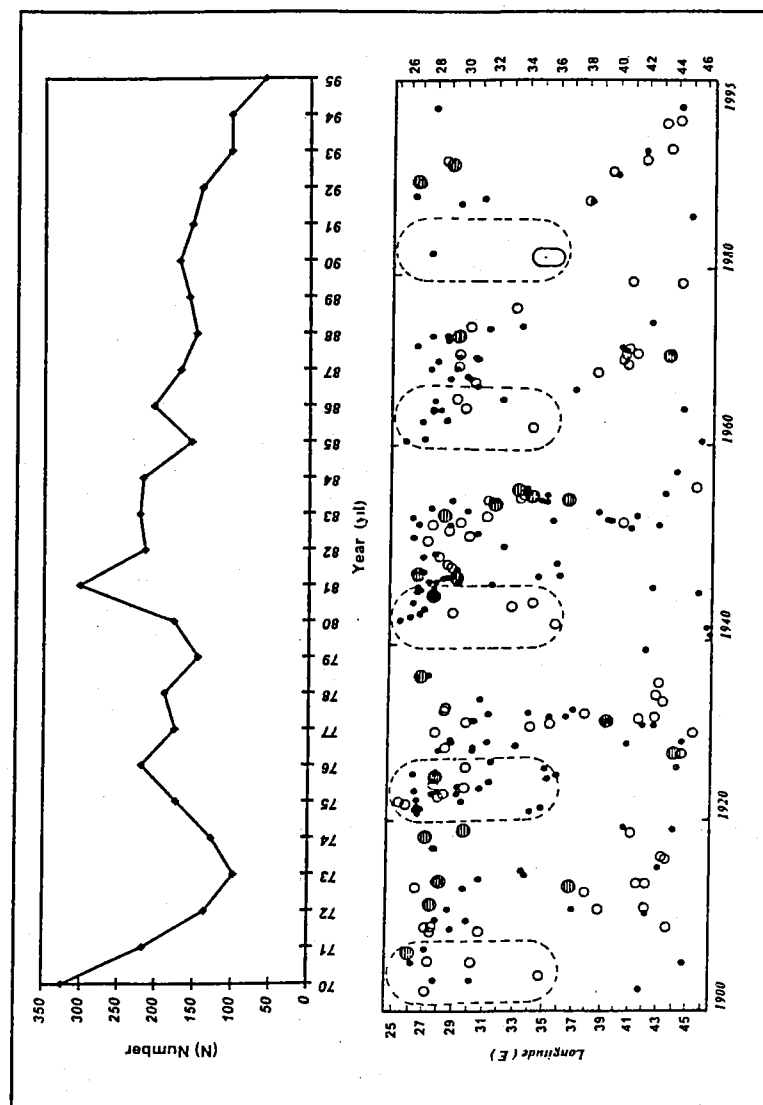
GİRİŞ

Türkiye, 1900 yılından beri sürekli olarak hasar yapıcı ve yüzey faylanmasına neden olmuş büyük depremlere maruz kalmıştır. Şekil 1, 1900-1995 yılları arasında oluşmuş magnitüdü $Ms \geq 4.0$ depremlerin dışmerkezleri (episantrları), dağılımlarını göstermektedir. Bu depremlerin dışmerkezleri, ana tektonik hatlar boyunca yoğunlaşmışlardır. 1970-Günümüz arasında aletsel dönemin ikinci yarısında kaydedilmiş deprem sayılarının yıllara göre dağılımları ayrı olarak incelenmiştir (Şekil 2a). Bu grafikde 1965 yılından sonra depremlerin sayılarında dereceli olarak bir artış olmuştur. Bu artış, 1970-1984 yılları arasında maksimum değerlere erişmiş ve 1984 yılından sonra yıllık deprem sayılarında göreceli olarak bir azalma eğilimi görülmüştür. Günümüzde, tüm Türkiye'de sakin bir dönem gözlenmektedir (Demirtaş ve Yılmaz 1996). Helenik-Kıbrıs Yayı bölgesi ile Ege Graben Sistemi içerisinde meydana gelmiş depremlerin sayıca oldukça fazla oldukları gözlenmektedir.

Kısa süreli deprem tahminine esas teşkil edecek uzun süreli deprem tahmininde bulunabilmek için, Türkiye ve civarında son yüzyıl içerisinde oluşmuş $Ms \geq 5.5$ depremlerin, 20'şer yıllık dönemler halinde yer ve zaman içerisindeki değişimleri incelenmiştir. Kisaca özetlenecek olunursa; (1) 1900-1920 ilk dönem içerisinde, Plini ve Strabo çukurlukları boyunca yoğun bir aktivite, (2) 1921-1940, Helenik-Kıbrıs yayında artan bir aktivite (3) 1941-1960 Helenik-Kıbrıs yay bölgesinden kuzeye Ege Graben Sistemi içerisinde doğru aktivitenin kayması, (4) 1961-1980, Helenik-Kıbrıs yayında azalmış bir aktivite ve (5) 1981-Günümüzde, tüm Türkiye'de olduğu gibi Helenik-Kıbrıs yayı boyunca da oldukça suskun bir dönem yaşanmaktadır (Demirtaş ve Yılmaz 1996). Sismik aktivitedeki bu suskunluk Tarihsel geçmişte özellikle yıkıcı depremlere maruz kalmamış ana tektonik hatların kırılmamış kısımları boyunca depremlerin olma olasılıklarının oldukça kuvvetli olduğuna işaret etmektedir. Son zamanlarda meydana gelen 12 Şubat 1992 Amasya depremi ($M=5.0$), 13 Mart 1992 Erzincan depremi ($M=6.8$) (Demirtaş ve Yılmaz 1993; Demirtaş vd., 1994), 1 Ekim 1995 Dinar depremi ($M=5.9$) (Demirtaş vd., 1996a,b,c), 14 Ağustos Salhançayı (Çorum-Amasya) depremi (Demirtaş, 1997) ve 09 Ekim 1996 Kıbrıs depremi ($M=6.2$) tarihsel geçmişte büyük yıkıcı depremlere maruz kalmamış tektonik hatların kırılmamış kısımları boyunca meydana gelmiştir. Bu tür depremler uzun süredir üzerinde büyük hasar yapıcı depremler olmayan uzun fayların (Doğu Anadolu fayı, Tuzgölü fayı, Ecemis fayı, Ezinepazarı



Sekil 1. Türkiye'nin sisnotektonik haritası ve 09 Ekim 1996 Paphos depreminin düşmerkez yeri.
Figure 1. Seismotectonic map of Türkiye for 1900-1993 and epicenter site of the Paphos earthquake of October 09, 1996.



Şekil 2. (a) 1970-1995 yılları arasında Türkiye ve civarında oluşmuş magnitüdü 4.0 ve daha büyük depremlerin frekans dağılımı, (b) 1900-1995 yılları arasında Türkiye ve yakın civarında oluşmuş magnitüdü 5.5 ve daha büyük depremlerin yer-zaman dağılımı. Kesik çizgili elipsler İlemit-Kıbrıs yayımı içine alan bögeyi, son evredeki küçük elips ise 09 Ekim 1996 Paphos depremini göstermektedir.

Figure 2. (a) Frequency distribution of earthquakes with magnitudes equal or greater than 4.0 in and around Türkiye for 1970-1995, (b) Time-space distribution of earthquakes with magnitudes equal or greater than 5.5 in and around Türkiye; Dashed ellipses show Hellenic-Cyprus arc and small ellipse inside the last period denote the Paphos earthquake of 09 October, 1996 (Demirtaş ve Yılmaz, 1996).

fayı, Salhançayı fayı, Helenik-Kıbrıs yayının doğu (Kıbrıs) bölümü, Kuzey Anadolu Fayının doğu ve batı uçları, Doğu Anadolu Sıkışma bölgesinin Van gölü civarı (Ana Güncel Fay) ve Kuzeydoğu Anadolu fayının kuzeydoğu ve güneybatıdaki bölgeleri gibi) yüksek deprem potansiyellerine sahip olabileceklerine işaret etmektedir. Şekil 2b, yukarıda bahsedilen birbirini izleyen 5 (1900-1995) dönemi temsil eden depremlerin yer-zaman içerisindeki dağılımlarını toplu olarak göstermektedir. Açık renkli daireler $5.5 \leq Ms \leq 6.0$, siyah daireler $6.0 \leq Ms \leq 7.0$ ve taralı daireler $7.0 \leq Ms \leq 8.0$ depremleri belirtmektedir. Şekil 2b'de, 1900 yılından günümüze doğru sismik etkinliğin, Helenik-Kıbrıs yayından kuzeye Ege graben sistemine doğru kayması açık bir şekilde görülmektedir. Bu bölgede 1900-1920 yılları arasındaki evrede sismik etkinlikte göreceli bir artış, 1920-1960 yılları arasındaki evrede sismik etkinlikte önemli bir artış ve 1960-Günümüz arasında ise sismik etkinlikte göreceli bir azalma görülmektedir (Demirtaş ve Yılmaz 1996). Son evreyi gösteren elips içerisindeki küçük elips son olmuş 09 Ekim 1996 Paphos depremini temsil etmektedir.

Helenik-Kıbrıs yayının tektonik konumu

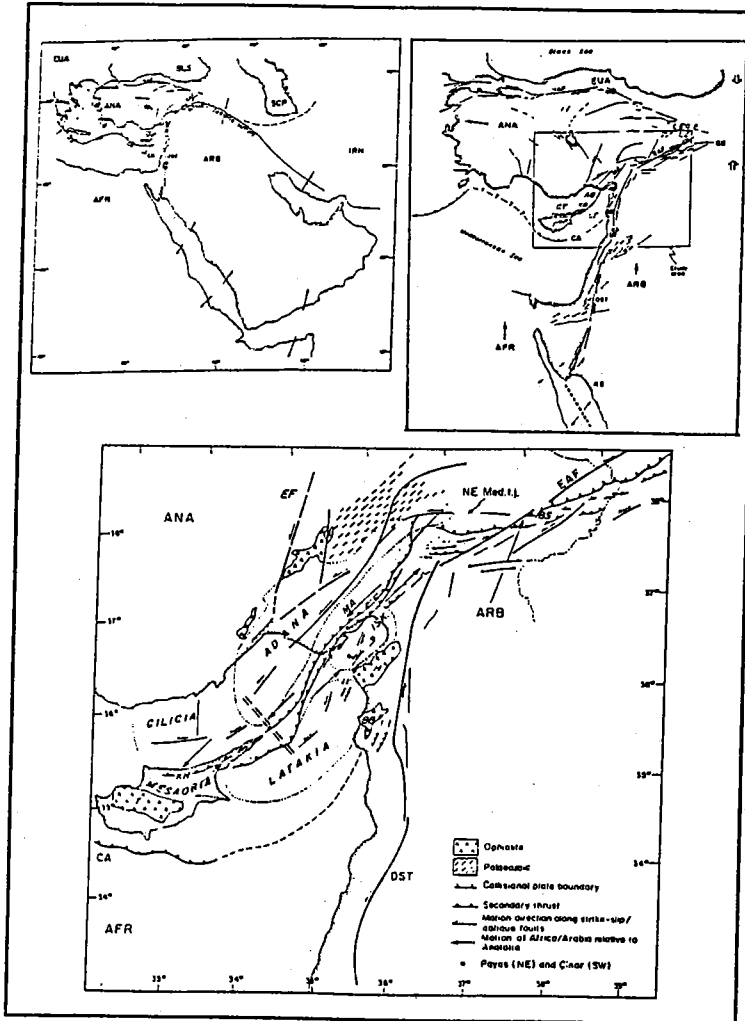
Doğu Akdeniz havzası, Mesozoyik başlarından bu yana Avrasya ile Afro-arap plakaları arasındaki yaklaşım sonucu gelişen Neotetiz okyonusunun bir kalıntıdır (Şekil 3a) (Smith 1971; Dewey vd., 1973; Savostin vd., 1980, Kempler 1994). Bu iki plaka arasındaki hareket bu plakalar arasında yer alan birçok mikroplakaların varlığı ile oldukça kompleks bir hal almıştır. Doğu Akdeniz bölgesindeki bugünkü tektonik rejim, Arab-Avrasyaplakalarının çarpışmasından ileri gelen küçük mikroplakaların Helenik-Kıbrıs yayına doğru kaçması şeklinde gerçekleşmektedir (McKenzie, 1970; 1972; Dewey vd., 1986). Doğu Akdeniz havzası içerisinde bu iki plaka arasındaki sınırı Kıbrıs yayı oluşturmaktadır (McKenzie 1970; 1972; Rotstein ve Kafka 1982; Jackson ve McKenzie 1984; Kempler 1986). Kıbrıs'ın güneyinde ve batısında bir sınır, Neojen ve Güncel birimlerin deformasyona uğradığı uzamış zonlar şeklinde temsil edilmektedir. Fakat bu sınır, Kıbrıs ile Levant sahilii arasında açık bir şekilde görünmemektedir (Şekil 3b ve c).

Helenik-Kıbrıs yayı, Türkiye'nin güney kıyısı yakınılarında, Girit adasının güneyinden geçerek kuzeydoğu yönünde Rodos adasının güneyinden Fethiye Körfezi'ne doğru uzanır. Helenik-Kıbrıs yayı, Girit adası ile Fethiye Körfezi arasında Plini ve Strabo çukurlukları boyunca ters fay bileşenli sol yönlü doğrultu atımlı fay karakteri gösterir (Şekil 3a ve b). Diğer taraftan, Helenik-Kıbrıs yayı, Antalya Körfezi, Kıbrıs kuzeyi ve İskenderun Körfezi arasında içbükey bir kavis yapar. Bu yayın kuzeybatıya doğru devamı, Antalya Körfezinden başlayan ve kuzeybatı doğrultusunda devam eden ters fay niteliğinde olan Aksu bindirme fayı temsil eder. Diğer bir çukurluk, Plini ve Strabo çukurluklarından başlar ve Kıbrıs güneyine doğru dışa dopru bir yay yapar. Yukarıda bahsedilen çukurluklar boyunca Afrika plakası, Anadolu bloğunun altına doğru KKD doğrultusunda dalmaktadır.

Helenik-Kıbrıs Yayı boyunca geçmiş yüzyılda oluşmuş depremlerin bazlarının fay düzlemi çözümlerinden elde edilmiş P ve T eksenlerinin yönlerinin, yay boyunca farklı segmentlerde farklı olarak gelişikleri görülmektedir. Bölgede farklı sıkışma ve çekme yönleri, dalan plaka sınırlarının her yerde aynı olmaması ve kavis yapmasından kaynaklanmaktadır.

Helenik-Kıbrıs yayının tarihsel sismisitesi

Geçmiş yüzyıl içerisinde Türkiye ve yakın civarında hasar yapıcı ve yüzey faylanması meydana getirmiş toplam 118 tane deprem olmuştur. Helenik-Kıbrıs yayının Türkiye'nin güneyinde uzanan bölüm boyunca, 1900-1995 yılları arasında toplam 13 hasar yapıcı deprem ($Ms \geq 5.5$) meydana gelmiştir (Şekil 4). Bu hasar yapıcı depremlerden 11'i oldukça yoğun



Şekil 3. (a) Doğu Akdeniz bölgesinin tektonik çatısını gösteren şematik harita (Kempler, 1994). AFR: Afrika plakası, ANA: Anadolu plakası, ARB: Arab plakası, BLS: Kara Deniz, EUA: Avrasya plakası, IRN: İran, SCP: Güney Hazar, CA: Kıbrıs yayı, DST: Ölü Deniz Fayı, EAF: Doğu Anadolu Fayı, HA: Helenik Yayı, NAF: Kuzey Anadolu Fayı, CY: Kıbrıs, ve ER: Eratostenes, (b) Doğu Akdeniz havzasının yapısal elemanları (Kempler, 1994). AB: Adana Havzası, BB: Baer- Basit ophioliti, BS: Bitlis Kenet Kuşağı, CT: Kılıkya Çukuruğu, EACP: Doğu Anadolu Sıkışma Bölgesi, H: Hatay ophiolitleri, IB: İskenderun Havzası, KR: Kyrenia zinciri, LT: Latakya Çukuruğu, LZ: Hazar Gölü, MA: Misis-Andırın Kuşağı, MP: Mesoria düzlüğü, RS: Kızıl Deniz, T: Troodos ophioliti, (c) Doğu Akdeniz bölgesinde yer alan sedimenter havzalar ve pozitif yapılar. EF: Ecemis Fayı.

Figure 3. (a) A regional tectonic framework for the Eastern Mediterranean (Kempler, 1994), (b) Structural elements of the Eastern Mediterranean (Kempler, 1994), (c) Sedimentary Basins and positive structures and ophiolites (Kempler, 1994).

sismik etkinlik görünen Plini ve Strabo sol yönlü doğrultu atımlı faylarında meydana gelmiştir. Bununla birlikte, son yüzyıl içerisinde Helenik-Kıbrıs yayının, Antalya Körfezi ile İskenderun Körfezi arasında kalan bölüm boyunca herhangi bir yıkıcı deprem meydana gelmemiştir. Ancak, Kıbrıs'ın güneyinde yalnızca orta büyüklükte iki deprem ($M_s \geq 5.5$) oluşmuştur.

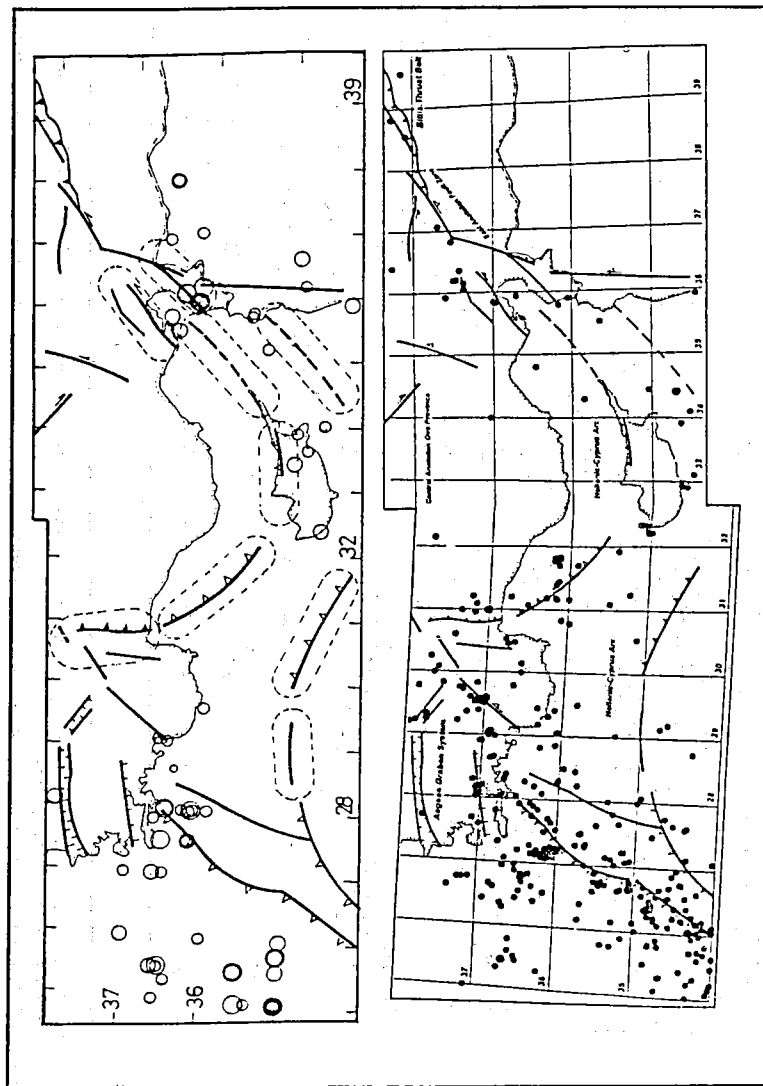
Helenik-Kıbrıs yayı boyunca M.Ö. 2100 ile M.S. 1899 yılları arasında geçen dönemde içerisinde şiddetleri VII ile X arasında değişen toplam 150 civarında deprem meydana gelmiştir (Şekil 5a) (Ergin vd., 1967 ; Soysal vd., 1981). Şekil 5a'da depremlerin genellikle iki önemli kısımda yoğunlaştiği açık bir şekilde görülmektedir. İlk olarak depremlerin çoğunuğu Helenik-Kıbrıs yayının Plini ve Strabo çukurlukları boyunca meydana gelmiş. Diğer yandan ikinci olarak depremler Doğu Anadolu Fayının güneybatı ucunda yoğunlaşmışlardır. Uzun süredir depremlerin hiç meydana gelmediği yayın Plini ve Strabo çukurlukları ile Kıbrıs arasında kalan kısımlar elipsler ile gösterilmiştir. 09 Ekim 1996 Paphos depremi bu bahsedilen orta kısımlarda meydana gelmiştir. Bu deprem, elipsler ile gösterilen alanların da her an büyük bir deprem oluşturabilecek yüksek potansiyellere sahip olduklarını göstermektedir.

Şekil 5b, 1989 ile 1996 yılları arasında oluşmuş magnitüdü 4.0 ve daha büyük depremlerin episentr dağılımlarını göstermektedir. Depremler, yine Plini ve Strabo çukurlukları boyunca yoğunlaşmıştır. Diğer taraftan Antalya Körfezi boyunca oldukça yüksek bir sismik aktivite gözlenmektedir (Şekil 5b).

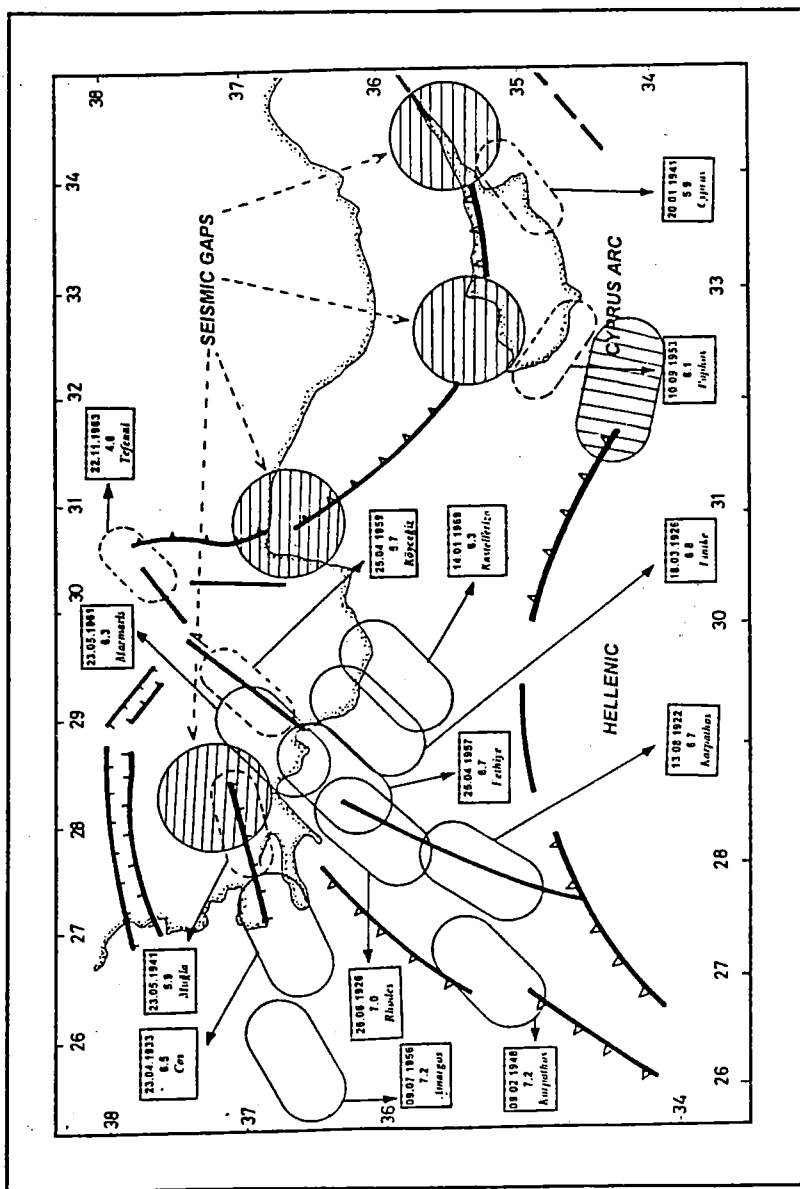
Helenik-Kıbrıslarındaki sismik boşluklar

Ölçükle uzun faylar boyunca, uzun süredir depremlerin olmadığı kısımlar, gelecekte deprem oluşturma potansiyeli yüksek olan yerler olarak tanımlanmaktadır. Mogi (1979a) tarafından bu kırılmadan kalın kısımlar birinci tip sismik boşluk olarak (First kind of seismic gap=Spatial gap) tanımlanmıştır. Omori (1909), İtalya'nın güneyinde 28 Aralık 1908 de oluşmuş Messina depremini ve geçmiş depremleri incelemiş ve gelecekteki bir depremin bu bölgede kırılmadan kalmış bir segmentte oluşabileceğini ileri sürmüştür. Nihayet 13 Ocak 1915'de bu boşluk olarak gösterilenlerden bir tanesi üzerinde büyük bir deprem meydana gelmiştir. Fedotov (1965), Pasifik sismik kuşağının Kamçatka ile Hokkaido arasında yer alan bölümünde, artçı depremlerin yayıldığı bölgelerden ve tsunami kayıtlarından $M \geq 7.7$ olan depremlerin odak bölgelerini tahmin etmiş ve bu odak bölgelerinin birbirleri ile çakışmadıklarını ve gelecekteki depremlerin bu boşluklar arasında meydana gelebileceklerini belirtmiştir. Diğer taraftan, bir sismik kuşakta büyük depremlerin artçı şokların yayıldığı bölgelerin harita üzerine işaretlenmesi sonucu, arada yer alan boşlukların hepsinin gelecekte deprem oluşturması şartının olmadığını belirtmek yerinde olacaktır. Çünkü bu kuşakların bazı kesimlerinde asismik kayma sonucu sürekli deformasyon boşalımı olabilir ve çok sık olarak mikro-depremlere maruz kalırken büyük magnitüdü depremler oluşturamazlar. Bu kısımlar, fayların krip gösterdiği segmentleri olarak bilinir. Japonya'da Kanto bölgesinin doğu kıyısında yer alan segment (Mogi 1979a), San Andreas fayının Parkfield segmenti (Allen 1968) ve Kuzey Anadolu fayında İsmetpaşa segmenti (Ambraseys 1970 ve Ketin 1976) örnek olarak verilebilir.

Bazı durumlarda, büyük bir deprem olmadan önce, büyük depremin odak bölgesinden uzakta yer alan bölgelerde yoğun mikro deprem etkinliği görülür. Büyük bir depremden önce odak bölgesinde bir çeşit haberci olaylara işaret eden bu sismik suskunluk, ilk defa Inouye (1965), tarafından ikinci tip sismik boşluk (Second kind of seismic gap=temporal gap) olarak tanımlanmıştır. Araştıracı, 1938 Fukushima-ken-oki, 1952 Tokachi-oki ve 1964 Nigata



Şekil 5. (a) M.Ö. 2100 ile M.S. 1899 yılları arasında kapsayan dönende Helenik-Kibrus yayının tarihsel sisimitesi, Ellipsler: Uzun süreli kırılmayan bölümteri temsil etmektedir, (b) 1899-1996 yıllarını içeren dönende Helenik-Kibrus yayının güncel sisimitesi, boyuna hasar yapıcı ve yüzeysel faylanması nedeniyle getirilen's depremler ile muhtemel sisimik boşukların drit fay segmentleri ile ilişkisi (Demirtaş ve Yilmaz, 1996).
Figure 5. (a) Seismotectonic map of the Hellenic-Cyprus arc for BC 2100-AD 1899, ellipses denote unruptured segments of this arc for 1899-1996.
(b) Recent seismotectonic map of the Hellenic-Cyprus arc for 1899-1996.



Sekil 4. Hellenik-Kibrus yayı boyunca hasar yapıcı ve yüzey faylamması meydana getirilen depremler ile muhtemel sismik boşlukları döri fay segmentleri ile ilişkisi (Demirtaş ve Yılmaz, 1996).
Figure 4. Distribution of damaging earthquakes and probable seismic gaps along the Hellenic-Cyprus arc (Demirtaş ve Yılmaz, 1996).

depremlerinden önce, depremlerin odak bölgelerinde, civardaki bölgelere nazaran sismik suskunlıkların varolduğunu belirtmiştir. Diğer taraftan Mogi (1969a), Inouye'nin (1965) görüşüne paralel olarak, büyük bir depremin odak bölgesinde sismik aktivitenin azaldığını, tersine civar bölgelerde arttığını belirtmiş ve bunu gözleme modeli (doughnut pattern) olarak tarif etmiştir. Araştırcı, 1923 Kanto, 1933 Sanriku-oki, 1944 Tonankai, 1946 Nankaido ve 1968 Tokachi-oki depremlerinden önce bu tür bir paternin gözlendiğini söylemektedir.

1900-1995 yılları arasındaki depremlerin yer-zaman aralığı içerisindeki dağılımları, tüm Türkiye'de kırılmadan kalan (yersel boşluk=spatial gap) ve günümüzde zamansal bir boşluk modeli (temporal gap=doughnut pattern) gösteren muhtemel 15 yer olduğunu göstermektedir. Helenik-Kıbrıs Yayı bölgesi boyunca 1900-1995 yılları arasında oluşmuş yıkıcı ve yüzey kırığı oluşturmuş depremlerin yer-zaman diyagramları Şekil 6'de verilmektedir. Helenik-Kıbrıs Yayınının diyagramının doğuda kalan kısmı boyunca batısına göre oldukça az depremin olduğu görülmektedir. Dolayısıyla, bu diyagramda belirgin bir farklılık dikkat çekmekte ve depremlerin olmadığı sağ tarafta sismik boşluk olarak yorumlanabilecek 3 yer gözlenmektedir (Şekil 6). Dolayısıyla, Helenik-Kıbrıs yayı boyunca 3 ve güneybatı Türkiye'de 1 olmak üzere farklı 4 yer sismik boşluk olarak değerlendirilmiştir. Bunlar;

- 1- Zafer Sismik Boşluğu [İskendurun Körfezi ile Zafer Burnu (Kıbrıs) arasında]
- 2- Antalya Sismik Boşluğu [Arnavut Burnu (Kıbrıs) ile Antalya Körfezi arasında]
- 3- Aksu segmenti [Antalya Körfezinin kuzey kısmı, Aksu bindirme fayı]
- 4- Gökova Segmenti [Gökova Körfezi boyunca]

Bu sismik boşluklardaki 1970-1995 ile 1900-1995 yılları arasındaki iki farklı dönemdeki sismik etkinliklerin zaman içerisindeki değişimleri, Şekil 7a,b ve 8a ve b'de gösterilmektedir.

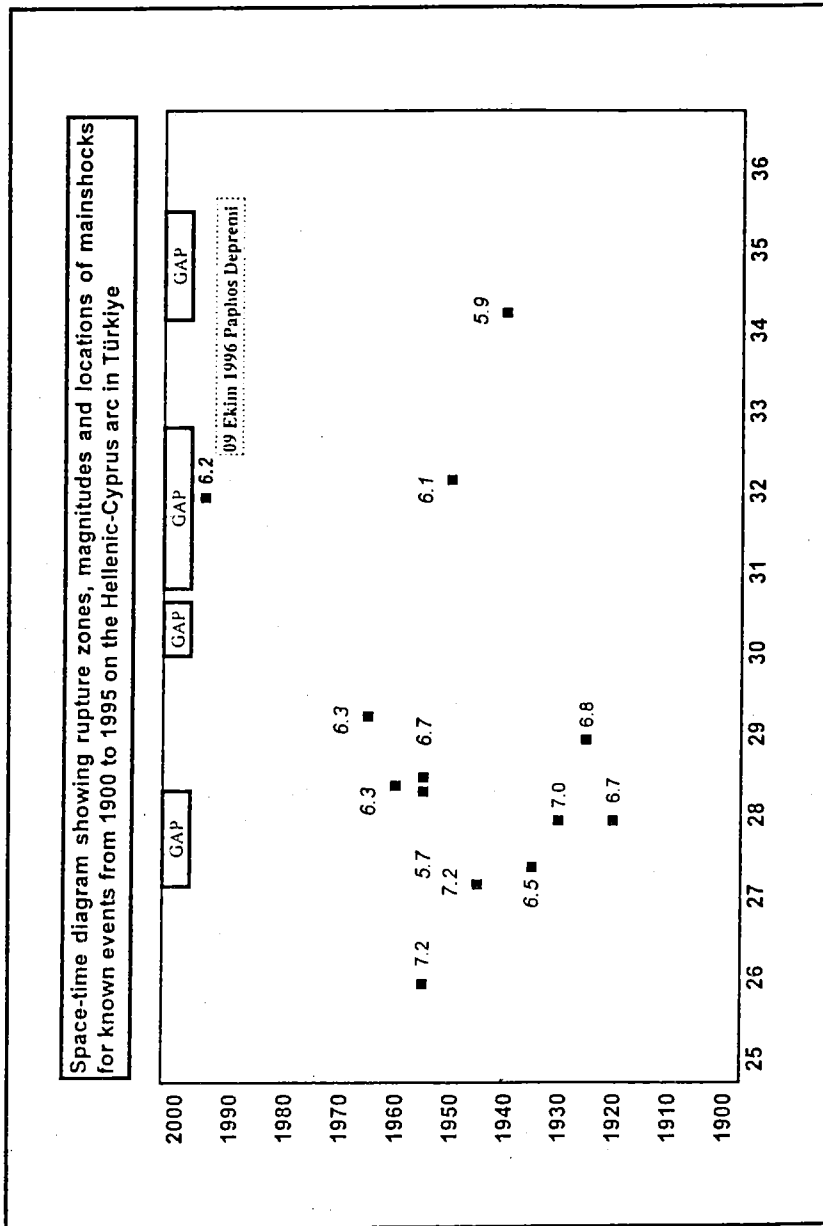
Antalya Körfezi ile Arnavut Burnu arasında yer alan sismik boşlukta ise, 1964'den bu yana magnitüdleri 4 ile 5 arasında olan oldukça yoğun bir deprem etkinliği gözlenmektedir ve bu boşluk boyunca bu zaman aralığı içerisinde toplam 111 deprem ($M_s \geq 4.0$) meydana gelmiştir (Şekil 7a).

Zafer sismik boşluğu boyunca, 1970-1995 yılları arasında $M_s \geq 4.0$ olan 18 deprem meydana gelmiştir. 1900-1995 yılları arasında bu boşluk üzerinde oldukça az bir sismik etkinlik görülmektedir. Yani, 1968-1982 yılları arasında suskun bir dönem, 1982-1988 arasında üç deprem, 1988-1994 yılları arasında tekrar suskun bir dönem ve 1994 yılından sonra artan bir sismik etkinlik olmuştur (Şekil 7b).

Gökova Körfezi boyunca muhtemel bir sismik boşluğun olup olmadığı tartışmalı olup, Cosadasında 1933 yılında $M_s = 6.5$ ve Muğla civarında 1941 yılında $M_s = 5.9$ olan iki deprem meydana gelmiştir (Şekil 4). 1970-Günümüz arasında $M_s = 4.0$ ile $M_s = 5.0$ arasında değişen 194 deprem meydana gelmiştir (Şekil 7c).

Aksu bindirme fayı boyunca, 1964-Günümüz aralığı içerisinde 53 deprem ($M_s \geq 4.0$) olmuştur. Bu boşlukta boyunca, 1967 yılından itibaren belirgin bir sismik etkinlik artışı gözlenmiştir (Şekil 7d). Son yüzyıl (1900-1995) içerisinde bu boşluk boyunca herhangi büyük bir deprem meydana gelmemiştir.

Zafer Burnu ve Antalya sismik boşluğunu içeren İçel-Kıbrıs-Antalya arasındaki bölümde, 76, 342, 343, 417, 534, 1144, 1183, 1222, 1491, 1543, 1567, 1718 ve 1735 yıllarında şiddetleri V ile X arasında değişen birkaç önemli büyük deprem meydana gelmiştir (Ergin vd. 1967).



Şekil 6. 1900-1995 yılları arasında Hellenik-Kıbrıs yayı boyunca hasar yapıcı ve yüzey kırığı oluşturmuş depremlerin yer-zaman diyagramı (Demirtaş ve Yılmaz, 1996)
 Figure 6. Time-space diagram showing rupture zones, magnitudes and locations of mainshocks for known events from 1900 to 1995 along the Hellenic-Cyprus arc (Demirtaş ve Yılmaz, 1996).

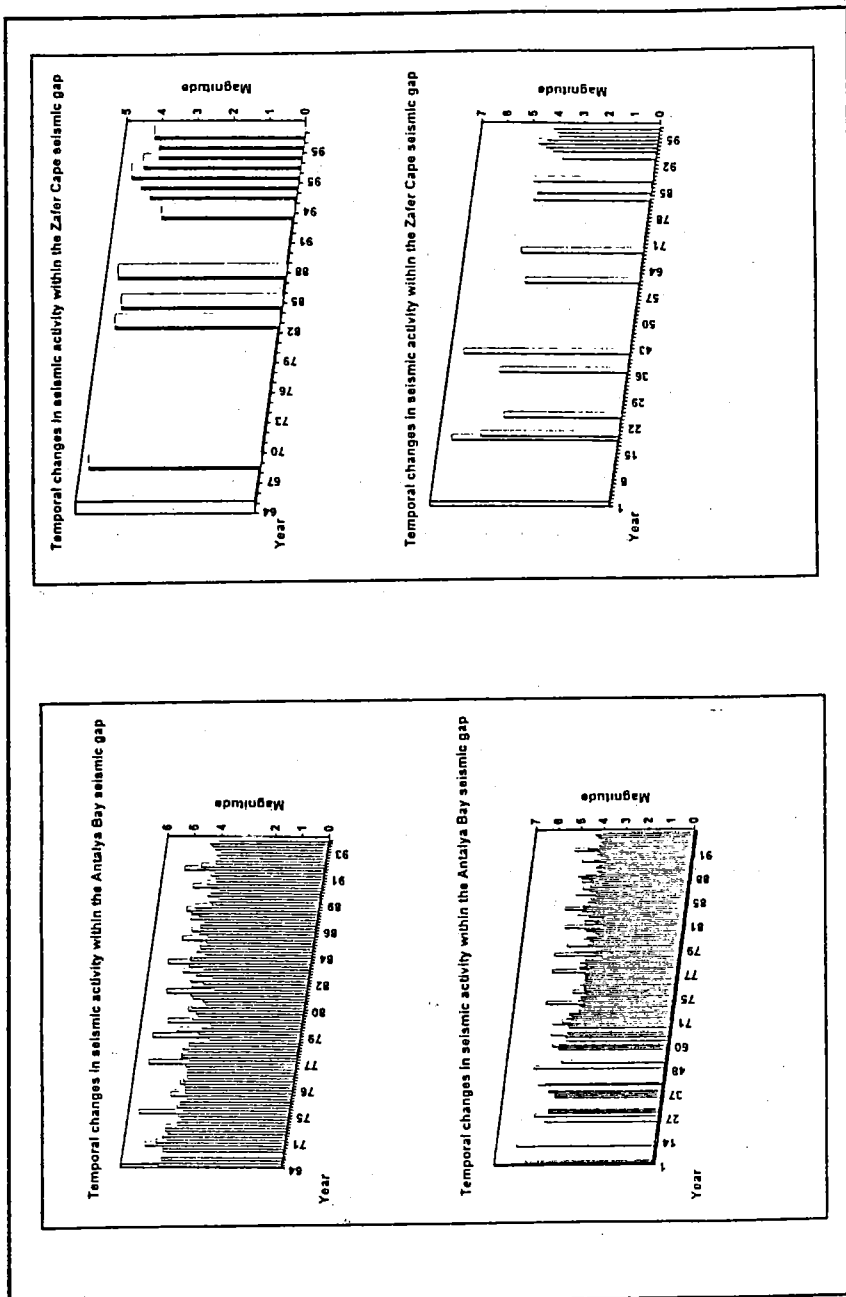
Gökova Köfezi sismik boşluğununda ise 1869 ve 1896 yıllarında VII ve VIII şiddetinde iki büyük deprem olmuştur (Şekil 5a)(Öcal 1968).

Türkiye'nin güneyinde uzanan Helenik-Kıbrıs yayı bölgesi içerisinde, 1989-1995 arasında meydana gelen $Ms \geq 4.0$ depremlerin episentr dağılım haritası Şekil 5b'de gösterilmektedir. Son yüzyıl içerisinde (1900-1995) çok sayıda yıkıcı depremlere maruz kalmış Plini ve Strabo fayları boyunca günümüzde de oldukça yoğun bir sismik etkinlik gözlenmektedir. Bununla birlikte, bu her iki fayın kuzeyinde yani Türkiye'nin güneybatısında ve Gökova Körfezi boyunca da belirgin bir sismik etkinlik görülmektedir. Diğer taraftan, son yüzyıl içerisinde (1900-1995) herhangi bir hasar yapıcı deprem olmuş olan Helenik-Kıbrıs yayının Antalya Körfezi ile Arnavut Burnu arasında kalan segmenti ile Aksu bindirme fayı boyunca önemli sayılabilecek bir sismik etkinlik artışı gözlenmektedir (Şekil 5b). Ancak, yayın İskenderun Körfezi ile Zafer Burnu arasında kalan segmenti, günümüzde oldukça suskun bir görünüm sunmaktadır (Şekil 5b). 1900-1995 yılları arasında herhangi bir büyük yıkıcı depreme maruz kalmaması ve günümüzde kümülatif olarak sismissite artıları göstermesi, Helenik-Kıbrıs yayının Antalya Körfezi ile İskenderun Körfezi arasında yer alan bölümü boyunca yüksek deprem oluşturma potansiyeline sahip olduğunu işaret etmektedir. Bu nedenle, bu sismik boşlukların yeteri derecede gözlem altında bulundurulması deprem tehlike belirleme ve zararlarının azaltılması açısından oldukça büyük önem taşımaktadır.

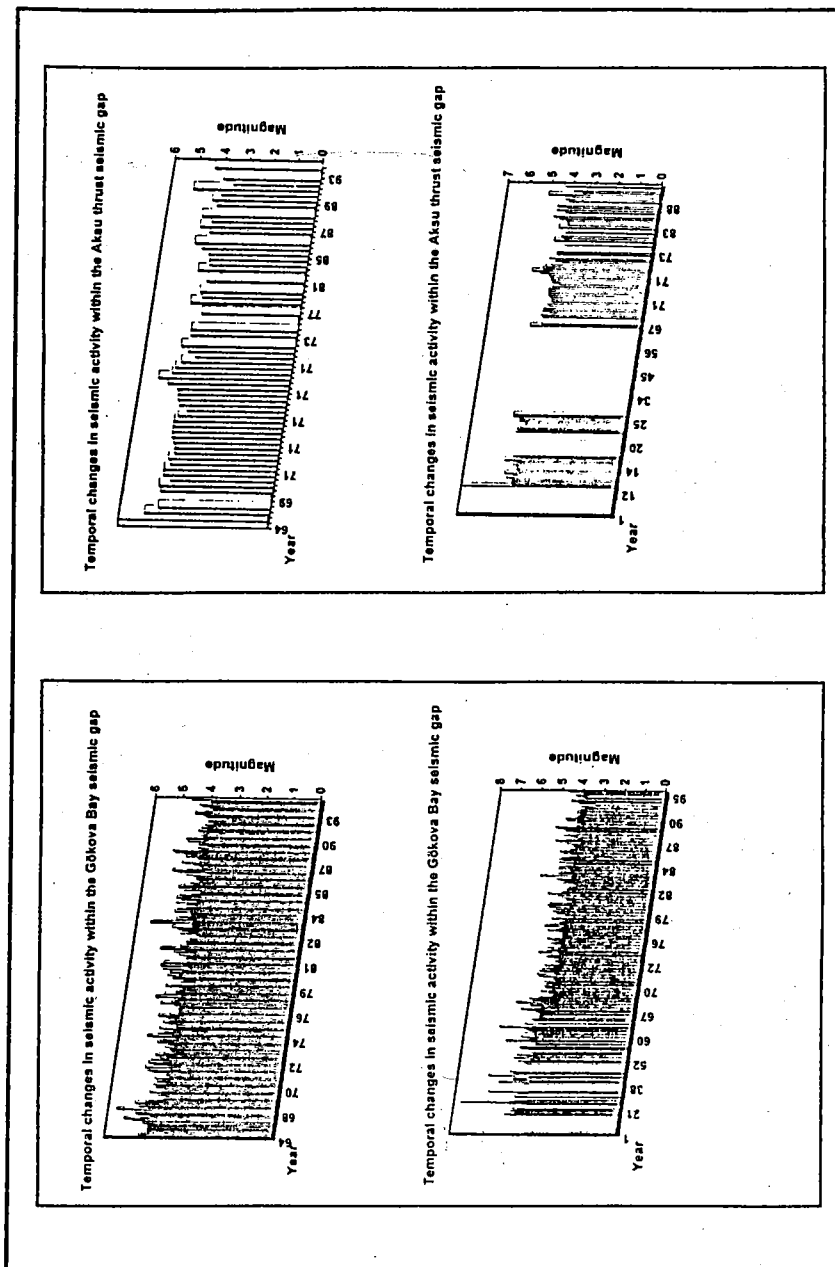
Dünyadaki diğer dalma-batma zonları boyunca, özellikle Pasifik plakası boyunca oluşmuş depremler incelediğinde, plakanın yıllık kayma hızına bağlı olarak depremlerin aynı segmentler üzerindeki tekrarlanma aralıklarının diğer doğrultu atımlı ve normal atımlı faylara göre oldukça kısa olduğu gözlenmiştir. Benzer özellikler, Afrika plakasının Avrasya plakasının altına daldığı Helenik-Kıbrıs Yayı boyunca geçmiş yüzyılda oluşmuş depremlerde gözlenmektedir.

Fay Mekanizması

Fay düzlemi çözümünde TURKNET tarafından kullanılan sekiz sismik istasyondan elde edilen P dalgasının ilk hareket yönleri kullanılmıştır. Bu düzlemin elde edilmesinde Suetsugu'nun FOCAL94 (1994) ılı odak mekanizması programı kullanılmıştır. 09 Ekim 1996 Paphos depreminin odak düzlemi çözümü aşağıdaki şekilde verilmektedir. Fayın doğrultusu hemen hemen doğu batı doğrultulu olup 83° KB'ya doğru eğimlidir (Şekil 8). Faya ters atımlı bir hareket hakim olup, Kıbrıs'ın hemen güneyinden geçen dalma-batma zonunun doğrultusu ile oldukça iyi bir uyumluluk göstermektedir.



Şekil 7. (a) Antalya Kürfezi, (b) Zafer Burnu (Kıbrıs) sislik boşlukları ve civarında 1970-1995 ve 1900-1995 yılları arasındaki iki farklı dönemdeki sislik etkinliklerin zaman içерisindeki değişimleri (Demirtaş ve Yılmaz, 1996)
Figure 7. Temporal changes in seismic activity within the seismic gaps of (a) Antalya Bay and (b) Zafer Cape (Cyprus) for the two periods of 1970-1995 and 1900-1995 (Demirtaş ve Yılmaz, 1996).



Şekil 7. (c) Gökova Körfezi, (d) Aksu sisimik boşlukları ve çevresinde 1970-1995 ve 1990-1995 yılları arasındaki iki farklı dönemdeki sisimik etkinliklerin zamanlı içerişindeki değişimleri (Demirtaş ve Yilmaz, 1996)

Figure 7. Temporal changes in seismic activity within the seismic gaps of (c) Gökova Bay and (d) Aksu for the two periods of 1970-1995 and 1990-1995 (Demirtaş ve Yilmaz, 1996).

09 EKİM 1996 PAPHOS DEPREMİ ODAK MEKANİZMASI ÇÖZÜMÜ

Yukarı
Aşağı

Doğrultu1 145

Eğim1 14

Kayma açısı1 148

Doğrultu2 266

Eğim2 83

Kayma açısı2 78

P-ekseni; dalı̄m= 37

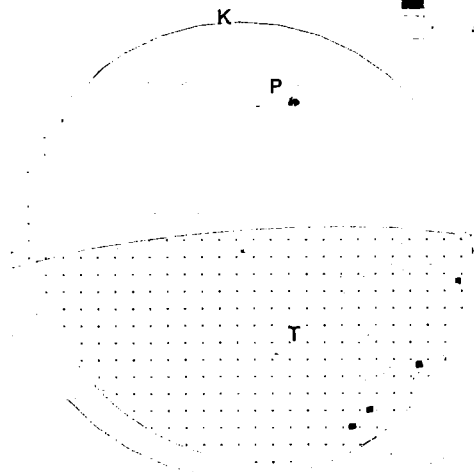
azimut= 7

T-ekseni; dalı̄m= 51

azimut= 163

Uyumlu veri: 6

Uyumsuz veri: 2



Şekil 8. 09 Ekim 1996 Paphos depremi ana şokunun odak düzlemini çözümü.

Figure 8. Fault plane solution of the main shock of the Paphos earthquake of the October 09, 1996.

Tartışma ve sonuçlar

09 Ekim 1996 Paphos depremi, 2000 yıl öncesinden bu yana mevcut tarihsel depremler ve güncel sismisite, Helenik-Kıbrıs yayınının Plini ve Strabo çukurlukları ile Levant sahilî arasında kalan bölümününümüzdeki yüzyıllar içerisinde sismik olarak oldukça aktif olacağına işaret etmektedir.

Depremin hemen Kıbrıs'ın güneyinde uzanan Kıbrıs yayı üzerinde meydana gelmesi, Afrika ile Anadolu plakaları arasındaki sınırların bu yay boyunca olduğunu desteklemektedir.

Diğer yandan odak mekanizması çözümü bu bölümün oblik olarak KD-GB yönünde sıkıştığını göstermektedir.

Değerlilen Belgeler

- Allen, C.R., 1968, The tectonic environments of seismically active and inactive areas along the San Andreas fault system.** Standford University, Publ., Geol. Sci. 11, 70-82.
- Ambraseys, N.N., 1970, Some characteristics features of the North Anatolian fault zone.** Tectonophysics, 9, 143-165.
- Ambraseys, N.N., 1988, Engineering Seismology. Earthquake Engineering and Structural Dynamics, vol. 17, p. 1-105, 1988.**
- Demirtaş, R., Yılmaz, R., 1993, 13 Mart 1992 Erzincan Depremi raporu, Bay. ve İsk. Bak. Afet İşleri Genel Müd., Deprem Arş.Dai.Bşk. yayını, Haziran 1993, Ankara.**
- Demirtaş, R., Yılmaz, R., Berchemer, H., and Baier, B., 1994, 13 Mart 1992 Erzincan Depremi yüzey kırıkları, artçı sarsıntıları ve 17 Ekim 1989 Loma Prieta depremi ile karşılaştırılması, TJK Bül., Sayı 9, 77-90.**
- Demirtaş, R., Karakısa, S., Yatman, A., Baran, B., Zünbül, S., Iravul, Y., Altın, N., ve Yılmaz R., 1996a, 1 Ekim 1995 Dinar depremi mekanizması, DAD Bül., sayı 74, yıl 23.**
- Demirtaş, R., Karakısa, S., and Yılmaz R., 1996b, Artçı depremler ile 1 Ekim 1995 Dinar deprem kırığının yorumlanması.** Süleyman Demirel Üniversitesi, Mühendislik-Mimarlık Fakültesi, IX Mühendislik Sempozyumu, Jeofizik Mühendisliği Bildirileri Kitabı, 29-31 Mayıs 1996, sayı 31-38.
- Demirtaş, R., Karakısa, S., and Yılmaz R., 1996c, The mechanism of The Dinar Earthquake, October 1, 1995, Bulletin of International Institute of Seismology and Earthquake Engineering, IISEE, BRI, Ministry of Construction, Tsukuba-Japan (In press)**
- Demirtaş, R., Yılmaz, R., 1996, Seismotectonic map of Türkiye showing $Ms \geq 4.0$ for 1900-1993 (ERD), International Symposium, Earthquake Research in Türkiye, State of Art, 30 October-5 September, Ankara-Türkiye.**
- Demirtaş, R., ve Yılmaz R., 1996, Türkiye'nin Sismotektoniği; Sismistedeki uzun süreli değişim ve Güncel sismisiteyi esas alarak deprem tahminine bir yaklaşım.** Bayındırılık ve İskan Bakanlığı, Afet İşleri Genel Müdürlüğü, Deprem Araştırma Dairesi Başkanlığı yayınları, s.91, Temmuz 1996, Ankara.
- Demirtaş, R., and Yılmaz R., 1996, Seismotectonics of Türkiye; Preliminary approach to earthquake forecasting based on long-term variations in seismic activity and present seismicity.** Publication of Earthquake Research Department, General Directorate of Disaster Affairs, the Ministry of Public Works and Settlement, Ankara, p. 95. June 1996.
- Demirtaş, R., 1997, 14 Ağustos 1996 Salhançayı Depremi (Çorum-Amasya); Deprem Araştırma Dairesi Bülteni, Sayı 75, Yıl 24, (Baskıda).**
- Dewey, J.F., Hempton, M.R., Kidd, W.S.F., Saroğlu, F., and Şengör, A.M.C., 1986, Shortening of continental lithosphere: the neotectonics of Eastern Anatolia- a young collision zone, in Collision Tectonics, M.P.Coward and A.C.Ries (eds.), Geological Society Special Pub. 19, pp. 3-36.**
- Dewey, J.F., Pitmann, W.C., Ryan, W.B.F., and Bonnin, J., 1973, Plate tectonics and the evolution of the Alpine system, G.S.A. Bull., 84, pp. 3137-3180.**
- Ergin, K., Güçlü, U., ve Uz, Z., 1967, Türkiye ve civarının deprem kataloğu, İTÜ.. Maden Fakültesi yayını.**
- Ergin, K., Güçlü, U., ve Aksøy, G., 1971, Türkiye ve dolaylarının deprem kataloğu, İTÜ.. Maden Fakültesi, Arz Fiziği Enstitüsü yayını.**
- Fedotov, S. A., (1965), Regularities of the distribution of strong earthquakes in Kamchatka, the Kurile Islands and northeast Japan. Tr. Ins. Fiz. Zemli, Akad. Nauk SSSR 36 (203), 66-93.**

- Inouye, U., (1965),** On the seismicity in the epicentral region and its neighbourhood before the Niigata earthquake. *Q. J. Seismol.* 29, 139-144.
- Jackson, J., and McKenzie, D., 1984,** Active tectonics of the Alpine-Himalayan Belt between western Turkey and Pakistan, *Geoph. J.R. astr. Soc.*, pp. 185-264.
- Ketin, İ., 1976,** San Andreas ve Kuzey Anadolu Fayları arasında bir karşılaştırma, *Türkiye Jeoloji Kuruu Bülteni*, 19, 149-154.
- Kempler, D., 1994,** **Tectonic patterns in the Easternmost Mediterranean**, Ph degree. Hebrew University of Jerusalem.
- Kempler, D., 1986,** The tectonic evolution of the Cyprean Arc, M.Sc. thesis, Tel Aviv University, 138 pp.
- McKenzie, D.P., 1970,** The plate tectonics of the Mediterranean region, *Nature*, 226, p. 239.
- McKenzie, D.P., 1972,** Active tectonics of the Mediterranean region, *Geoph., J.R.astr.Soc.*, 30, pp. 109-185.
- Mogi, K., 1979a,** Two kinds of seismic gaps. *Pure Appl. Geophys.* 117, 1172-1186.
- Mogi, K., 1985,** Earthquake Prediction. Academic Press.
- Omori, F., (1909),** Outline of the large Messina earthquake. *ToyoGakugei Zasshi* 26, 377-389, 435-445, 491-496.
- Öcal, N., (1968),** Türkiye'nin sismisitesi ve zelzele coğafyası. 1850-1960 yılları için zelzele kataloğu, Kandilli Rasathanesi Yayınları, No.8, İstanbul.
- Rotstein, Y., and Kafka, A.L., 1982,** Seismotectonics of the southern boundary of Anatolia, Eastern Mediterranean region: subduction, collision and arc jumping, *J.G.R.*, 87, B9, pp. 7694-7706.
- Savostin, L.A., Sibuet, J.C., Zonenshain, L.P, Le Pichon, X., and Roulet, M.J., 1986,** Kinematic evolution of the Tethys belt from the Atlantic ocean to the Pamirs since the Triassic. *Tectonophysics*, 123, pp. 1-35.
- Smith, A.G., 1971,** Alpine deformation and the oceanic areas of the Tethys, Mediterranean and Atlantic, *G.S.A. Bull.*, 82, pp. 2039-2070.
- Suetsugu, D., 1994,** Lecture notes of the Seismology Course, International Institute of Seismology and Earthquake Engineering, Building Research Institute, Ministry of Construction, Tsukuba, JAPAN.

BATI ANADOLU KIYILARININ TARİHSEL DÖNEM DEPREM ETKİNLİĞİ

X

Fatih M. ADATEPE

ÖZET

Batı Anadolu kıyılarının geçmişe ait tarihsel dönem deprem etkinliğinin belirlenmesi amacıyla, 36° - 40° N paraleller ile 26° - 28° E meridyenleri arasındaki bölge inceleme alanı olarak seçilmiştir.

Sınırları belirlenen bölgenin önce yapısal jeoloji özellikleri tartışılmış, daha sonra tarihsel dönem depremleri deprem kataloğuundan derlenmiştir. Çıkarılan depremlerin zaman ve uzay dağılım özelliklerini yansıtılmak için; dış merkez dağılım haritası düzenlenmiş ve gerekli tablolar hazırlanmıştır.

Böylece tarihsel dönem deprem etkinliğinin nitelik ve niceliği, yer ve zamana bağlı olarak inceleme olanağı bulunmaktadır.

ABSTRACT

A area lying in between latitudes 36° - 40° N and longitudes 26° - 28° E has been selected for determining historical eartquake activities of the past at the West Anatolian and its surroundings.

In the above mentioned region first historical data about pre-1900s have been compiled from eartquake catalogue. In order to reflect time and space distribution characteristics of historical eartquakes from the date of catalogue an epicentral distribution map has been compiled together with related tables.

Thus we found the possibility of tracing earthquake activities according to their quality and quantity depending on location and time.

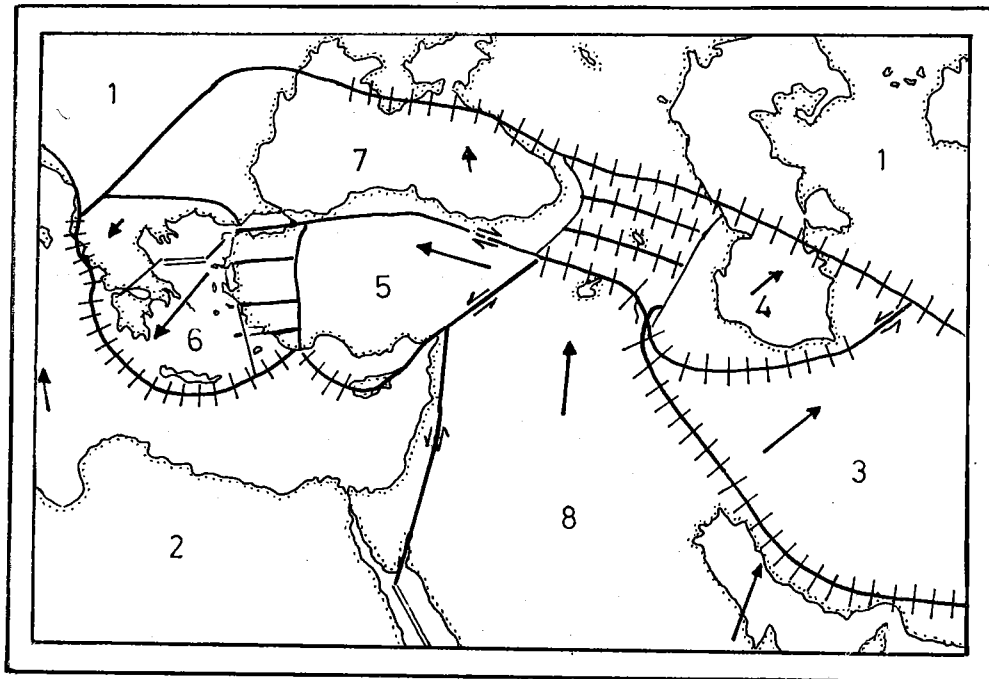
X İstanbul Üniversitesi, Deniz Bilimleri ve İşletmeciliği Enstitüsü,
Deniz Jeolojisi ve Jeofiziği Anabilim Dalı, Yrd.Doç.Dr.

1. GİRİŞ: BÖLGENİN YAPISAL JEOLOJİSİ VE BATİMETRİSİ

Bölgelerin yapışsal jeolojisi önce levha tektoniği açısından ele alındığında, bölgeye ait gerek yabancı, gerekse de Türk birçok araştırmacının çalışmalarının olduğu görülür (Mc Kenzie 1972, Tapponnier 1977, Dewey ve Şengör 1979, Şengör 1980, 1985a, 1985b, Le Pichon ve Angelier 1981, Bayraktar 1990).

Bunların hemen hemen hepsindeki ortak görüşe göre bölgenin bugünkü yapışsal konumunun başlangıcı, orta miyosen sonrasında Arapistan-Avrasya levhalarının çarşılıması sonrası oluşan Anadolu levhasının batıya hareketi ve Ege makaslama zonunun bu hareketi frenlemesi sonucu oluşmuştur. Bunun sonucunda bölgede genel bir doğu-batı yönlü sıkışma olmuş ve bu durum kuzey-güney yönlü açılma ile karşılanmaya çalışılmıştır.

Ayrıca bölge ile ilgili bir başka husus da; Afrika plakasının (Akdeniz plakasıyla birlikte) Ege-Anadolu levhası altına Girit adasının güneyinde belli bir açıyla dalması sonucu, bölgede bir dalma-batma zonu oluşturulmasıdır. Yine Ege levhası rijit bir blok olarak güney-batıya doğru hareket etmekte ve güney Ege ada-yayı bir trench durumu almaktadır. Sonuçta güney Yunanistan-Ege Denizi ve Batı Anadolu tansiyonel bir gerilme rejimi ile karakterize olmakta ve Egedeki gerilmeler yitme zonu ile sınırlanmış görülmektedir (Şekil 1).

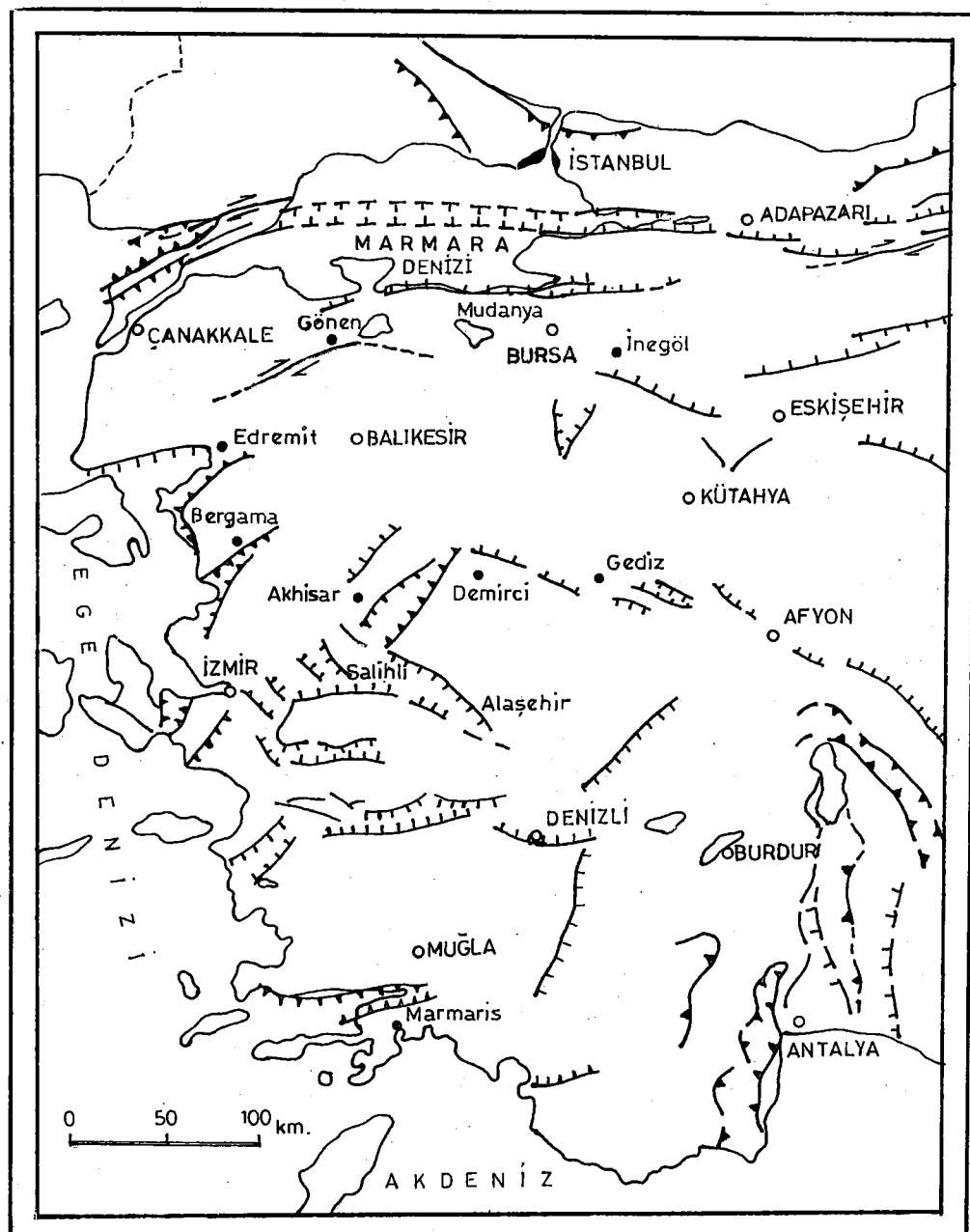


Bölgemin kısaca tanıtılan levha tektoniğinin yanında, yapısal jeolojinin karadaki görünümlerini de bilmek, sismolojik etkinliğin tektonikle ilgisi açısından önemlidir. Buna göre bu aşamada bölgede daha önce yapılan çalışmalarдан bazlarının kısaca özetleyerek sunulması uygun görülmüştür.

MTA (1973) paftasının açıklamasında; Ege Bölgesi ile ilgili olarak şu hususlar belirtilmiştir. Neojende meydana gelen E-W ve ESE-WNW yönlü kırıklar Menderes Kalkanı diye isimlendirilen bloğu değişik bloklara bölmüştür. Gerçekten Paleozoikten itibaren bölgenin en önemli tektonik olayı; riyid ve dirençli bu kalkanın genç paleojen ve neojen faylanmaları ile ilksel konumunu kaybetmiş olmasıdır.

Erinç ve diğ. 1984'de İnceleme Alanının genç faylarla yoğun bir şekilde parçalanmış olduğu belirtilerek, sahanın genel olarak bilindiğinden de daha yoğun biçimde faylandığı vurgulanmaktadır.

Ardos (1979)'da Menderes Masifinin, kuzeyde Bozdağ, güneyde Aydın Dağları ile çevrili olan kesiminde; kabaca E-W yönünde kırılmış olduğunu, masifin bazı yüzlerinin yükseltmiş, bazı kısımlarının da alçalmış bloklardan oluştuğu belirtmiştir. Böylece bu bölge faylı yapının tipik bir örneği olarak sunulmuştur. Aydın civarında fayların defalarca hareket geçirdiği, böylece basamaklı ve tali faylardan oluşan bir yapının ortaya çıktığı anlaşılmaktadır. Şekil 2'de Batı Anadolu'nun başlıca eğim atımlı fayları ile grabenleri Ketin 1983'den alınarak sunulmuştur.



Yine Ardos (1979)'a göre de bölgenin bugünkü reliefi üzerinde rol oynayan etkenlerin başında Neojen ve Kuvaterner tektoniği gelmektedir. Sıcak su kaynaklarının çokluğu, oluşum halindeki sıcak su travertenleri gibi unsurlar da bu hareketin devam ettiğinin göstergeleridir. Aynı zamanda bölgedeki peneplenlerin ve aşınım satıhlarının birincil durumlarını koruyamayarak oldukça deformé oldukları görülmüşdür. Bu deformasyonların daha çok dikey dislokasyonlar şeklinde ve fayların eşliğinde meydana geldiği görülmektedir. Bu durumun örnekleri İzmir ve yakın çevresinde (Buca, Cuma Ovası, Bornova civarı) görülür. Buna göre üst kretase ve gölsel Neojen-Pliyosen formasyonlarını kesen yüzeyin kabaca E-W yönlü birbirine paralel iki basamak fayı ile parçalanmış olduğu görülmektedir. Ardos (1979)'a göre yine Mesozoik formasyonlardan oluşmuş Manisa Dağı da, Neojen yaşlı bir peneplen tarafından kesilmiş ve daha sonra kuzey kısmı E-W yönlü bir fay ile parçalanarak çökmüştür. Bu bölge ile hemen, hemen benzer bulgulara Yalçınlar (1953-54)'de de rastlanmaktadır. Bu çalışmaya göre de Manisanın 7-8 km. doğusundaki fay dikliğinin varlığı, bölgede yer alan E-W ve N-S yönlü faylar ile havzanın yakın zamana kadar dislokasyonlara uğradığını göstermektedir.

Batimetri: Ege Denizi coğrafik açıdan Akdenizin bir parçası olarak görülürse de bölgenin jeolojik ve jeomorfolojik özellikleri daha önce de kısaca deşinildiği gibi farklılıklar gösterir. Girintili, çıkışlı kıyılar, çok sayıda irili ufaklı ada ve ada-yayı düzende dizilmiş olup, bu özellikleri jeolojik yapı ile sıkı, sıkıya bağlantılıdır.

Özellikle deniz tabanının görüntüsü Akdenizden farklıdır. Doğu Akdeniz az engebeli olmasına karşın Ege'de Girit adası civarında dip morfolojisi giderek sarlaşmaktadır. Girit'in güneyinde ve kuzeyinde yer yer 2500 m. derinliğe kadar ulaşan çukurluklar yer almaktadır. Bir

diğer önemli çukurluk ise Saroz körfezinden başlayarak batı-güneybatı yönünde uzanmakta ve Yunanistan'a kadar devam etmektedir. Ege Denizi'nin geri kalan kısmı da yine çok sayıda yayvan kapalı çukurluklar ve bunlar arasında yer alan yüksek düzülüklerden oluşmuştur. Bunlar yer yer adaları oluşturmaktadır. Sözü edilen çukurlardan Ege Denizi'nin Anadolu kıyılarına yakın olanları sıgdır. Su derinliği genellikle 200 m.yi aşmamaktadır. Derin olan çukurlar ise batı taraftadır. Bütün bu çukurların dik yamaçlı olması nedeniyle buraların eğim atımlı normal faylarla geliştiğini söylemek olanaklıdır.

Ülkemize oldukça yakın konumda olan Midilli ve Sakız adaları incelendiğinde de bu adalarla Türkiye'yi oluşturan platform arasında kalan çukurların 200 m.den daha sıç oldukları ve Türkiye'den ayrı bir sürüklenemeye uğramadıkları görülmektedir. Bu durumda bu adaların Türkiye üzerindeki çökme havzalarının devamı oldukları açıkça bellidir. Ayrıca kabuk kalınlığı ve niteliği ile ilgili çalışmalar incelendiğinde; Ege Denizi tabanında gerçek anlamda Okyanus türü kabuğun olmadığı veya olsa bile yaygın olmadığı ortaya konmuştur (Hisarlı, 1989).

2. DEPREM VERİLERİ VE ÖZELLİKLERİ

Bu çalışmada inceleme alanının tarihsel dönem depremleri "Türkiye ve Çevresinin Tarihsel Deprem Kataloğu" (Sosyal ve diğ. 1981)'den derlenmiş olup, söz konusu katalog M.Ö. 2100 ile M.S. 1900 yılları arası deprem verilerini içermektedir. Yararlanılan katalogda şiddet, MSK (Medvedev, Soponheuer, Karnik) skalarına göre değerlendirilmiştir. Depremlerin dış merkez koordinatları ise gözlenen maksimum hasara göredir. Belirlenen sınırlar içinde tarihsel dönemde olduğu saptanan 177 deprem derlenmiştir.

Inceleme bölgemizde olduğu saptanan depremler M.Ö. 412 yılı ile M.S. 1898 yılları arasındaki sürecin sismolojik etkinliğini yansıtmaktadır.

Sözü edilen katalogdan depremler, aşağıda belirtilen parametrelere göre saptanmış ve Tablo 1'de gösterilmiştir.

- **No:** Depremler çalışma sırasında kolay izlenebilmesi amacıyla tarih sırasına göre sıralanmıştır.

- **Tarih:** Depremlerin oluş tarihleri, belirlenebildikleri kadariyle yıl, yıl-ay veya gün-ay-yıl olarak verilmiştir.

- **Zaman:** Belirlenmişse saat-dakika veya sabah-akşam şeklinde gösterilmiştir.

- **Gözlemsel Olasılık Dış Merkez:** Enlem (N), Boylam (E) ile yer veya etkilenen alan olarak verilmiştir. Enlem ve boylamlar derece cinsinden gösterilmiştir.

- **Şiddet:** Tarihsel depremlerin dış merkezlerinin MSK-64 eşeline göre saptanan değerlerini göstermektedir.

- Veri Kalitesi (V.K.): Diğer kolondaki verilerin kaliteleriyle ilgili olup verilerin kalitelerine göre; 3 gruba ayrılmıştır, bunlar;

A: Yüksek güvenirlilikli (3'den fazla kaynakta bulunan depremler)

B: Orta güvenirlilikli (3 veya daha az kaynakta bulunan depremler)

C: En az güvenirlilikli (Tek bir kaynakta bulunan depremler)

- Açıklama: Verilerle ilgili açıklamaların olduğu bilgileri içerir.

TABLO 1: İnceleme Alanının Tarihsel Dönem Depremleri

No	Tarih	Zaman	GÖZLEMESEL OLASIL DISMERKEZ			Şiddet	V.K.	Açıklama
			Enlem (N)	Boylam (E)	Etkilenen Alan			
1	M.Ö. 412	-	36.50	27.00	İstanköy'ün Güneybatısı	VIII	B	-
2	M.Ö. 303	-	36.30	28.00	Rodos	V	C	-
3	M.Ö. 222	-	36.50	28.00	Rodos, Kıbrıs, Korint	X	B	Tsunami
4	M.Ö. 197	-	36.00	28.00	Rodos	VIII	B	-
5	M.Ö. 185	-	36.00	28.00	Rodos, Kıbrıs ve Bazı Anadolu Şehirleri	IX	B	-
6	M.Ö. 31	-	37.85	27.85	Aydın	VIII	C	-
7	M.Ö. 26	-	37.85	27.85	Aydın, Efes, Nazilli	LX	B	-
8	M.Ö. 5	-	37.00	27.00	İstanköy ve Rodos	VIII	B	-
9	11	-	37.80	27.80	Aydın	VIII	B	-
10	17	Aksam	38.40	27.50	Manisa, Sart, Muradiye, Aydin	IX	A	Batı Anadoluda Efesle birlikte 13 il tamamen yıkıldı.
11	44	-	38.50	27.40	Manisa	VIII	B	-
12	105	-	38.90	27.00	Çandarlı krf. kıysındaki tüm kentler	IX	B	Yunanistan Upunte ve Onte illeri yıkıldı.
13	110	-	37.00	26.00	Sıklatlar, İzmir, Efes	IX	B	-
14	13,12,115	-	36.00	28.00	Rodos	VIII	B	-
15	138	-	36.30	28.00	Rodos ve İstanköy Adaları	VIII	A	-
16	155	-	36.30	28.00	Rodos, Muğla, Fethiye	X	B	-
17	160	-	38.41	27.20	İzmir	VI	B	-
18	165	-	38.41	27.20	İzmir	VIII	B	-
19	177	-	38.40	27.10	İzmir, Milet, Sakız, Sisam	X	A	-
20	190	-	38.70	26.75	Foca	VI	B	-
21	253	-	39.10	27.15	Bergama ve Yöresi	IX	B	-
22	336	-	36.00	28.00	Rodos	VIII	C	-
23	11,04,344	-	36.00	28.00	Rodos	VIII	B	-
24	505	-	36.30	28.00	Rodos	VIII	B	-
25	515	-	36.30	28.00	Rodos	VII	C	-

26	516	-	36.30	28.00	Rodos	VII	C	-
27	520	-	36.30	28.00	Rodos	VI	C	-
28	688	-	38.40	27.00	İzmir	LX	B	-
29	02.02.1040	-	38.40	27.15	İzmir	VII	B	-
30	1056	-	38.40	27.15	İzmir ve geniş yöresi	VIII	C	-
31	08.08.1304	-	36.50	27.50	Rodos, Girit, Kıbrıs	X	B	-
32	20.03.1389	-	38.40	26.30	İzmir ve Sakız Adası	IX	B	Tsunami
33	15.03.1481	-	36.00	28.00	Rodos, Güneybatı Anadolu, Girit	VIII	B	-
34	03.10.1481	-	36.00	28.00	Rodos, Güneybatı Anadolu Girit	LX	A	Tsunami
35	18.10.1483	-	36.25	27.50	İstanköy, Kalimnos, Leros	VIII	B	-
36	18.08.1493	-	36.75	27.00	İstanköy Adası	IX	A	-
37	05.01.1495	-	37.00	27.00	Kalimnos ve Leros Adaları	VI	C	-
38	.09.1592	-	38.50	27.90	Turgutlu, Salihli-Manisa	VIII	C	10 km. uzun. faylanma
39	1635	-	36.30	28.00	Rodos	VII	B	-
40	1639	-	38.40	27.20	İzmir	VI	C	-
41	1644	-	38.40	27.20	İzmir	VII	C	-
42	22.05.1654	-	38.40	27.20	İzmir	VI	B	-
43	1660	-	36.20	28.00	Rodos	VII	B	-
44	1664	-	38.41	27.20	İzmir	VII	C	-
45	.11.1667	-	38.40	27.20	İzmir	VIII	B	-
46	.04.1672	-	40.00	26.00	Bozcaada Kuzeyi-Ege Dz.	VIII	C	Tsunami
47	09.09.1685	-	38.40	27.15	İzmir	VI	B	-
48	18.12.1687	-	38.40	27.20	İzmir	VI	B	-
49	05.06.1688	-	38.40	27.20	İzmir	V	C	-
50	10.07.1688	11.00	38.40	27.20	İzmir	X	A	15-20 bin ölü, Tsunami
51	10.09.1688	-	39.15	26.50	Midilli, Sakız, Santorin	VIII	A	-
52	13.01.1690	-	38.40	27.20	İzmir	VI	B	-
53	.03.1719	-	38.50	27.00	İzmir	VIII	C	-
54	07.06.1751	-	37.75	27.00	Sisam Adası-Ege Dz.	X	C	-

55	.07.1754	-	38.40	27.15	Izmir	VII	B	-
56	13.01.1763	-	38.40	27.15	Izmir	VII	C	-
57	05.09.1766	-	38.41	27.20	Izmir	VI	C	-
58	08.08.1771	-	38.40	27.20	Izmir	VI	C	-
59	16.06.1776	-	38.40	27.20	Izmir	VIII	B	-
60	16.06.1778	18.00	38.40	27.20	Izmir	VI	C	-
61	03.07.1778	02.30	38.40	27.00	Izmir	VIII	A	-
62	01.10.1778	12.45	38.40	27.20	Izmir	VIII	B	-
63	26.04.1785	-	38.40	27.15	Izmir	VI	B	-
64	30.01.1786	-	38.40	27.15	Izmir	VI	B	-
65	1809	-	38.25	26.25	Sakız Adası-Ege Dz.	VII	C	-
66	1817	-	37.75	27.00	Sisam Adası-Ege Dz.	VII	C	-
67	31.10.1817	-	38.40	27.20	Izmir	VI	C	-
68	17.03.1820	-	38.40	26.10	Sakız Adası-Ege Dz.	VII	A	-
69	07.01.1825	-	38.40	27.20	Izmir	VI	C	-
70	08.02.1826	20.30	39.50	28.00	Balıkesir	VIII	B	Ist. ve Izmirde de duyuldu.
71	12.05.1826	-	39.10	26.50	Midilli, Izmir	VI	B	-
72	15.06.1828	05.00	38.40	27.20	Izmir	VII	A	-
73	23.02.1829	-	38.40	27.20	Izmir	V	C	-
74	03.04.1831	-	37.75	27.00	Sisam Adası-Ege Dz.	VIII	A	-
75	08.08.1836	-	38.40	27.15	Izmir	V	C	-
76	29.10.1839	-	38.40	27.15	Izmir	VI	C	-
77	23.02.1840	-	38.40	27.15	Izmir	VI	C	-
78	27.11.1841	-	38.40	27.20	Izmir	VII	C	-
79	15.10.1842	-	38.40	27.20	Izmir	V	C	-
80	06.10.1843	-	36.90	27.25	Istanbul Ad.-Ege Dz.	VI	C	-
81	18.10.1843	-	36.25	27.50	Khalki ve Rodos Adaları Ege Denizi	IX	A	6000 ölü
82	09.02.1845	-	39.25	26.50	Midilli Adası	V	C	-
83	23.06.1845	-	38.60	27.50	Manisa ve Yöresi, Izmir	VIII	B	-

84	09.10.1845	-	39.30	26.30	Midilli Adası	VII	B	-
85	12.10.1845	-	39.10	26.20	Midilli Adası	X	A	-
86	01.12.1845	-	39.10	26.50	Midilli Adası, Sakız Adası Karaburun-İzmir	VIII	C	-
87	11.03.1846	-	38.50	26.50	Karaburun-İzmir, Midilli ve Sisam Adaları	VI	C	-
88	13.06.1846	-	37.75	27.00	Sisam Adası-Ege D.	VIII	C	-
89	21.06.1846	-	37.75	27.00	Sisam Adası, Söke Yöresi	IX	A	-
90	29.06.1847	-	37.85	27.80	Aydın, Tire	VI	B	-
91	27.10.1848	-	37.84	27.80	Aydın	V	C	-
92	03.04.1850	03.10	38.40	27.45	İzmir, Kemalpaşa, Turgutlu	VIII	A	-
93	07.07.1850	06.30	37.80	27.80	Aydın	VI	B	-
94	13.10.1850	09.23	38.40	27.20	İzmir, Manisa, Turgutlu, Ödemiş	VIII	A	-
95	18.12.1855	01.20	38.40	27.20	İzmir	VII	B	-
96	12.10.1856	00.45	36.25	28.00	Rodos, Karpatos, Kasos, Girit	X	A	Tsunami
97	13.11.1856	-	38.25	26.25	Rodos Ad. - Ege Dz.	IX	C	-
98	12.02.1857	03.00	38.40	27.20	İzmir	VII	B	-
99	16.06.1858	06.50	38.90	27.80	Akhisar, Manisa, İzmir	VI	B	-
100	20.09.1859	-	38.50	26.00	Sakız Adası, Ege Dz.	VI	C	-
101	03.11.1862	03.00	38.40	27.70	Turgutlu-Manisa	IX	A	-
102	22.04.1863	20.30	36.50	28.00	Rodos Adası ve Geniş Yöresi	IX	A	-
103	16.08.1863	-	38.25	26.10	Sakız Adası, Ege Dz.	VIII	B	30000 kişi evsiz kaldı. İki yeni sıcak su kaynağı oluştı.
104	23.02.1865	-	39.30	26.20	Midilli Ad., Çanakkale	VIII	A	80 ölü
105	23.07.1865	21.30	39.40	26.20	Midilli Ad., Çanakkale, Gelibolu	IX	A	İstanbul'da da duyuldu.
106	11.01.1866	-	36.20	28.00	Rodos	VIII	B	-
107	13.01.1866	-	38.25	26.20	Sakız Ad. Gelibolu, Bursa, Edirne	VII	B	-
108	19.01.1866	-	38.25	26.20	Sakız Ad.-Ege Dz.	VII	B	-
109	02.02.1866	-	38.25	26.25	Sakız Adası - Ege Dz.	VIII	B	-

110	25.04.1866	-	38.40	27.20	İzmir, Selçuk	VI	B	-
111	07.03.1867	06.00	39.10	26.50	Midilli ve geniş yörensi	IX	A	500'den fazla ölü
112	10.03.1867	09.00	39.30	26.20	Midilli Ad.-Ege Dz.	VII	B	-
113	11.04.1867	-	39.30	26.50	Midilli Ad., Edremit, Ayvalık	VII	B	-
114	22.07.1867	03.00	39.30	26.20	Midilli Ad., İzmir	VII'	A	-
115	20.04.1868	-	36.00	28.00	Rodos Ad.	VIII	B	-
116	23.04.1868	-	39.30	26.40	Midilli Ad., Çanakkale	VI	B	-
117	03.05.1868	-	37.75	27.00	Sisam Ad., Ege Dz.	VII	B	-
118	18.04.1869	04.00	36.60	27.80	Sömbekr, Rodos ve Kalimnos Ad. Ege Denizi	VIII	A	-
119	01.12.1869	18.00	36.80	27.90	Kerme Körf. Çevresi, Marmaris, Ula, Murla	VIII	A	-
120	11.07.1870	02.40	38.40	27.15	İzmir	VIII	B	-
121	11.07.1870	03.30	39.25	26.50	Midilli Ad.	VI	B	-
122	10.08.1870	11.10	39.90	27.30	Balıkesir, Çanakkale	VII	B	-
123	08.10.1871	11.10	38.40	26.10	Sakız Ad.-Ege Dz.	VIII	A	-
124	26.02.1872	-	37.80	26.80	Sisam Ad.-Ege Dz.	VI	B	-
125	06.03.1872	-	37.80	26.80	Sisam Ad.-Ege Dz.	VII	B	-
126	07.04.1872	03.00	37.70	26.90	Sisam Ad.-Ege Dz.	VI	C	-
127	01.02.1873	01.00	37.75	27.00	Sisam Ad. Ege Dz. ve İzmir Aydın	IX	B	-
128	02.06.1873	-	36.50	27.20	Nisiros Ad., Ege Dz.	VII	B	-
129	28.06.1874	-	37.80	26.80	Sisam Ad., Ege Dz.	VII	B	-
130	05.07.1874	-	39.20	26.30	Midilli Ad., Ege Dz.	VII	A	-
131	16.11.1874	06.00	38.40	27.20	İzmir, Rodos Ad.	VIII	B	-
132	18.11.1874	05.00	39.10	26.90	Dikili-İzmir ve Midilli Ad.	VII	A	-
133	11.05.1875	05.00	38.40	27.20	İzmir	VII	B	Rodosta da duyuldu.
134	07.07.1875	-	37.75	26.90	Sisam Ad., Ege Dz.	VIII	A	150 ev tahrip oldu.
135	17.07.1875	-	37.75	26.90	Sisam Ad., Ege Dz.	VI	C	-
136	31.08.1875	-	37.80	26.80	Sisam Ad., Ege Dz.	VI	B	-
137	01.11.1875	-	38.60	26.50	Karaburun ve Mordogan-İzmir	VII	A	-

138	05.11.1875	09.45	38.60	26.00	Sakız Ad., Ege Dz. ve Karaburun-İzmir	VI	B	-
139	01.01.1876	-	37.70	26.80	Sisam Ad., Ege Dz.	VI	B	-
140	09.04.1878	-	37.85	27.85	Aydın, İzmir	VI	B	-
141	22.07.1880	-	38.10	27.80	Tire yoresi, İzmir	VIII	A	-
142	29.07.1880	04.40	38.60	27.10	Menemen ve Emiralem-İzmir	IX	A	10 km.den büyük faylanna, pek çok ölü.
143	3.12.1880	-	39.20	26.50	Midilli Ad., Ege Dz.	V	B	-
144	03.04.1881	11.30	38.25	26.10	Sakız Ad., Ege Dz. Çeşme-İzmir-Aydın	X	A	Sig deprem
145	21.03.1882	-	38.40	26.10	Sakız Ad., Ege Dz.	VII	B	-
146	08.04.1883	-	37.70	26.80	Sisam Ad., Ege Dz.	V	C	-
147	15.10.1883	15.30	38.30	26.30	Çeşme Y.ad., Sakız Ad.-Ege Dz.	IX	A	15000 ölü
148	01.11.1883	-	38.30	26.30	Çeşme Y.ad. ve yoresi	VIII	A	-
149	23.01.1884	-	39.80	26.30	Ezine-Çanakkale	VI	A	-
150	28.02.1884	-	38.40	27.00	Urla ve İzmir	VI	B	-
151	.10.1884	-	38.40	27.20	İzmir ve Çeşme	VII	B	-
152	04.12.1884	-	38.40	27.20	İzmir	VI	B	-
153	29.02.1885	18.30	37.20	27.20	Messene, Kalamai-Yunanistan	IX	B	-
154	04.09.1886	-	39.25	26.50	Midilli Ad., Ege Dz.	VII	B	İzmirde de duyuldu.
155	27.11.1886	08.05	38.25	26.10	Sakız Ad., Ege Dz. ve İzmir Çeşme-Aydın	VII	B	-
156	11.12.1886	-	38.40	26.10	Sakız Ad., Ege Dz. ve İzmir	VIII	B	-
157	17.07.1887	07.45	36.00	26.00	Rodos ve Girit Adaları, Ege Dz., Güneybatı Anadolu	VIII	A	-
158	15.03.1888	-	38.40	26.10	Sakız Ad., Ege Dz.	VI	B	-
159	.05.1888	-	38.40	26.10	Sakız Ad., Ege Dz. ve Çeşme Urla, Karaburun-İzmir	VIII	A	-
160	.10.1888	-	38.20	28.00	İzmir, Aydın, Ödemiş-İzmir	VII	A	-
161	25.10.1889	23.20	39.30	26.30	Midilli Ad., İzmir, Sakız Ad. Çanakkale, Tekirdağ	IX	A	Mugla ve İstanbulda da duyuldu.
162	03.11.1889	-	39.30	26.30	Midilli Ad., Ege D.	VIII	C	230 ölü.
163	09.03.1890	-	36.80	27.25	İstanköy Ad. Ege D.	VII	B	-

164	25.04.1890	-	39.30	26.30	Midilli Ad., Ege D.	VI	B	-
165	14.12.1890	16.30	37.85	27.30	Selçuk, Kuşadası-İzmir	VIII	A	Sisam Adasında da kuvvetlice görüldü. 150-200 ev hasar gördü.
166	26.03.1891	-	38.40	26.10	Sakız Ad. ve Çevre Adalar Ege Denizi	VI	B	-
167	07.04.1891	-	38.40	26.10	Sakız Ad. ve Çevre Adalar Ege Denizi	IV	B	-
168	27.12.1892	18.30	37.75	27.00	Sakız Ad. Ege D.	VII	A	Deprem kümesi başlangıcı
169	12.03.1893	16.00	37.75	27.00	Sakız Ad., Ege D.	VII	B	-
170	19.08.1895	-	37.80	27.80	Aydın ve yöresi	LX	A	-
171	14.11.1895	-	39.10	27.10	Bergama-İzmir	VIII	A	-
172	1895	-	38.60	27.10	Menemen-İzmir	VIII	B	-
173	27.10.1896	-	36.50	28.00	Rodos Ad. ve Bodrum, Marmaris Köyceğiz-Muğla	VIII	A	-
174	11.11.1896	-	37.80	27.80	Aydın	V	B	-
175	12.1897	-	39.60	27.90	Balıkesir ve yöresi	VIII	A	-
176	.02.1898	-	37.90	28.00	Aydın ve Köşk-Aydın	VI	B	-
177	28.02.1898	-	39.60	27.90	Balıkesir	VIII	A	-

Verilerin Özellikleri

Daha önceki bölümde ayrıntısıyla verilen katalogdan saptanan deprem verilerinin hangi güvenilirlik sınıflarında olduğu Tablo 2'de gösterilmiştir.

Tablo 2: İnceleme Bölgesi'nin Deprem Verilerinin Güvenilirlik Dereceleri

Güvenilirlik Sınıfı	Adet	Genel Toplama Göre %
A	44	24.9
B	91	51.4
C	42	23.7
TOPLAM	177	100.0

Tablodan A ve B güvenilirlik sınıfının, depremlerin % 75'ine karşılık geldiği görülmektedir.

Derlenen 177 deprem verisinden 96 tanesinin oluş tarihi; gün/ay/yıl ayrıntısıyla, 11'i ay ve yıl bilgileriyle geriye kalan 70 tanesi ise sadece yılıyla birlikte sunulmuştur. Zamanı gösteren sütunda ise 41 deprem saat ve dakikasıyla verilmiş olup, bir depremin ise oluş saati Akşam olarak belirtilmiştir.

Deprem verilerinin şiddetlerine göre sayısal dağılımları da Tablo 3'de gösterilmiştir.

Tablo 3: İnceleme Bölgesinin Deprem Verilerinin Şiddetlerine
Göre Oluşum Sayıları

Şiddet (I_0)	V	VI	VII	VIII	IX	X	Toplam
Oluşum Sayısı	11	42	54	38	23	9	177

Tablo incelendiğinde küçük şiddet skalasındaki depremlerin (V, VI)ının sayısının büyükler'e göre daha az olduğu dikkati çekmektedir. Bu durumun küçük depremlerin kaydına gösterilen ilgiliinin azlığı ile açıklanır. Şüphesiz bazı depremler de alt ve üst gruplara konulmuş olabilir. Bu durum sonuçlarda ayrıca tartışılmaktadır.

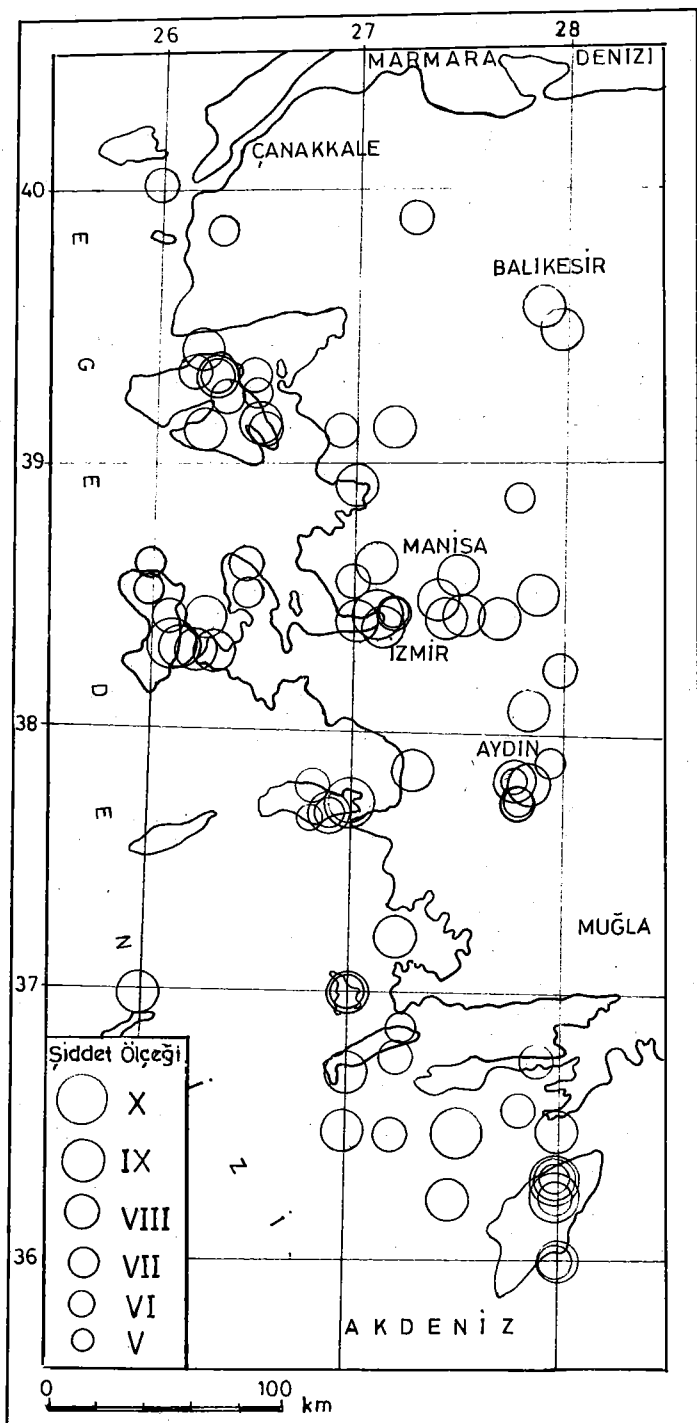
3. DEPREM VERİLERİNİN UZAY (MEKAN) DAĞILIM ÖZELLİKLERİ VE DEĞERLENDİRİLMESİ

Çalışmanın bu aşamasında katalogdan derlenen depremler şiddetlerine göre farklı büyüklükte daireler seçilerek enlem-boylama göre işaretlenmiştir (Şekil 3).

Şekilden de kolayca izlenebileceği gibi gözlemsel dışmerkezler, çok düzenli bir görünümde değildir. Buna karşılık bazı yörelerde ufak kümeleşmeler görülmektedir. İnceleme bögümüz sınırları içinde depremlerin kümeleşme gösterdiği yereler Tablo 4'de oluşum sayıları ile birlikte gösterilmiştir.

Tablo 4: Tarihsel Dönem Depremlerinin Kümeleşme Gösterdikleri Yerlerin ve Bunları Sayıları ile % Oranları

Sıra No	Kümeleşmenin Olduğu Yere Adı	Deprem Sayısı	Genel Toplama Göre %
1	İzmir ve Çivarı	49	27.6
2	Rodos Adası	26	14.7
3	Sakız Adası	22	12.4
4	Midilli Adası	20	11.3
5	Sisam Adası	18	10.2
6	Aydın ve Çivarı	10	5.6
7	İstanköy ve Çivarı	7	4.0
8	Manisa ve Çivarı	7	4.0
	Sacık	18	10.2
	Toplam	177	100.0



İnceleme Alanının depremlerinin % 90'ının Tablo 4'de görüldüğü gibi 8 yörede kümelentiği saptanmıştır.

Çalışılan sahada büyük hasar yaratan ve binlerce kişinin ölümüyle sonuçlanan depremlerinin çoğunun İzmir, Rodos ve Midilli'de meydana gelmiş olduğu görülmektedir.

Buna göre X şiddetli depremlerin 4 tanesi Rodos'da, 2 tanesi İzmir civarında, diğerleri ise Sisam, Midilli ve Sakız adalarında tespit edilmiştir. Sözü edilen sahada özellikle bazı depremlerin sonucu önemli görülmektedir. Buna göre 50, 81, 103, 111, 142 ve 162 no.lu depremlerin sonucunda binlerce kişi hayatını kaybetmiştir. Ayrıca IX şiddetli iki depremden 10 ve 12 no.lu olanlarının sonucunda da Batı Anadolu'da Efes'de dahil olmak üzere 13 il ile Yunanistanda bazı iller yıkılmıştır. Yine 134 ve 165 no.lu Sisam Adasında meydana gelen her iki depremde 150'ye yakın evin yıkılmasına neden olmuştur.

Katalogdan derlenen depremler incelendiğinde Araştırma sahası içerisinde bazı önemli Tsunamilerin de varlığı görülmektedir. Buna göre belirlenen 6 Tsunamiden; 3 tanesi (3, 34, 96) Rodos Adasında, 2 tanesi (32, 50) İzmir civarında ve 1 tanesi (46) ise Bozcaada kuzeyindedir. Bunlardan son belirtilen hariç, diğerleri IX ve X şiddetli depremlere bağlı olarak meydana gelmişlerdir. Bu Tsunamilerin en önemlisi (50 no.lu) 1688 yılında meydana gelmiş olup, İzmir ve civarında depremin karadaki etkisiyle birlikte 15-20 bin kişinin ölümüne neden olmuştur.

4. SONUÇLAR

1. Tarihsel dönem deprem verilerinin şiddetlerine göre sayısal dağılımlarının sonuçları, ilk bakışta beklenenden farklı bir görünüm vermektedir. Buna göre büyük şiddetteki deprem oluşum sayılarındaki fazlalık dikkat çekicidir. Bu durumun küçük depremlere olan ilgisizliğin nedeni olabileceği gibi, söz konusu depremlerin daha büyük deprem şiddet derecelerine konulmuş olmasıyla da açıklanabilir. Benzer sonuçlar aynı tür bir çalışmayı Kuzey Anadolu Fay Zonuna uygulayan Sipahioğlu, 1982 ile Sipahioğlu ve Gündoğdu 1982'de de vurgulanmıştır.

2. Değerlendirmede önemli görülen konulardan biri Rodos-Sakız-Midilli ve Sisam adalarındaki deprem etkinliğinin belirlenmesiyle ilgilidir. Bu durum sözü edilen adaların, morfolojik karakterlerinin yanında levha sınırlarıyla olan ilgileriyle de önem taşımaktadır.

3. Ayrıca gerek dışmerkez dağılım haritası, gerekse de ilgili tablolar incelendiğinde; en önemli sismik etkinliğin gözktüğü İzmir merkezi ile yakın çevresi, Aydın ve Manisa yöreleri, çalışılan tarihsel süreç içinde oldukça fazla depreme sahne olmuş görülmektedir. Şüphesiz bu durum ilgili bölümde ayrıntısıyla verilen fayların, aktifliğini göstermesi açısından önemlidir.

4. Ayrıca yukarıda belirtilen durumun İzmir'in büyük yerleşim yeri olması nedeniyle komşu bölgelerde olan depremlerin de İzmir'e ait olarak gösterilmesi sonucu ortaya çıkmış olabilir. Özette denilebilir ki büyük yerleşim yeri özelliği gösteren bölgelerin deprem sayılarını, derlenen deprem sayılarından daha az olması da olasıdır.

5. Yukarıdaki maddeyle ilgili olarak denilebilir ki hiç şüphesiz Tarihsel Dönem deprem verileri, sadece doğrudan

sismik rejimlerle ilgili değildir. Bu verilerin sayısı ayrıca yörelerin nüfus-yerleşim-kültür değerleriyle de ilgilidir.

6. Tarihsel dönem depremlerinin belirlenmesindeki koşullar dikkate alınırsa, bu verilerle daha sağlıklı sonuçlara ulaşılamaması son derece normaldir. Buna karşılık inceleme alanının deprem etkinliğine ilk yaklaşım sağlama ve istatistik çalışmalarda da kullanılma zorunluluğu açısından bu çalışmalara o denli anlamlıdır ve de gereklidir.

7. Şüphesiz yukarıda da belirtildiği gibi bölgede yapılan bu çalışmanın Aletsel Dönem (1900 sonrası) deprem verileriyle de yoğunlaştırılarak devam ettirilmesi önemlidir. Böylece deprem verilerinin tarihsel dönemden günümüze kadar olan etkilerinin daha sağlıklı olarak ortaya konularak, Aktif Fay Haritalarının hazırlanması söz konusu olacak, bunun sonucu da Bölgenin Sismo-Tektonik Yorumunun açıklıkla ve detaylı olarak yapılmasına olanak verecektir.

5. YARARLANILAN KAYNAKLAR

ARDOS, M.: Türkiye Jeomorfolojisinde Neotektonik, İst. Üniv.
Yayın No: 2621, Coğrafya Enst. Yayın No: 113,
İstanbul, 1979.

BAYRAKTAR, T.: Kita Sahanlığının Tespitine Yönelik Jeolojik
ve Hukusral Değerlendirmeler ve Ege Kita Sahanlığı, Y.
Lisans Tezi, İst. Üniv., Dz. Bil ve Coğr. Enst.,
İstanbul, 1990.

DEWEY, J.F., ŞENGÖR, A.M.C.: Aegean and Sourrounding Regions,
Complex Multiplate and Continuum Tectonics in a
Convergent Zone, Geol. Soc. America Bull., Part-I, 40,
1979.

ERİNÇ, S., KURTER, A., EROSKAY, O. ve MATER, B.: Batı Anadolu
ve Trakya Uygulamalı Jeomorfoloji Haritası (1/500.000)
nın Kesin Raporu, Proje: TBAG-593, 1984.

HİSARLI, M.: Ege Denizi Kabuk Kalınlığının Belirlenmesi, Y.
Lisans Tezi, İst. Üniv., Dz. Bil. ve Coğr. Enst.,
İst., 1989.

KETİN, İ.: Türkiye Jeolojisi, İ.T.Ü. Yayınları Sayı: 1259,
İst. 1983.

LE PICHON, X, ANGELIER, J.: The Aegean Sea, Phil. Trans. Roy.
Soc. London, A. 300, 1981.

MC KENZIE, D.: Active Tectonics of the Mediterrenean Region,
Geophys. J. Res, Astro. Soc., 30, 1972.

M.T.A: 1:500.000 Ölçekli Jeoloji Haritası (İzmir Paftası)
M.T.A. Enst. Yayıni, Ankara, 1973.

TAPPONNIER, P.: Evolution Tectonique du Système Alpin en Méditerranée, Poinconnement et écrasement Rigide-Plastique, Bull. Soc. Geol. France Ser. 7, XIX, 1977.

SİPAHİOĞLU, S.: Kuzey Anadolu Fay Zonu ve Çevresinin Deprem Etkinliğinin İncelenmesi, Doktora Tezi, İst. Univ., Müh. Fak. İst., 1982

SİPAHİOĞLU, S., GÜNDÖĞDU, O.: Kuzey Anadolu Fay Zonunun İzmit-Kastamonu Kesiminin Tarihsel Dönem (1900 Öncesi). Deprem Etkinliği, Deprem Araştırma Bülteni, Sayı: 38, Temmuz, 1982.

SOYSAL, H., SİPAHİOĞLU, S., KOLÇAK, D., ALTINOK, Y.: Türkiye ve Çevresinin Tarihsel Deprem Kataloğu (M.Ö. 2100-M.S. 1900), TÜBİTAK, Proje No: TbAG-341, İst. 1981.

ŞENGÖR, A.M.C.: Türkiye'nin Neotektoniği'nin Esasları, T.J.K. Konferanslar Serisi Yayıni, Ankara, 1980.

ŞENGÖR, A.M.C.: Türkiye'nin Tektonik Tarihinin Yapısal Sınıflanması, Ketiş Simpozyumu, 20-21 Şubat 1984, Ankara, T.J.K. Yay., Ankara, 1985a.

ŞENGÖR, A.M.C.: Türkiyenin Jeomorfolojik Evriminde Orta Miyosenin Önemi, Türkiye 9. Jeomorfoloji Bilimsel ve Teknik Kurultayı, 13-15 Mart 1985, Ankara, 1985b.

YALÇINLAR, İ.: Türkiye Bünyesinin Ana Hatları, Coğrafya Enst. Yayıni, No: 3-4, İst. 1953-54

RAYLEIGH YÜZYEY DALGA SPEKTRUMU , CISİM DALGALARI VE İLK HAREKET YÖNLERİNDEN 1992-1997 YILLARINDA TÜRKİYE VE CIVARINDA OLUŞAN DEPREMLERİN ($M_s=5.5 - 6.8$) ANALİZİ

Ali Pınar, Doğan Kalafat ve S. Balamir Üçer

Kandilli Rasathanesi ve Deprem Araştırma Enstitüsü, 81220, Çengelköy, İstanbul

ÖZET

Bu çalışma çerçevesinde 1992 ile 1997 yılları arasında magnitüdleri $M_s=5.5$ ile $M_s=6.8$ arasında değişen 9 depremin moment tensörleri belirlenmiştir. Üç farklı yöntem kullanılmıştır. Bunlar, Rayleigh yüzey dalgası spektrumlarının ters çözümü, kompleks cisim dalgaların analizi ve ilk hareket yönlerinin dağılımından mekanizma çözümleridir. Her yöntemde kullanılan verinin niteliği farklı olduğundan elde edilen sonuçlar daha güvenilir bir moment tensörünün elde edilmesi için birlikte değerlendirildi. Yüzey dalgalarından elde edilen çözümler kullanılan yöntem itibarıyle stabil olmadıgı gözlenmiştir. Yüzey dalgalarının dispersiyon özelliğinden olsa gerek ters çözümde kullanılan dalga boyu değişikçe çözümünde değiştigini gözledik. Bu problem ters çözümme başlangıç parametresi olarak verilecek bir düğüm düzleminin doğrultusu ve eğimi ile giderilmektedir.

ABSTRACT

The moment tensors of 9 earthquakes of magnitude range $M_s=5.5-6.8$ that had taken place in Anatolia during the period 1992-1997 were determined using three different techniques; inversion of surface wave spectra, inversion of complex body waves and first motion polarities. The fact that the information covered in the data set for each method is different is used to get better moment tensor solutions-using the result of one method as a constrain at other. The inversion results of the surface wave spectra were found to be unstable. Probably due to the dispersive character of the surface waves the results were sensitive to wavelength. This problem was attacked by constraining the strike and the dip of a nodal plane using information obtained from the other two methods.

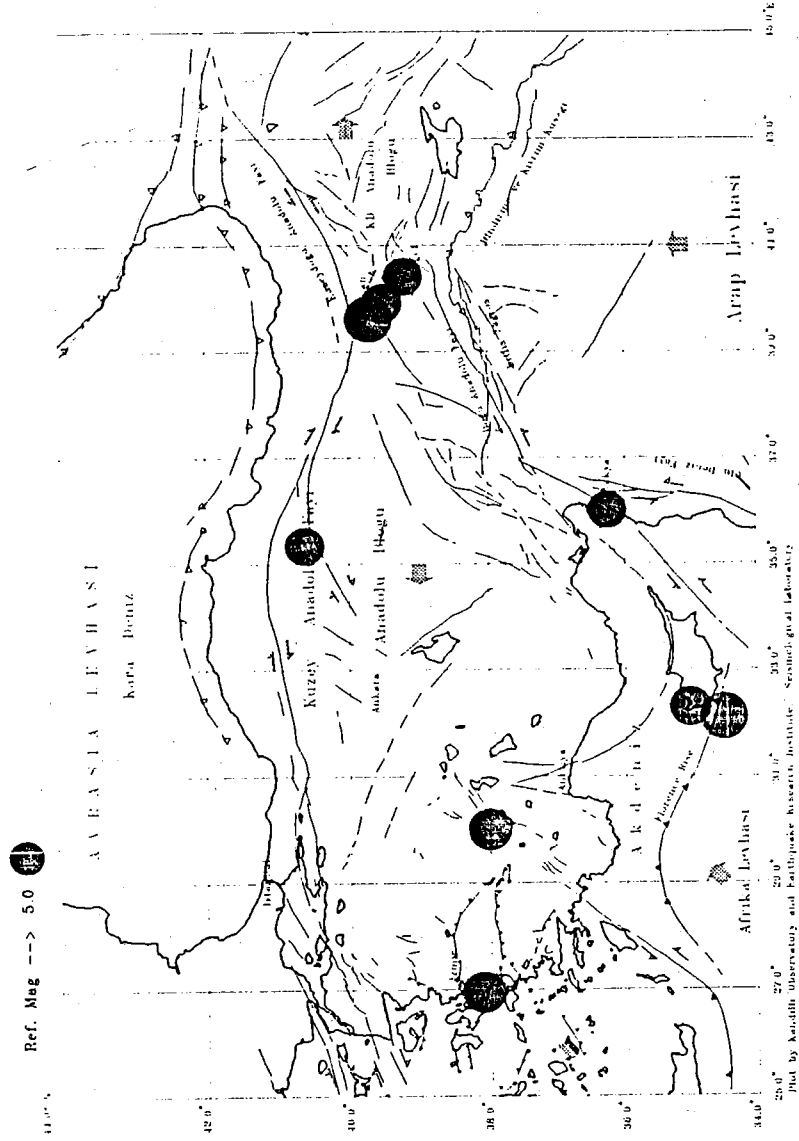
1. GİRİŞ

13 Mart 1992 tarihinde Erzincan'da meydana gelen depremden sonra ülkemizde ve yakın çevresinde kayda değer bir sismik etkinlik artışı gözlenmiştir. Bu depremler yurtta ve dünyada birçok bilim adamının dikkatini çekmiştir. Bu depremlerle ilgili birçok çalışmalar yapılmış ve yayınlanmıştır (Pınar ve diğ., 1994; Kalafat, 1995; Eyidoğan ve Barka, 1994; Erdik ve diğ., 1995; Nalbant ve diğ., 1996; Pınar, 1996; Kalafat ve diğ. 1996; Demirtaş ve Yılmaz, 1996; Gündoğdu ve diğ., 1996; Eyidoğan ve Barka, 1996). Bu referans listesini dahada uzatmak mümkündür. Bu çalışmada sözünü ettigimiz depremlere (Tablo 1.) kendi açımızdan bir bakış sergilemektedir. Çalışma çerçevesinde, depremlerin yüzey dalga spektrumlarından, telesismik cisim dalga şekillerinden ve yerel ve bölgesel uzaklıklarda kaydedilen istasyonlardaki ilk hareket yönlerinden depremlerin sismik moment tensörlerini belirledik. Depremden sonra meydana gelen artırıcı sarsıntıları inceledik. Depremin neden olduğu can ve mal kaybı konusundaki bilgileride derlemeye çalıştık. Bütün bu bilgileri bir araya getirerek sismotektonik açıdan depremleri yorumlamaya çalıştık.

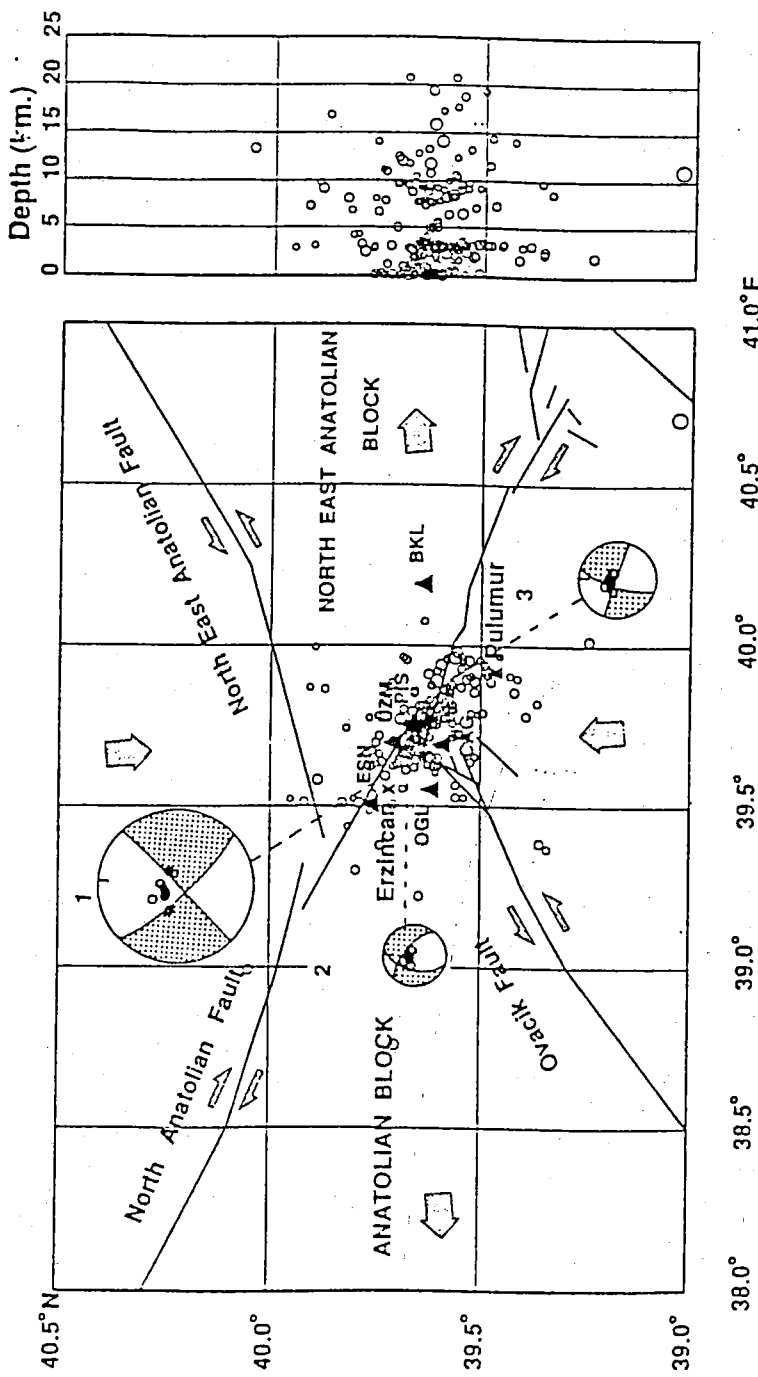
2. SİSMOTEKTONİK

İncelediğimiz depremler farklı tektonik rejim altında olan birimlerde meydana gelmiştir. 13 Mart 1992 Erzincan depremi ve en büyük artırıcı sarsıntısı olan 15 Mart 1992 Pülümür depremi Kuzey Anadolu fay zonunun (KAFZ) doğu kısmında meydana gelmiştir. Deprem bölgesinin hemen doğusunda kıtasal sıkışma rejimi hakimdir. Bu bölgede 5 Aralık 1995 tarihindedde $Ms=5.6$ büyüklüğünde bir deprem meydana gelmiştir. Kıtasal sıkışmaya, kuzeye doğru hareket eden Arap levhası ile Avrasya levhası arasında kalan Doğu Anadolu bloğu mağraz kalmaktadır (Şekil 1.). Bu blok içinde veya blok sınırlarında meydana gelen depremlerin mekanizmalarında ters faylanma bileşeni hakimdir. Bunlara örnek olarak 1968 Varto depremi ($Ms=6.6$), 1975 Lice depremi ($Ms=6.8$), 1983 Horasan-Narman depremi ($Ms=6.8$) gösterilebilir (Taymaz ve diğ., 1991; Eyidoğan ve diğ., 1991; Pınar, 1995). Sıkışma kuvveti, doğudaki yüksek dağların gravitasyon kuvveti ve manto içindeki konveksiyon akımların etkisiyle deprem bölgesinin batı kısmını teşkil eden Anadolu bloğu batıya doğru itilmektedir (Kasapoğlu ve Toksöz, 1983). Bu kuvvetlerin etkisiyle Erzincan ovası karmaşık bir çek-ayır (pull-apart) havzası olarak oluşmuştur (Barka ve Gülen, 1989). Bu havza KB-GD doğrultulu sağ yönlü doğrultu atımlı KAFZ ile KD-GB doğrultulu sol yönlü doğrultu atımlı Ovacık fayı ile çevrelenmiştir (Şekil 2).

6 Kasım 1992 İzmir depremi Anadolu bloğunun batı kesiminde meydana gelmiştir. Bölge Egedeki K-G yönlü açılma rejimi etkisi altındadır. Açılmaya neden olarak batıya doğru hareket eden Anadolu bloğu ile Yunanistan arasında kalan bloğun hereket hızlarının farklılıklarından kaynaklanmaktadır (Taymaz ve diğ., 1991). Bunu son



Şekil 1: Türkiye ve Çevresinde Süsmotektonik hattır ve çalışmada analizi edilen depremlerin yerleri (tektonik hattır Barka, 1992'den derlemiştir).

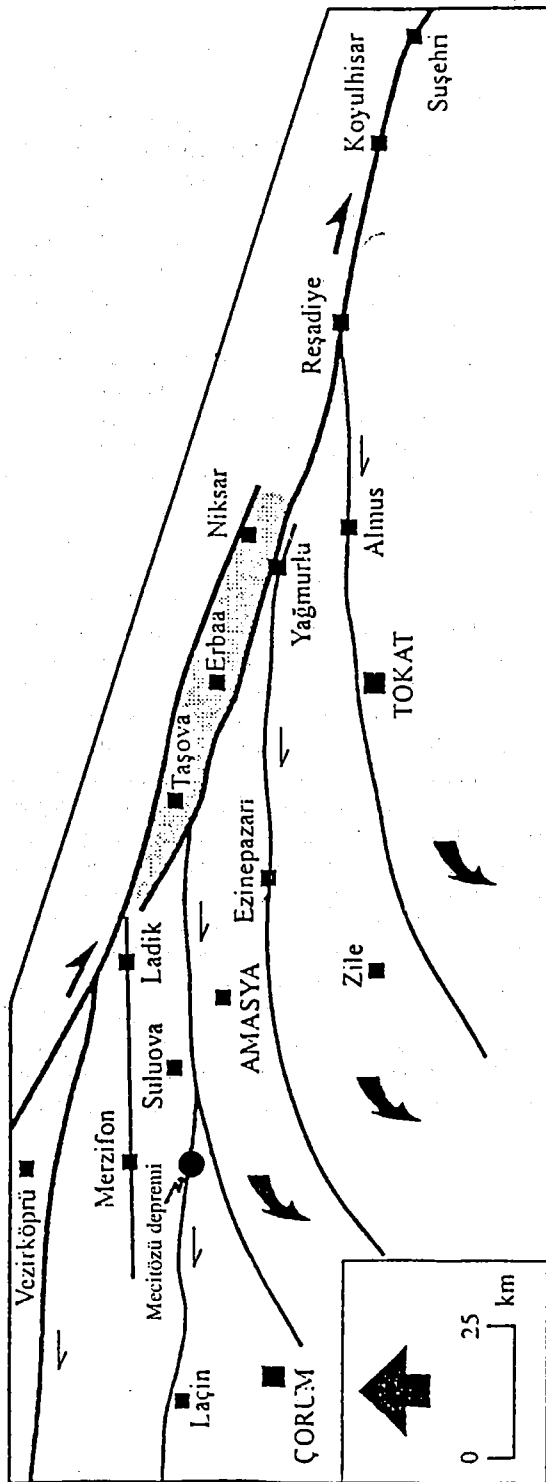


Sekil 2: Erzincan bölgесinin sismotektoniği, arıcı sarsıntılar, kurulan istasyonlar ve telesismik kompleks cisim dalgalarının ters çözümünden elde edilen şokların uzaysal dağılımı ve bunların mekanizmaları.

yıllarda yapılan GPS çalışmalarında desteklemektedir (Le Pichon ve diğ., 1995). Taymaz ve diğ. (1991) buradaki tektonik olaylar için iki taraftan sıkıştırılan bir kitap modeli önermişlerdir. Sıkışan kitabın sayfalarındaki kabarma olayınında bölgedeki açılma rejimi ile özdeştilmiştir. Batı Türkiye ve Ege'deki açılma neden olan diğer bir kuvvet ise Helen yayında meydana gelen dalma-batma zonundaki olaylar neticesinde Batı Türkiye - Ege bloğu GB yönünde çekilmesinden kaynaklanmaktadır (Jackson ve diğ., 1992). Batıda meydana gelen depremlerin çoğu D-B veya KB-GD doğrultulu faylar boyunca normal faylanma mekanizması göstermektedir. Ancak 1992 İzmir depremi doğrultu atımlı faylanma mekanizması göstermiştir. Böyle olmasına rağmen faylanma mekanizması açıkça K-G yönlü açılma ve D-B doğrultulu sıkışmayı göstermektedir. Buda bölgedeki hakim tektonik rejimi açıkça yansımaktadır.

1 Ekim 1995 Dinar depremi incelediğimiz depremler arasında Batı Türkiyede meydana gelen ikinci bir olaydır. İzmir depreminin tersine burada beklenen normal faylanma mekanizmasını görmekteyiz. Bu deprem bölgesinde hakim olan tektonik yapılar graben ve horstlardır. Genel olarak, Türkiye'nin güneybatısında bu yapılar farklı iki doğrultu boyunca gelişmişlerdir. Birincisi yaklaşık BKB-DGD doğrultulu horst-graben sistemidir. Bu sistem içinde Edremit-Akçay, Bakırçay, Gediz, Küçük Menderes, Büyük Menderes ve Gökova grabenleri yer almaktadır. İkinci graben-horst sistemi daha karmaşık olup KD-GB, KB-GD vede K-G doğrultulu normal faylarla sınırlanmıştır (Koçyiğit, 1984). Güneybatı'da normal faylanma ile gelişen açılma KKD-GC doğrultulu minimum basınç ekseni ile uyum içindedir. Angelier ve diğ. (1981) g. minimum basınç ekseni Pliyosen zamanında K-G doğrultusundaydı ve Kuvaterne zamanında KD-GB doğrultusuna yöneldi. Yukarıda sözünü ettiğimiz farklı doğrultulardaki horst-graben sistemleride büyük bir ihtimalle minimum basınç ekseniinin doğrultusundaki değişiminden kaynaklanmaktadır. Bir diğer sebepte, güneybatı Türkiye'nin Miyosen zamanında üç büyük ve Pliyo-kuvatner zamanında daha küçük boyutlarda sıkışma rejimini etkisi altında kalmasıdır. Sondan bir veya iki sıkışma rejimleri büyük ölçüde yaygın olan açılma rejimini engellemiştir (Angelier ve diğ., 1981).

14 Ağustos 1996 Mecitözü depremi Kuzey Anadolu fayı (KAF) ile Almuş fayı arasında yer alan kama şeklindeki yapının içinde meydana gelmiştir (Şekil 3). Kama şeklindeki yapının içinde birçok paralel fay yer almaktadır. Paralel faylar arasında kalan kısımların her biride kama şeklindedir. Bu tür jeolojik oluşumlara "fishbone" yapılar denilmekte ve bunlar enéchelon kamaların dönmesiyle oluştuğu söylemektedir (Şengör ve Barka, 1992). Şekilden görüldüğü gibi paralel faylar KAF'dan başlayıp KD-KKD doğrultusunda devam etmekte ve daha sonra güneybatıya yönelik KD doğrultusunda Anadolu bloğunu içlerine doğru devam etmektedir. Fayların D-B uzantılarında ters faylanma bileşeni olan doğrultu atımlı faylanma söz konusu iken, DB uzantıları oblik, normal faylanma karakteri taşımaktadır. (Bozkurt ve Koçyiğit, 1996). Şengör ve Barka (1992)'ye göre enéchelon kamaların dönmesiyle oluşan "fishbone" türündeki yapılar, hareket eden bloğun hareket doğrultusu boyunca sıkışma söz konusu olduğu sürece oluşmaktadır. Bu yüzden hareket doğrultusunca uzanan bir fayda meydana gelecek



Şekil 3: KAFZ'nun Tokat-Amasya-Çorum arasındaki bölümündeki tektonik hatlar ve 14 Ağustos 1996 Mecitözü depreminin yeri (tektonik hatlar, Bozkurt ve Koçyigit 1996'dan derlemiştir).

atımda azalma beklenmelidir. Bozkurt ve Koçyiğit (1996) yaptıkları çalışmasında Almuş fay zonunda bu olguya gözlemlerdir.

23 Şubat 1995 ve 9 Ekim 1996 depremleri, Kıbrıs adasının batı ve güney batısında meydana gelmiştir. Son deprem aleşel dönemde bölgede meydana gelen en büyük depremdir. WWSSN şebekesi kurulduktan sonra kayda değer depremler olmuşadığı için bölgenin sismotektoniği pek iyi bilinmemektedir (Büyükaşikoğlu, 1979). Bölgenin sismotektoniği için çok farklı görüşler bulunmaktadır. Nur ve Ben-Avraham (1978)'e göre Kıbrıs ve Helen yayı birlikte bir levha sınırı oluşturmaktır ve bu levha sınırı Kıbrıs'ın doğusuna kadar uzanmaktadır. Diğer bir görüşe göre, Kıbrıs yayı levha sınırı değilde geniş bir sıkışma bölgesidir ve doğuda Bitlis Zagros sıkışma ve kıvrım kuşağı ile birlleşmektedir (Le Pichon ve Angelier, 1979). Bu yazarlara göre Helen yayı ile Kıbrıs yayı arasında bir bağ yoktur. Dewey ve Şengör (1979) ve Şengör (1979)'a göre Kıbrıs yayı Bitlis-Zagros sıkışma ve kıvrım kuşağının uzantısı ve Hellenik yayına kadar devam etmektedir. Bu görüşe göre Kıbrıs adasının batısı sıkışma bölgesi, doğusu ise transform fay bölgesidir. Rofstein ve Kafka (1982)'ye göre yukarıda sözü edilen modellerden hiçbirini bölgein sismisitesini ve yapılan fay düzlemi çözümlerini açıklamamaktadır. Bu araştırmacılarla göre Kıbrıs yakınılarında KKB yönünde 25-30 derece ile dalan bir dalma-batma zonu mevcuttur.

22 Ocak 1997 Hatay depremi, Ölü Deniz fayı ile Doğu Anadolu fayı arasında kalan karmaşık bir zon içinde meydana gelmiştir. Bu bölgenin karmaşık oluşunun nedeni muhtemelen günümüzde halen devam etmekte olan Türkiye ile Arap levhalarının kitä-kitä çarpışmasındandır. Arap levhası yaklaşık 10 milyon yıl önce Kızıl Deniz'de başlayan açılma rejimiyle kuzeeye doğru hareket etmeye başlamıştır (Cisternas ve diğ. 1989). Bu levhanın hareketi kuzeveyde dalma-batma zonu yaratmıştır. O dönemde Arap ile Avrasya levhaları arasında bulunan Tetis okyanusu da bu yüzden kapanmaya başlamıştır. Günümüzden yaklaşık 4-5 milyon yıl önce Tetis okyanusu kapandıktan sonra kitä-kitä çarpışması başlamış ve bunun neticesinde Doğu Anadolu fayı oluşmuştur (Muehlberger, 1981). Arap ile Afrika levhaları arasındaki hareket Ölü Deniz fayı boyuncadır. Bu fay, Kızıl denizden başlayıp Türkiye'nin güneyine kadar uzanmaktadır ve yaklaşık 1000 km uzunluğundadır. Ölü Deniz fay zonu boyunca görülen büükülme ve bölünmelerin, Türkiye ve Arap levhalarının kitä-kitä çarpışmasının bir sonucu olduğu sanılmaktadır. 22 Ocak 1997 Hatay depremi Amık gölünün güneybatısında yer almaktadır. Bu bölge daha önce belirtildiği, gibi Ölü Deniz ile Doğu Anadolu fayları arasında kalmaktadır. Her iki fayın sol yönlü doğrultu atımlı oluşları bölgeye açılma rejimi karakteri vermiştir. Bu yüzden bölgede farklı doğrultularda grabenler gelişmiştir (Esen Arpat ile karşılıklı görüşme). Büyük bir olasılıkla deprem, bu grabenlerin bir kanadında meydana gelmiştir.

Tablo 1. 1992-1997 yılları arasında ülkemizde ve civarında hasara neden olan depremler.

No	O.Tarihi	O.Zamanı	Yer	Siddet	Magnitud	Can Kaybı	Hasar
1	13.3.1992	17:18	Erzincan	VIII	6.8	653	8057
2	15.3.1992	16:16	Pülümür	VII	5.8	2	439
3	6.11.1992	19:08	İzmir	VII	6.0	1000	307
4	23.2.1995	21:03	Kıbrıs	VI	5.7	2	620
5	1.10.1995	15:57	Dinar	VIII	6.2	95	14156
6	5.12.1995	18:49	Tunceli	VI	5.7	3	-
7	14.8.1996	01:55	Mecitözü	VI	5.6	1	2606
8	9.10.1996	13:10	Kıbrıs	VII	6.8	2	-
9	22.1.1997	17:57	Hatay	VI	5.5	1	1841

Bu depremlerin yerleri Şekil 1'de gösterilmektedir.

3. YÖNTEM

Bu çalışmada depremlerin mekanizmalarını belirlemek için üç farklı yöntem kullanılmıştır. Cisim dalgası ve ilk hareket yönlerinden depremlerin mekanizması nasıl belirlendiğine dair yurdumuzda pekçok yayın mevcuttur. Ancak yüzey dalgası ile ilgili pek fazla yayın olmadığı için konuya ilgili biraz bilgi vermek faydalı olacağım kanısındayız. Aşağıda verilen teorik bilgiler Suetsugu (1995)'dan alınmıştır.

k istasyonuna gelen $U_k(t)$ yüzey dalgasının deplasman cinsinden yer hareketi, kaynak terimi $S(t)$, yayım terimi $P(t)$, ve alet tepki fonksiyonu $I(t)$ terimlerinin evrişimi şeklinde ifade edilmektedir

$$U_k(t) = I_k(t) * P_k(t) * S_k(t) \quad (1).$$

Yüzey dalgasına Fourier dönüşümü uygulayarak genlik spektumu aşağıdaki bağıntıyla elde edilir

$$U(\omega) = \int_{-\infty}^{\infty} U(t) \exp(-i\omega t) dt \quad (2).$$

Burada w açısal frekansıdır.

(1) bağıntısı frekans ortamında şu şekilde yazılabilir

$$U_k(w) = I_k(w) \cdot P_k(w) \cdot S_k(w) \quad (3).$$

Yukarıdaki bağıntıda yer alan bütün terimler kompleks değerlerdir.

Yayım terimi $P(t)$ geometrik saçılma ve anelastik soğurmayı içermekte ve şu bağıntı ile hesaplanmaktadır

$$P_k(\omega) = \frac{1}{\sqrt{\sin \Delta_k}} \exp(-\omega R \Delta_k / 2Q_U) \exp(-i\omega R \Delta_k / C) \exp(i\pi/4) \exp(im\pi/2) \quad (4).$$

Burada C , U ve Q yüzey dalgasının w açısal frekansındaki faz hızı, grup hızı ve kalite faktörü (soğurma)'nú göstermektedir, k dalganın seyahat uzaklığıdır (episantur uzaklıú değil, çünkü bazen yüzey dalgaları yeryüzeyini birkaç kez katetmektedir) ve R dünyanın yarıçapıdır. m yüzey dalgasının kutuptan geçiş sayısıdır. Yüzey dalga hızları ve kalite faktörü verilen bir kabuk yapısı için belirlenebilmektedir. Bu yöntemde alet ve yayının etkileri dekonvolüsyon ile giderilmektedir

$$S_k(w) = U_k(w)/(P_k(w).I_k(w)) \quad (5)$$

Kaynak terimi S_k moment tensör (M) elemanlarının lineer kombinasyonları şeklinde ifade edilmektedir

$$\begin{aligned} S_k(w) &= a_1 M_{xy} + a_2 (M_{yy} - M_{xx}) + a_3 (M_{yy} + M_{xx}) + a_4 M_{yz} + a_5 M_{zx} \\ a_1 &= Pr(w) \sin 2\phi \\ a_2 &= 0.5 Pr(w) \cos 2\phi \\ a_3 &= -0.5 Sr(w) \\ a_4 &= -0.5 i Qr(w) \sin \phi \\ a_5 &= i Qr(w) \cos \phi \end{aligned} \quad (6)$$

Burada $Pr(w)$, $Sr(w)$ ve $Qr(w)$ moment tensöründen bağımsız olan uyarı fonksiyonları denilmektedir. Bunlar kabuk yapısı, odak derinliği ve frekansın fonksiyonlarıdır. ϕ istasyonun azimutudur. Moment tensör elemanlarını 5 e indirmek için $M_{zz} = -M_{xx} - M_{yy}$ eşitliği düşünülmektedir.

Herhangi bir frekanstaki $S_k(w)$ teriminin reel ve sanal bileşenlerini beş bilinmeyenli iki lineer denklemle gösterebiliriz.

$$\begin{aligned} Re S_k(w) &= Pr(w) \sin 2\phi \cdot M_{xy} + 0.5 Pr(w) \cos 2\phi \cdot (M_{yy} - M_{xx}) - 0.5 Sr(w) \cdot (M_{yy} + M_{xx}) \\ Im S_k(w) &= -Qr(w) \sin \phi \cdot M_{yz} + Qr(w) \cos \phi \cdot M_{zx} \end{aligned} \quad (7)$$

Yukarıdaki bağıntılar matris şeklinde de ifade edilebilir

$$\begin{pmatrix} Re S_k(w) \\ Im S_k(w) \end{pmatrix} = G X \quad (8)$$

burada X elde etmek istediğiniz moment tensör elemanlarını içeren bir vektördür.

$$X = \begin{pmatrix} M_{xy} \\ M_{yy} - M_{xx} \\ M_{yy} + M_{xx} \\ M_{yz} \\ M_{zx} \end{pmatrix} \quad (9)$$

ve G matriside

$$G = \begin{pmatrix} Pr(\omega) \sin 2\phi & \frac{1}{2}Pr(\omega) \cos 2\phi & -\frac{1}{2}Sr(\omega) & 0 & 0 \\ 0 & 0 & 0 & -Qr(\omega) \sin \phi & Qr(\omega) \cos \phi \end{pmatrix} \quad (10)$$

Üç istasyonun spektrumdan (üç reel ve üç sanal bileşen) yukarısı için denklemler sayısını bilinmeyenlerden fazla olduğu için en küçük kareler yöntemiyle problem çözülebilir.
 n istasyondan n gözlemlisel spektrum için (8), (9) ve (10) bağıntıları

$$S = GX \quad (11)$$

şeklinin alır.

Burada:

$$S = \begin{pmatrix} \operatorname{Re} S_1(\omega) \\ \operatorname{Im} S_1(\omega) \\ \operatorname{Re} S_2(\omega) \\ \operatorname{Im} S_2(\omega) \\ \vdots \\ \operatorname{Re} S_n(\omega) \\ \operatorname{Im} S_n(\omega) \end{pmatrix} \quad (11)$$

$$G = \begin{pmatrix} Pr(w) \sin 2\phi_1 & 0.5Pr(w) \cos 2\phi_1 & -0.5Sr(w) & 0 & 0 \\ 0 & 0 & 0 & -Qr(w) \sin \phi_1 & Qr(w) \cos \phi_1 \\ Pr(w) \sin 2\phi_2 & 0.5Pr(w) \cos 2\phi_2 & -0.5Sr(w) & 0 & 0 \\ 0 & 0 & 0 & -Qr(w) \sin \phi_2 & Qr(w) \cos \phi_2 \\ \vdots & \vdots & \vdots & \vdots & \vdots \\ Pr(w) \sin 2\phi_n & 0.5Pr(w) \cos 2\phi_n & -0.5Sr(w) & 0 & 0 \\ 0 & 0 & 0 & -Qr(w) \sin \phi_n & Qr(w) \cos \phi_n \end{pmatrix} \quad (12)$$

O zaman en küçük kareler denklemi şu hale gelir

$$X = (G^T G)^{-1} G^T S$$

(13).

4. ANALİZ SONUÇLARI

Tablo 1'de verilen depremler üç farklı yöntem ile analiz edildi. Cisim dalgası ters çözümü, Rayleigh yüzey dalga spektrumlarının ters çözümü ve ilk hareket yönlerinin polaritesinden depremlerin mekanizmaları belirlendi. Cisim ve yüzey dalgalarından belirlenen sismik moment değerleri mekanizmalar benzer olduğu taktirde birbirlerine yakın, aksi halde çok farklı olduklarını gözledik. Yüzey dalga spektrumlarından elde edilen mekanizmalar yöntem itibariyle duraylı sonuçlar vermemektedir. Ancak ilk hareket yönlerinden, yüzey kırıklarından, artçı sarsıntıların dağılımından veya bölgenin genel tektoniğinden düşüm düzlemlerinden biri ters çözüme başlangıç parametresi olarak verilirse durağan sonuçlar elde edilmektedir. Analiz ettiğimiz depremlerle ilgili yeterli veri elde ettiğimiz taktirde bunları bölgenin sismotektoniği açısından irdeledik. Yeterli bulgu olmadığı durumlarda ise sadece elde ettiğimiz sonuçları vermekle yetindik. Tablo 2'de yüzey dalga spektrumu ters çözümlerinde başlangıç parametresi olarak verilen düşüm düzlemlerinin doğrulu ve eğimleri verilmektedir. Bu şekilde elde edilen moment tensörlerde Tablo 3'de verilmektedir.

Tablo 2. Yüzey dalga spektrumu ters çözümünde başlangıç parametresi olarak kullanılan doğrulu ve eğimlerin listesi.

TARİH	DOĞRULTU	EĞİM
13.03.1992	310	80
15.03.1992	315	80
06.11.1992	140	80
23.02.1995	45	50
01.10.1995	310	60
05.12.1995	140	80
14.08.1996	115	80
09.10.1996	140	80
22.01.1997	210	35

Tablo 3. Yüzey dalga spektrumlarının ters çözümünden elde edilen sismik moment tensörleri.

TARİH	Mox10 ²⁵ dyn.cm	DOĞRULTU	EĞİM	ATIM
13.03.1992	15.5	310	80	-155
15.03.1992	0.4	316	80	162
06.11.1992	1.3	46	68	174
23.02.1995	0.4	162	62	47
01.10.1995	3.8	310	60	-102

05.12.1995	0.6	45	66	-11
14.08.1996	0.2	210	65	11
09.10.1996	20.0	236	58	-168
22.01.1997	0.3	230	64	-21

Tablo 3'te verilen çözümler Şekil 4'de gösterilmektedir.

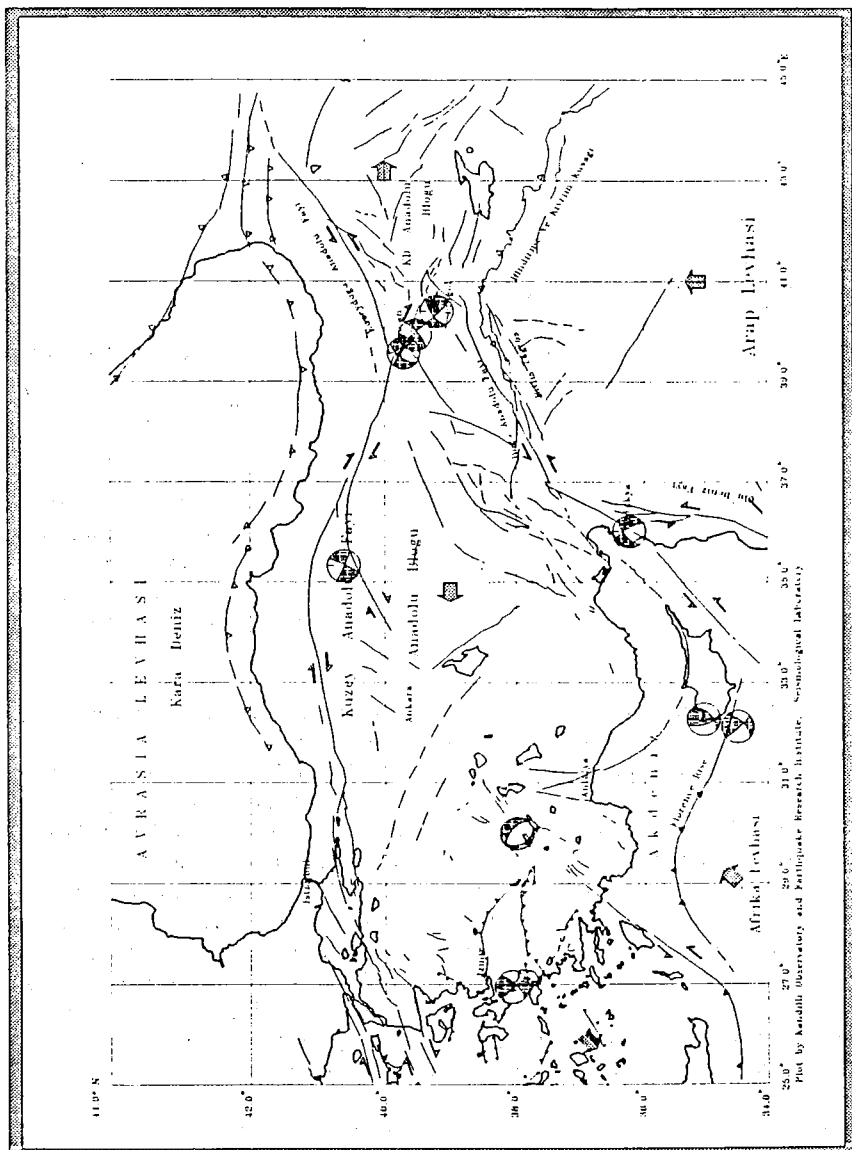
4.1. 13 Mart 1992 Erzincan depremi

17:18:40.0 U.T. 39.71 K - 39.61 D, $h=27$ km, $mb=6.2$, $Ms=6.8$, $Io=VIII$ (Gündoğdu ve dig., 1992; MSK-64), $Io=VIII$ (Bayülke ve Yılmaz, 1993; MSK), $Mo=1.16 \times 10^{26}$ dyn.cm (Eyidoğan ve Barka, 1993), $Mo=1.2 \times 10^{26}$ dyn.cm (Pınar ve dig., 1994).

1939 Erzincan depreminden sonra bölgede meydana gelen en tarihipkar depremlerden birisidir. Erzincan merkez ve köylerinde 9924 konutta hafif hasar, 6027 konutta orta hasar, 4421 konutta ağır hasar meydana gelmiştir. Deprem çok büyük bir alanda hisedilmiş olup 653 kişinin ölümüne, 3850 kişinin yaralanmasına neden olmuştur. Deprem sonrası arazide fay izleri, tansiyon çatıtları, heyelan, kum ve su fıskiirmalar gözlenmiştir (Kalafat, 1995).

Şimdi 13 Mart 1992 Erzincan depremi ile ilgili başlıca bulgularımızı ve bunları kendi açımızdan yorumlamaya çalışacağız. 13 Mart 1992 Erzincan depremi, yurta ve dünyada birçok bilim adamının dikkatini çekmiştir. Bunun başlıca iki nedeni vardır. Birinci sebep, 1939 Erzincan depreminin ($Ms=7.9$) ardından henüz 53 yıl geçmiş olmasına rağmen Erzincan şehri bir kez daha yerle bir olmasından kaynaklanmaktadır. Tarihsel verilere dayanarak yapılan tahminlere göre Erzincan şehrinde 1992 yılında değilde, bundan 100-150 yıl sonra ancak bu kadar tarihipkar bir deprem beklenebildi. İkinci neden ise, Kuzey Anadolu fay zonunda (KAFZ) 1939 yılında Erzincan'da başlayıp, 1967 yılında Adapazarı'nda biten büyük bir deprem etkinliğinin yaşamış olmasıdır. Bu deprem etkinliğinde magnitüdü $Ms=7.0'$ dan büyük olan 6 tarihipkar deprem sistematik bir şekilde Erzincan'dan başlayıp Batı'ya doğru göç etmiştir ve KAFZ'unda toplam 900 km'den fazla yüzey kırığı oluşmuştur. Acaba, 1992 Erzincan depreminden sonra yine böyle bir göç yeniden söz konusu olabilir miydi?

1992 Erzincan depremi şehir merkezinden 5 km uzaklıkta meydana gelmesine rağmen artçı sarsıntılar burada yoğunlaşmamaktadır. Bunlar daha çok ana şokun güneydoğusunda yer almaktır ve KAFZ'nun Ovacık fayı ile birleştiği yerde kümelenmektedir (Şekil 2). Bu şekildeki artçı sarsıntıların dağılımını biz şu şekilde yorumluyoruz. Deprem Erzincan şehrinin hemen altında meydana geldi ve depremle oluşan kırık güneydoğuya doğru ilerlemiştir. Nitekim, 15 Mart 1992 günü Erzincan'ın yaklaşık 40 km güneydoğusunda $Ms=5.8$ büyüklüğündeki en büyük artçı sarsıntı



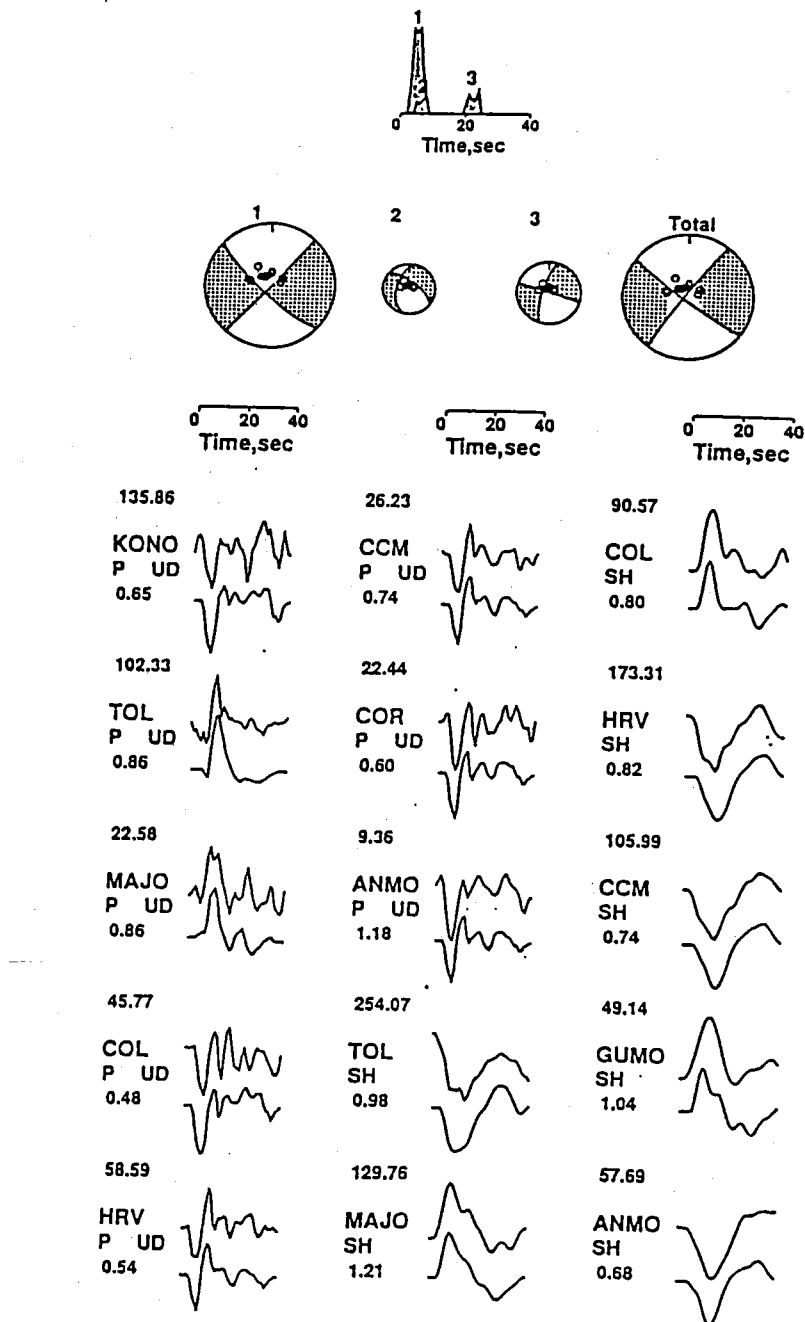
Sekil 4: 1992-1997 Yılları arasında Türkiye'de meydana gelen büyük depremlerin Rayleigh yüzey dalgalarından elde edilen moment tensörleri.

meydana gelmiştir. Depremlerde oluşan en büyük artçı sarsıntı genelde kırığın ilerlediği yönde bir yerde meydana gelmektedir. Buna örnek olarak 1967 Mudurnu Vadisi depremi gösterilebilir. Depremin, Erzincan'da başlayıp güneydoğuya doğru ilerlediğini telesismik cisim dalgalarının ters çözümünden de elde ettik. Bu sonuçlar Şekil 5'te verilmektedir. 1992 Erzincan depremi telesismik uzaklıklarda karmaşık cisim dalgaları meydana getirmiştir. Bu cisim dalgalarını analiz ederek depremin 20 saniye zarfında üç şokla meydana geldiğini tespit ettik (Şekil 5). En büyük enerji boşalımı Erzincan şehrinin hemen altında, ikinci şok ise KAFZ'nın Ovacık fayı ile bireleştiği yerde, üçüncü şok ise buradan 10 km daha güneydoğu'da meydana geldiğini bulduk. Bu üç şokun uzaysal dağılımına bakıldığından açıkça görüyoruz ki kırılma şehrin altında başlayıp güneydoğuya doğru ilerlemiştir. Buna benzer bir sonuç Nalbant ve diğ (1996) tarafından da elde edilmiştir. Böylece, 1992 Erzincan depremini takip eden 1939-1967 aktivitesine benzer bir aktivite olmayacağı hususunda bir bulgu elde ettiğimizi söyleyebiliriz. Yani, kırılma doğuda başlayıp batıya doğru ilerlemeyeceğini söylemek mümkün olabilir. Ancak, 1992 Erzincan depreminin kırık zonunun hemen doğusunda birkaç yüzyıldır kırılmayan bir segment yer almaktadır (Barka, 1992). Erzincan depremi bu segmentteki gerilme dengesini bozup yakın bir zamanda kırılmasına neden olabilir. Böylece, yukarıda sözünü ettiğimiz 1992 Erzincan depremine ilgi uyandıran iki nedenden ikincisinde yanıtlanmış bulunuyoruz.

Tablo 4. 13 Mart 1992 karmaşık Erzincan depremini oluşturan şokları oluşturan zamanları, konumları, sismik moment değerleri ve fay düzlemini parametreleri. Uzaklık KB-GD doğrultusunda olup KB'ya positif GD'ya doğru ise negatif değer almaktadır. Oluş zamanı ilk gelen P dalgasından sonra maksimum momentin açığa çıkışığı zamanı göstermektedir.

Şoklar	Oluş Zamanı	Uzaklık (km)	Moment 10^{25} dyn.cm	Dogruluğu	Eğim	Atım
1	2	0	9.4	132.2	78.6	-178.6
2	4	-10	1.5	192.1	49.2	-35.2
3	19	-20	2.3	286.0	87.8	-164.1
Toplam			11.75	126.0	85.3	176.5

Birinci neden'e gelince ise, yani, "53 yıl sonra Erzincan'da neden tâhripkar bir deprem meydana geldi?" sorusuna biz şu şekilde bir açıklık getiriyoruz. Bunun için iki ihtimal var; İlki, 1992 Erzincan depremi, 1939 Erzincan depreminin kırımadığı bir parçada meydana gelmiş olmasıdır. Büyük depremlerde fay düzleminde kırılmayan parçalar kalabilir. İkinci olasılık ise, 1992 Erzincan depremiyle açığa çıkan enerji, 1939 Erzincan depreminden sonra birikmiş olmasıdır. Bu demektir ki, Erzincan bölgesinde deformasyon birikim hızı o kadar yüksek ki yaklaşık her 50 yılda bölgede 13 Mart 1992 Erzincan depremi büyüklüğünde bir deprem meydana gelebilecektir. Bu da bölgedeki deprem riskinin ne denli yüksek olduğunu göstermektedir.



Şekil 5: 13..3.1992 Erzincan depreminin telesismik cisim dalagaların ters çözüm sonucu: Gözlemlisel (üst) ve kuramsal (alt) dalgaların modellemesi, kaynak zaman fonksiyonları ve bunların zamansal dağılımı, şokların mekanizmaları ve toplam sismik moment tensörü.

4.2. 15 Mart 1992 Pülümür depremi

Pülümür depremi Erzincan depreminin en büyük artçı sarsıntısıdır. Bu deprem Erzincan depremiyle başlayan kırığın en uç GD ucunda meydana gelmiştir. Hatırlanacağı gibi ana şokla başlayan kırılma KB'dan GD'ya doğru ilerlediğini bulmuştuk. Telesismik cisim dalgalarının ters çözümünden elde edilen mekanizma çözümü Şekil 6'da verilmiştir. Şekilden de görüldüğü gibi deprem küçük doğrultu atım bileşeni olan normal faylanma özelliği göstermektedir.

Tablo 5. Pülümür depreminin cisim dalgalarıyla elde edilen parametreleri. Açıklama için Tablo 4'ye bakınız.

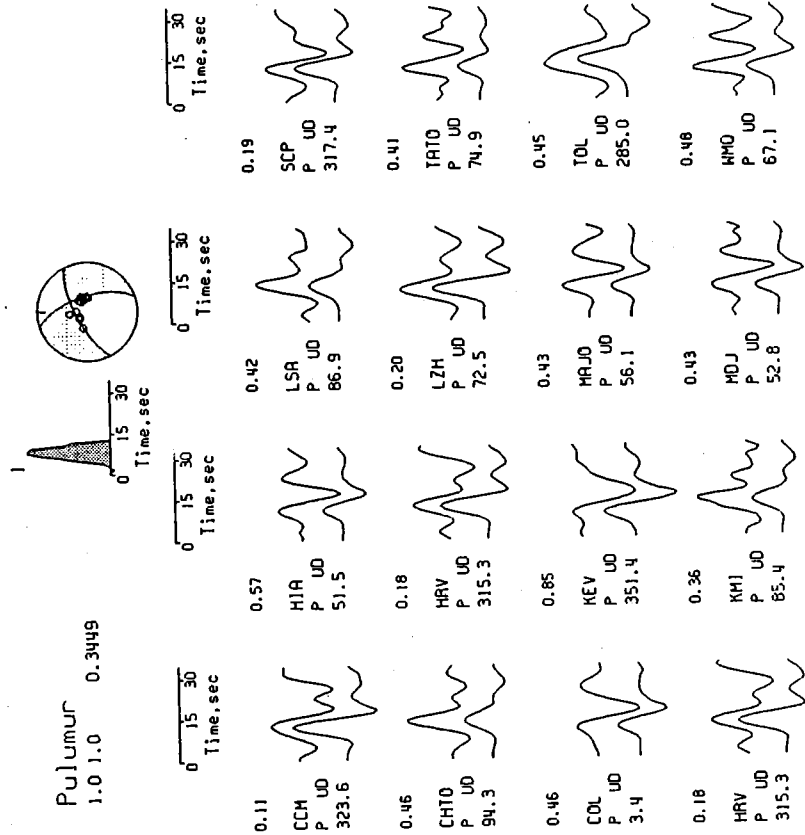
Sekil	Oluş Zamanı	Uzaklık (km)	Moment 10^{25} dyn.cm	Dogrultu	Eğim	Atım
1	0	0	0.5	316	80	-161

4.3. 6 Kasım 1992 İzmir (Doğanbey) depremi

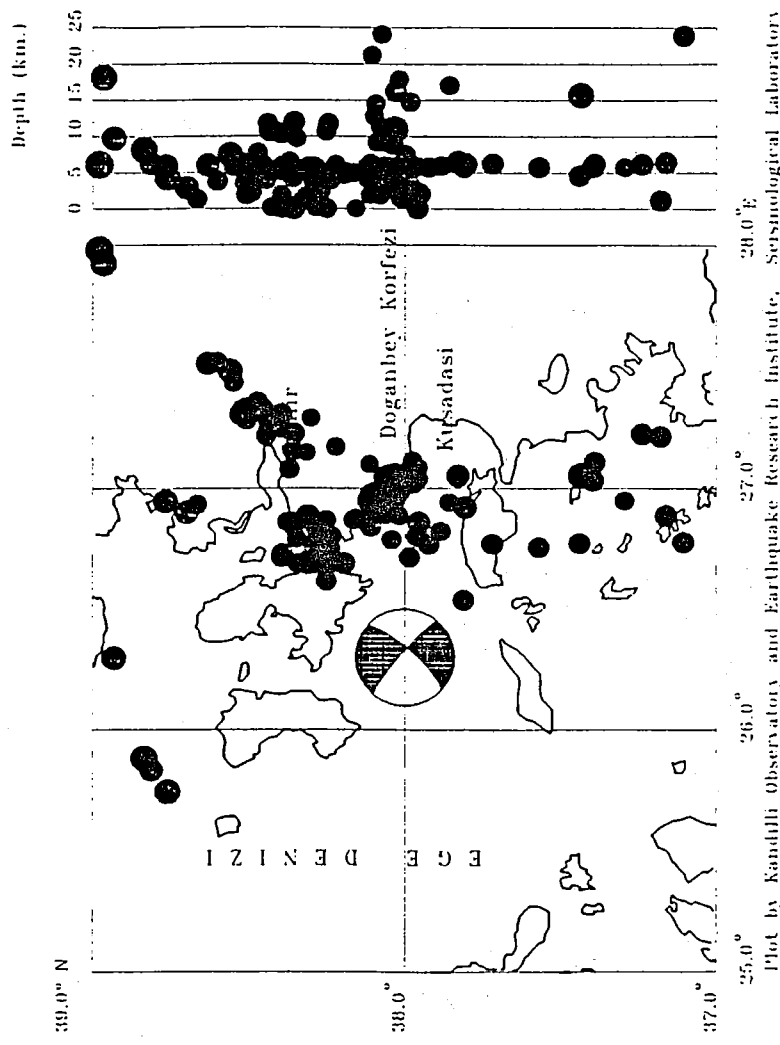
19:08:09.3 U.T. 38.16 K - 27.00 D, $h=17$ km, $mb=5.7$, $Ms=6.0$, $Io=VII$ (Türkelli ve diğ., 1995; MSK), $Mo=1.1 \times 10^{25}$ dyn.cm (Pınar, 1995).

Merkez üstü Doğanbey burnu yakınıları olan deprem Ege bölgesinde korku yaratmıştır: İzmir ili başta olmak üzere Seferihisar, Ürkmez, Doğanbey, Gümüldür, Payamı, Menderes, Urla ve yakın yerleşim birimlerinde hasara sebep olan deprem kuvvetince hissedilmiştir. Hasar tespit çalışmasında ağır hasarlı ve yıkımların İzmir şehrinin güneybatısındaki köylerde yoğunluğu gözlenmiştir. Yapılarında 99 hafif hasar, 71 orta hasar, 52 ağır hasar, 3 çökme gözlenmiştir. Ege bölgesinde tüm illeri etkileyen depremde Urlada 3 evin çatısı çökmüştür. Deprem sırasında can kaybı olmamıştır. Deprem Kuşadası, İzmir, Söke, Nazilli, Aydın, Denizli, Dikili, Manisa, Muğla, Balıkesir, Adapazarı, İstanbul ve Marmara denizinin civarındaki yerleşim birimlerinde ve Ege adalarında hissedilmiştir. Depremin ardından İzmir'in bazı ilçeleri ile telefon bağlantısı kesilmiştir (Kalafat, 1995).

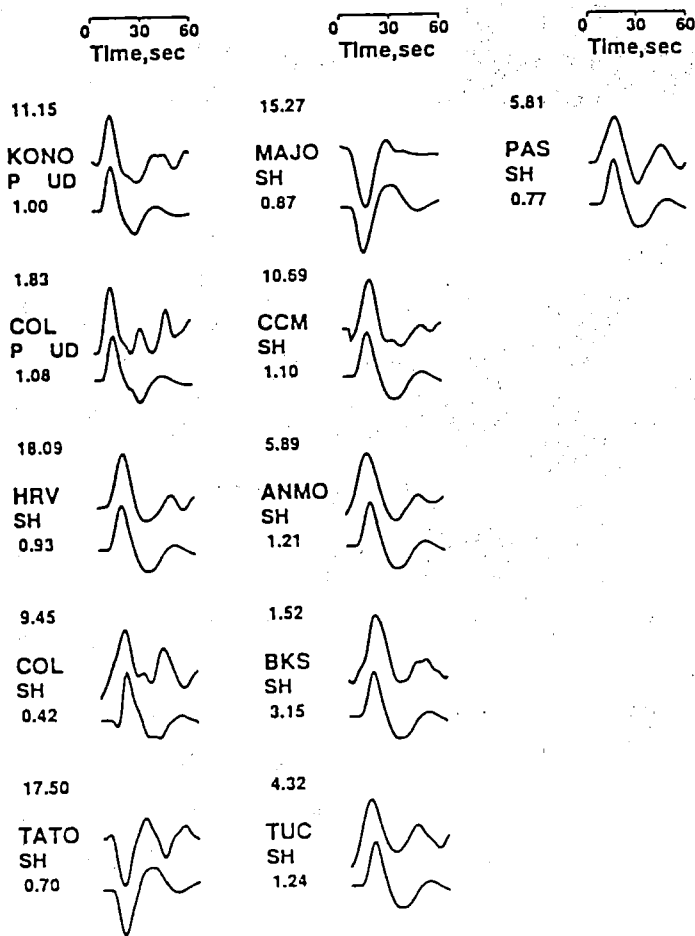
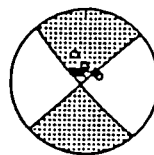
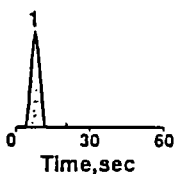
Ana şokun mekanizması yerel ve bölgesel uzaklıklardaki istasyonların ilk hareket yönlerinden faydalananarak bulunmuştur (Şekil 7). Ayrıca, telesismik uzaklıklarda kaydedilen cisim dalgalarının ters çözüm tekniği ile de moment tensörü belirlenmiştir (Pınar, 1995). Her iki yöntemde de depremin çok büyük doğrultu atım bileşeni olan oblik faylanma özelliği gösterdiği bulunmuştur (Şekil 8). Kuzeydoğu doğrultusundaki düğüm düzlemininin fay düzlemi olduğunu düşünecek olursak 1992 İzmir depreminin kırıldığı fay İzmir-Ankara sütür zonunun devamı olduğunu söyleyebiliriz. Diğer taraftan, artçı sarsıntıların dağılımına bakacak olursak (Şekil 7) KB-GD uzanımlı bir etkinlik göze çarpmaktadır. Bu bulgu KB-GD doğrultulu düğüm düzleminin fay düzlemi olabileceğini desteklemektedir. Basınç ve tansiyon eksenlerinin konumları bölgedeki genel rejimi destekler nitelikte olmakta, bölgede D-B doğrultulu basınç, K-G doğrultulu tansiyon kuvvetlerinin hakim olduğu görülmektedir.



Şekil 6: 15.3.1992 Pütürmür depreminin teleskopik cisim dalgalarının analizi
 (ayrıklama için Şekil 5'e bakınır).



Şekil 7: Haziran -1993 döneminde 6.11.1992 İzmir deprem bölgesinde görülen sismik etkinlik. Şekilde görülen mekanizma külesi lokal ve reyonal uzaklıklardaki istasyonların ilk hareket yönlerinden elde edilmiştir.



Şekil 8: 6.11.1992 İzmir depreminin telesismik cisim dalgalarının analizi
(açıklama için Şekil 5'e bakınız).

Tablo 6. İzmir depreminin cisim dalgalarıyla elde edilen parametreleri. Açıklama için Tablo 4'ye bakınız.

Şoklar	Oluş Zamanı	Uzaklık (km)	Moment 10^{25} dyn.cm	Dogruluk	Eğim	Atan
1	4	0	1.1	138.3	83.8	-178.6

Bu depremde özellikle İzmir ve civarının deprem riski açısından son derece önemli bir bölge olduğunu ortaya koymuştur. Konuya ilgili ayrıntılı çalışmalar yapılması gerekmektedir.

4.4. 23 Şubat 1995 Kıbrıs depremi

21:03:01.3 U.T. 35.05K-32.28D, $h=10$ km., $mb=5.8$, $Ms=5.7$, $Mw=5.9$, $Io=VI$.

Merkez üstü Kıbrıs adasının hemen kuzeybatı ucundadır. Deprem Kıbrıs'ta kuvvetlice hissedildi ve hasara neden oldu. Özellikle Paphos bölgesinde etkili oldu. 2 kişi öldü, 5 kişi yaralandı. Toplam 620 konut hasar gördü. Larnaka, Limasol ve Lefkoşa'de de etkili olan deprem Lübnan'da ve İsrail'de de hissedildi.

Şekil 9.'da bu depremin cisim dalgalarından elde edilen mekanizma çözümü verilmektedir.

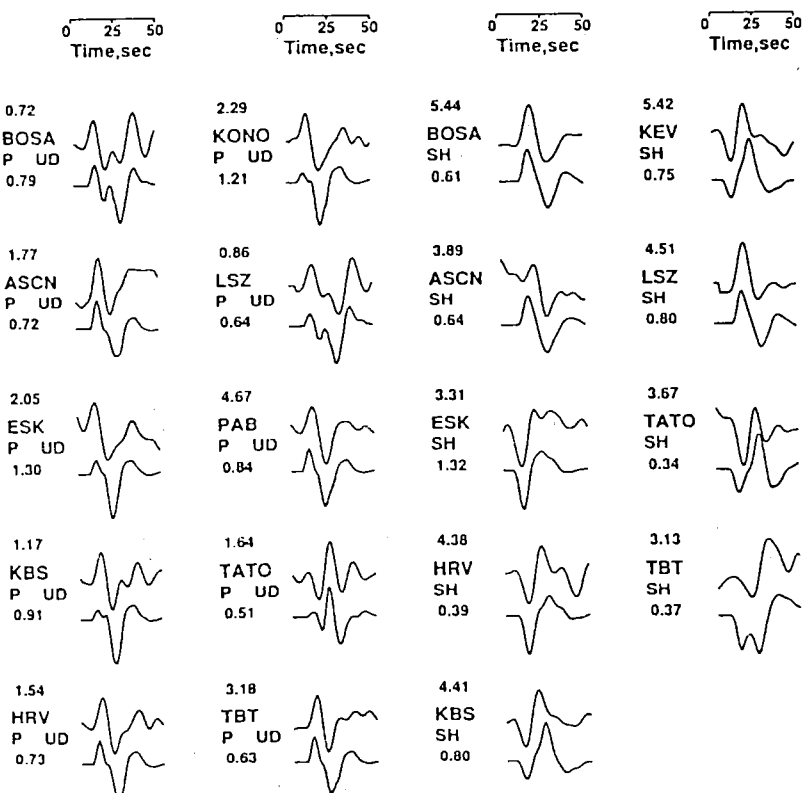
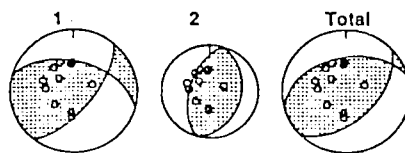
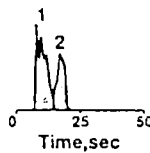
Tablo 7. Kıbrıs depreminin cisim dalgalarıyla elde edilen parametreleri. Açıklama için Tablo 4'ye bakınız.

Şoklar	Oluş Zamanı	Uzaklık (km)	Moment 10^{25} dyn.cm	Dogruluk	Eğim	Atan
1	7	20	0.4	39	66	46
2	14	30	0.3	197	55	91
Toplam			0.49	46	50	73

4.5. 1 Ekim 1995 Dinar Depremi

15:57:13.1 U.T. 38.11K - 30.05 D, $h=5$ km, $mb=5.7$, $Ms=6.2$, $Io=VIII$ (Gündoğdu ve diğ., 1995; MSK), $Mo=2.0 \times 10^{25}$ dyn.cm (Pınar ve Kalafat, 1995; Eyidoğan ve Barka, 1996).

1 Ekim 1995 tarihinde Göller bölgesinde meydana gelen tarihipkar deprem Afyon'un Dinar ilçesinde büyük hasar ve can kaybına neden olmuştur. Dinar depreminden 95 kişi



Şekil 9: 23.2.1995 Kıbrıs depreminin telesismik cisim dalgalarının analizi (taçıklama için Şekil 5'e bakınız).

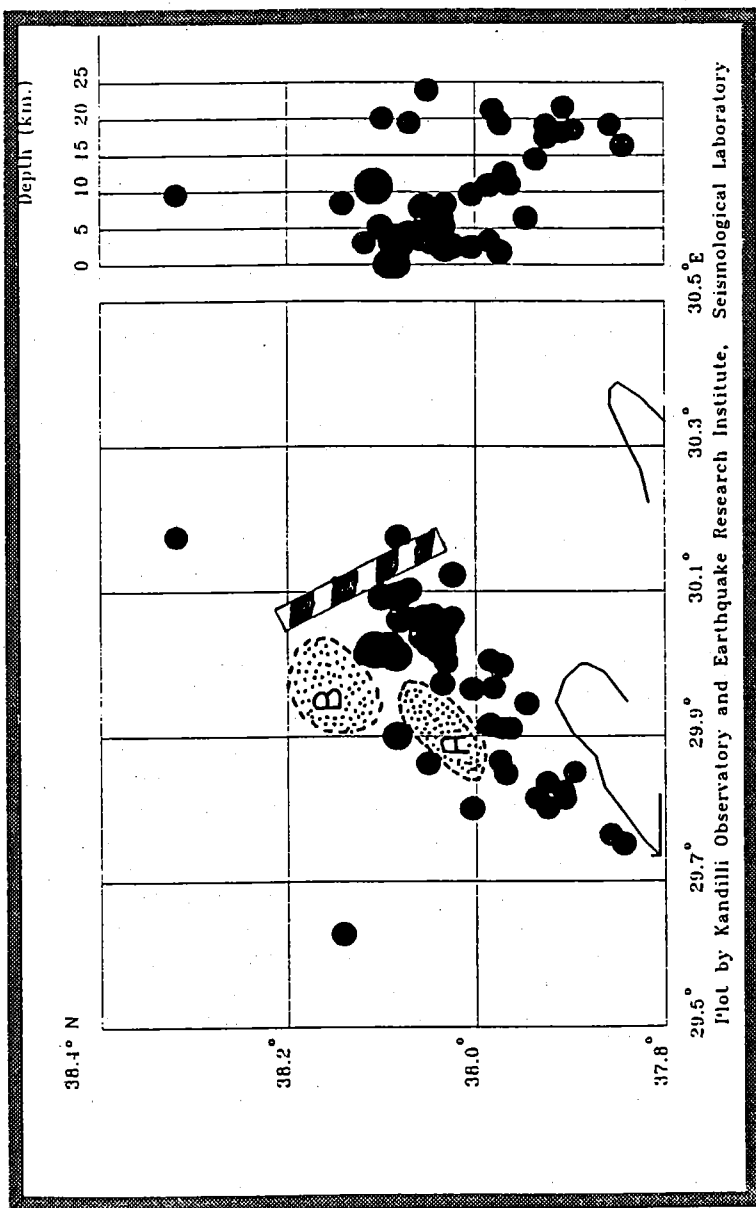
hayatını kaybetmiş, 300 kişide yaralanmıştır. Hasarlı bina sayısı yaklaşık olarak 14156 adettir. Bunlardan 4340 adedi ağır, 8712 orta ve 6104 adedi de hafif hasar görmüştür. Göller bölgesi başta olmak üzere Afyon, Burdur, Isparta, Denizli, Uşak, Kütahya, İzmir, Konya, Antalya'da ve tüm Batı Anadolu'da 150.000 km^2 'lik bir alanda hissedilmiştir.

Dinar depremi 95 can kaybı ve yarı milyar dolarlık hasarın dışında, oluş düzeni ile de birçok tartışmalara yol açmıştır. 1 Ekim 1995'teki ana şoktan önce (magnitüdleri $M > 2.5$) 50' den fazla deprem meydana gelmiştir. Bu deprem serisi 26 Eylül günü başlamış ve en büyük magnitüdler 4.6 ve 4.8 olarak meydana gelmiştir. Bu aktivite, öncü şok aktivitesi miydi değilymişti tartışması yaratmıştır. Biz bu konuyaasperiti ve bariyer deprem modellerini ve Dinar depreminin kırılma oluşumunu dikkate alarak şu şekilde bir açıklama getirmiştir (Pınar ve Kalafat, 1995). Deprem oluş modelinde ana şoktan önce asperiti civarındaki gerilmeler, oralarda meydana gelen depremlerle açığa çıkarılmaktadır. Bu gerilme boşalımı ile asperiti de gerilme dengesi bozulmakta ve asperitinin kırılmasına, yani bir depremin meydana gelmesine sebep olmaktadır. Bu depremin magnitüdü doğrudan asperitinin büyülüklüğü ile ilişkilidir. Eğer asperiti büyük ise şiddetli bir depremin meydana gelmesi söz konusudur, asperiti küçük ise hafif şiddette bir depremin meydana gelmesi söz konusudur. Dinar depreminden 26-30 Eylül arasında sismik etkinlik görülmektedir.

Dinar 1995 depremi, telesismik cisim dalgalarının ters çözüm yöntemiyle elde edilen sonuca göre iki şok ile meydana gelmiştir. Şoklar 6 saniye arayla meydana gelmiş ve ilk şokun sismik momenti $0.5 \times 10^{25} \text{ dyn.cm}$ ve 10 km. derinliktedir. Sismik moment: $1.8 \times 10^{25} \text{ dyn.cm}$ olan ikinci şok ise 10 km. daha kuzeybatıda ve 15 km. derintikte yer almıştır. Dinar depreminin cisim dalgaları ters çözümünden elde edilen iki şok'un birbirlerine göre konumunu dikkate alarak A ve B ile gösterilen iki bölge göze çarpmaktadır (Şekil 10). A bölgesi bize göre bir asperitiyi, B bölgesinin etrafında bariyeri temsil etmektedir. Asperiti kavramı öncü şok aktivitesi ile, barier ise artçı deprem aktivitesi ile ilişkilidir. 26-30 Eylül aktivitesinin öncül belirti olduğunu savunmak için 1 Ekim 1995 Dinar depremi ile kırılan fay düzleminde büyük bir asperitinin varlığının bilinmesi gereklidir. Ancak bunu söylemek gerçekten çok güçtür. Mevcut yöntemler ile fay düzleminin mekanik özelliklerinin değişimini gözlemek neredeyse olanaksızdır. Bu yüzden sismik etkinlige bakarak büyük bir deprem olacak demek çok sakıncalı olabilir. Bunun yanında her büyük depremle meydana gelen faylanmadada fay düzleminin mekanik özelliklerinin değiştiği bilinmektedir. Bu sebepten dolayı bundan sonra olacak büyük bir depremde fay düzleminin aynı davranışını göstermesi beklenmemelidir. Yani, oluş düzeni depremlerin önceden kestirilmesinde etkili olamayacağını söyleyebiliriz.

Tablo 8. Dinar depreminin cisim dalgalarıyla elde edilen parametreleri. Açıklama için Tablo 4'ye bakınız.

Şoklar	Oluş Zamanı	Uzaklık (km)	Moment 10^{25} dyn.cm	Dogrultu	Eğim	Atım
1	0	0	0.5	122.2	33.9	-98.2
2	6	10	1.8	138.0	40.9	-82.5
Toplam			2.01	134.8	39.1	-85.4



Şekil 10: Dinar depreminin oluşum modeli ve anaşoktan önce meydana gelen deprem ekinliği ve depremle oluşan yüzey kırıkları. A bölgesi aşeriti ve B bölgesi bölgesi bariyere tekabül etmektedir.

4.6. 5 Aralık 1995 Tunceli Depremi

18:49:30.5 U.T. 39.44K - 40.15 D, $h=15$ km, $mb=5.5$, $Ms=5.7$, $Mw=5.7$, $Io=VI$, $Mo=0.30 \times 10^{25}$ dyn.cm.

Deprem esnasında Tunceli ve Karakoçan'da birkaç kişi yaralanmış ve bazı hasarlar meydana gelmiştir. Geniş bir alanda hissedilmiştir. Bu deprem hakkında bölgenin konumu itibariyle ayrıntılı çalışmalar yapılamamıştır. Sismolojik bulgularla yetinilmiştir. Telesismik uzaklıklarda kayıt edilen cisim dalgalarının ters çözümü Şekil 11'de verilmektedir. Tablo 9'da elde edilen moment tensör sonucu verilmektedir.

Tablo 9. Tunceli depreminin cisim dalgalarıyla elde edilen parametreleri. Açı Δ ama için Tablo 4'e bakınız.

Soklar	Oluş Zamanı	Uzaklık (km)	Moment 10^{25} dyn.cm	Dogrultu	Eğim	Atım
1	0	0	0.32	135	76	156

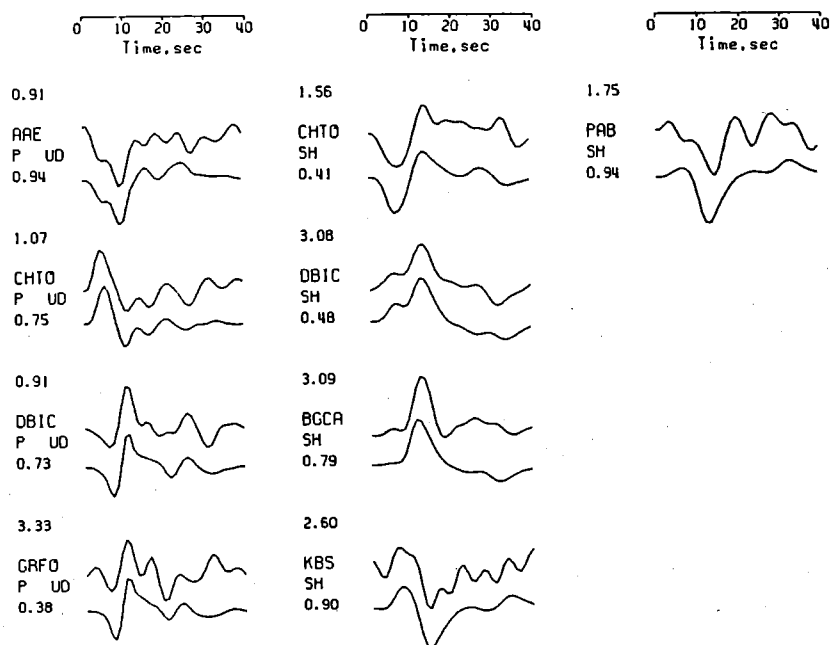
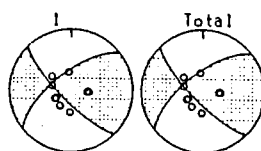
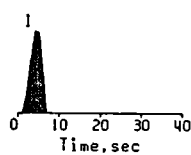
4.7. 14 Ağustos 1996 Mecitözü Depremi

01:55:02.6 U.T. 40.76K - 35.38 D, $h=10$ km, $mb=5.3$, $Ms=5.6$, $Mw=5.7$, $Io=VI$, $Mo=0.30 \times 10^{25}$ dyn.cm.

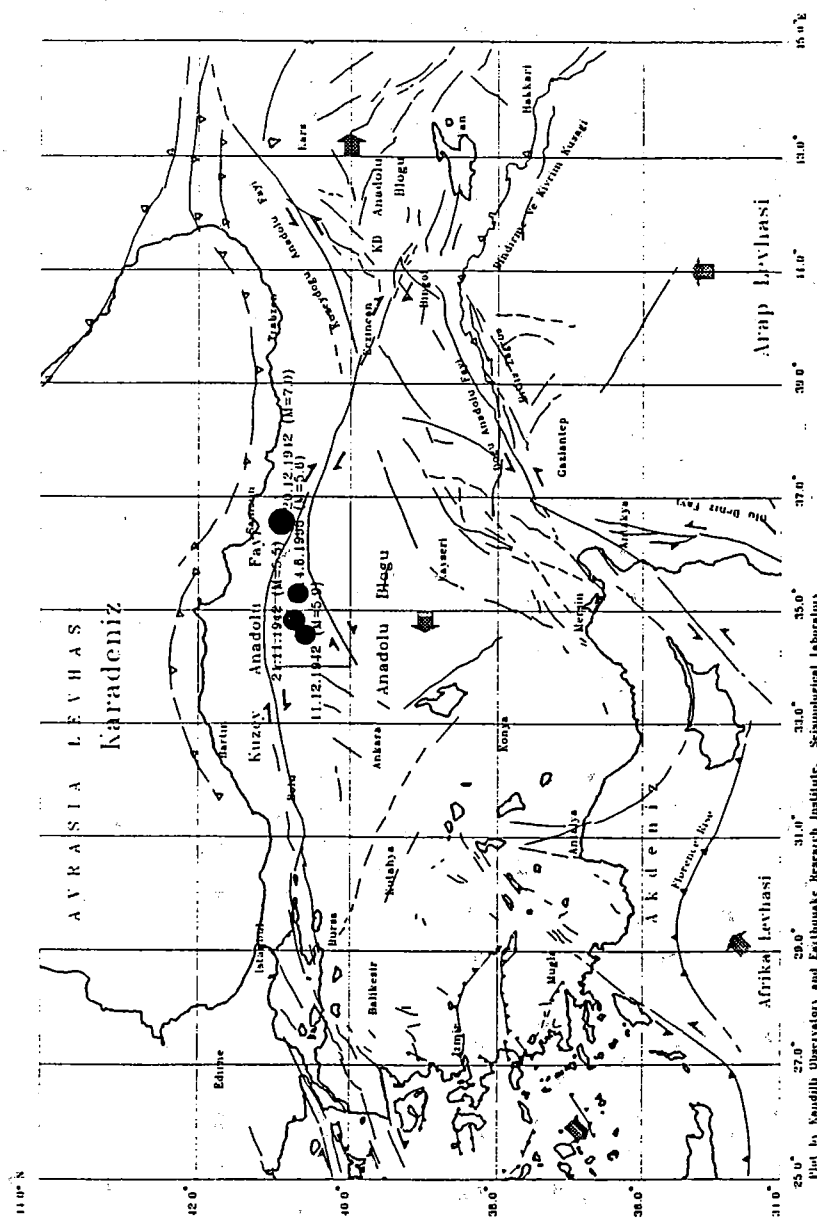
1 kişinin ölmesine dokuz kişinin yaralanmasına neden olan deprem özellikle Mecitözü'ne ve Merzifon'a bağlı köylerde ağır hasarın meydana gelmesine neden olmuştur. Toplam 2606 konutta hasara neden olan deprem başta Amasya ve Çorum illeri olmak üzere Çankırı, Samsun, Sivas, Kayseri, Kırşehir, Tokat illeri ve yakın çevresinde kuvvetlice hissedildi. Depremin merkezi Mecitözü'ne daha yakın olup, Mecitözü'nün kuzeyi ve Çorum il sınırlarının kuzey ucundadır. Ağır hasar Merzifon ve Mecitözü'ne bağlı köylerde olup, yapılarının tamamına yakın bir kısmı depremden etkilenmiştir. Merzifon merkezde herhangi büyük bir hasar meydana gelmemiştir. Gümüşhacıköy'e bağlı köylerde de hasar meydana gelmiştir. Ana şoktan yaklaşık 1 saat sonra 1 dakika arayla magnitüdleri $Ms=5.4$ ve $Ms=5.2$ olan orta şiddette iki depremin daha olması Dinar depremi örneği hafızalardan silinmemiş olan bölge halkını oldukça tedirgin etmiş olup aylarca evlerine girmemişlerdir. Bölgede aletsel dönemde tahrirkar depremlerin olması da depreme karşı olan hassasiyeti artırmıştır. Şekil 12'de bu yüzyılda meydana gelen şiddetli depremler gösterilmektedir. Depremin orta şiddette olmasına rağmen yüzeyde tali kırıklar oluşturmuştur. Kırık sistemleri incelendiğinde yukarıda sözü edilen 3 ayrı şokun farklı mekanizmalarda oluştuğu gözlenmiştir. Kırıkların doğu kısmı genelde KB-GD doğrultulu olmasına

Tunceli-1995

1.0 1.0 0.4542



Şekil 11: 5.12.1995 Tunceli depreminin telesismik cisim dalgalarının analizi
(açıklama için Şekil 5'e bakınız).



Şekil 12: 14.8.1996 Mecitözü deprem bölgesinde son yüzyılda meydana gelen şiddetli depremler ve bölgenin Türkiye'nin sismotektonik yapısındaki yeri.

karşın orta kısımda yer alan kırıklar genel olarak D-B doğrultusunda olduğu tespit edilmiştir (Kalafat, 1996). Ayrıca D-B doğrultulu kırıklarda ters faylanma izlerine rastlanırken KB-GD doğrultulu kırıklarda doğrultu atım bileşenleri hakim olduğu gözlenmiştir. Bu izlenimler yapılan telesismik cisim dalgaları ters çözümünden elde edilen sonuçlarda da görülmüştür (Şekil 13). Şekil 12a'da bu depremle oluşan artçı sarsıntı dağılımı ve ana şokun mekanizması verilmektedir.

Tablo 10. Mecitözü depreminin cisim dalgalarıyla elde edilen parametreleri. Açıklama için Tablo 4'ye bakınız.

Soklar	Oluş Zamanı	Uzaklık (km)	Moment 10^{25} dyn.cm	Dogrultu	Eğim	Atım
1	0	0	0.25	114	87	-173

4.8. 9 Ekim 1996 Kıbrıs Depremi

13:10:52.1 U.T. 34.52K -32.12 D, h=33 km, mb=6.5, Ms=6.8, Io=VII, Mw=6.8, Mo= 1.02×10^{26} dyn.cm.

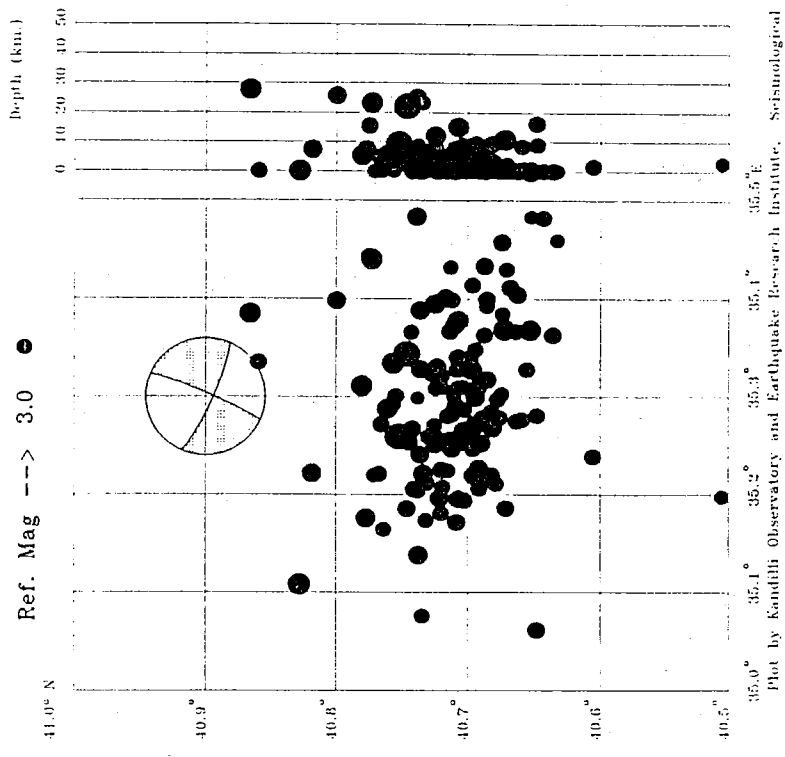
Depremin merkez üstü güneybatı Kıbrıs açıkları olup Akdeniz'dir. Kıbrıs adasında ve Türkiye'nin özellikle güney sahillerinde kuvvetlice hissedilmiştir. Ayrıca İsrail, Lübnan, Suriye, Ürdün ve Mısır'da hissedilmiştir. Deprem esnasında Kıbrıs Rum kesiminde 1 kişi hayatını kaybetmiş olup, 20 kişi yaralanmıştır. Mısır'da da 1 kişi hayatını kaybetmiştir. Özellikle Baf şehrinde hasar meydana gelmiştir. Deprem odak derinliğinin 33 km.'nin üzerinde olması hasarın az olmasına ve geniş bir alanda hissedilmesine neden olmuştur. Bu deprem, Akdeniz'de son birkaç yüz yılın en şiddetli depremidir. Bölgede aletsel dönemde bu büyüklükte depremlerin olmamasından dolayı yörenin sismotektonik özellikleri çok iyi bilinmemektedir.

Depremi takip eden ilk hafta içerisinde yaklaşık 126 adet depremin lokasyonu yapılmıştır. Artçı sarsıntıların genel olarak adanın GB ucundan K-G uzanımlı olarak sıralandığı gözlenmiştir (Şekil 14).

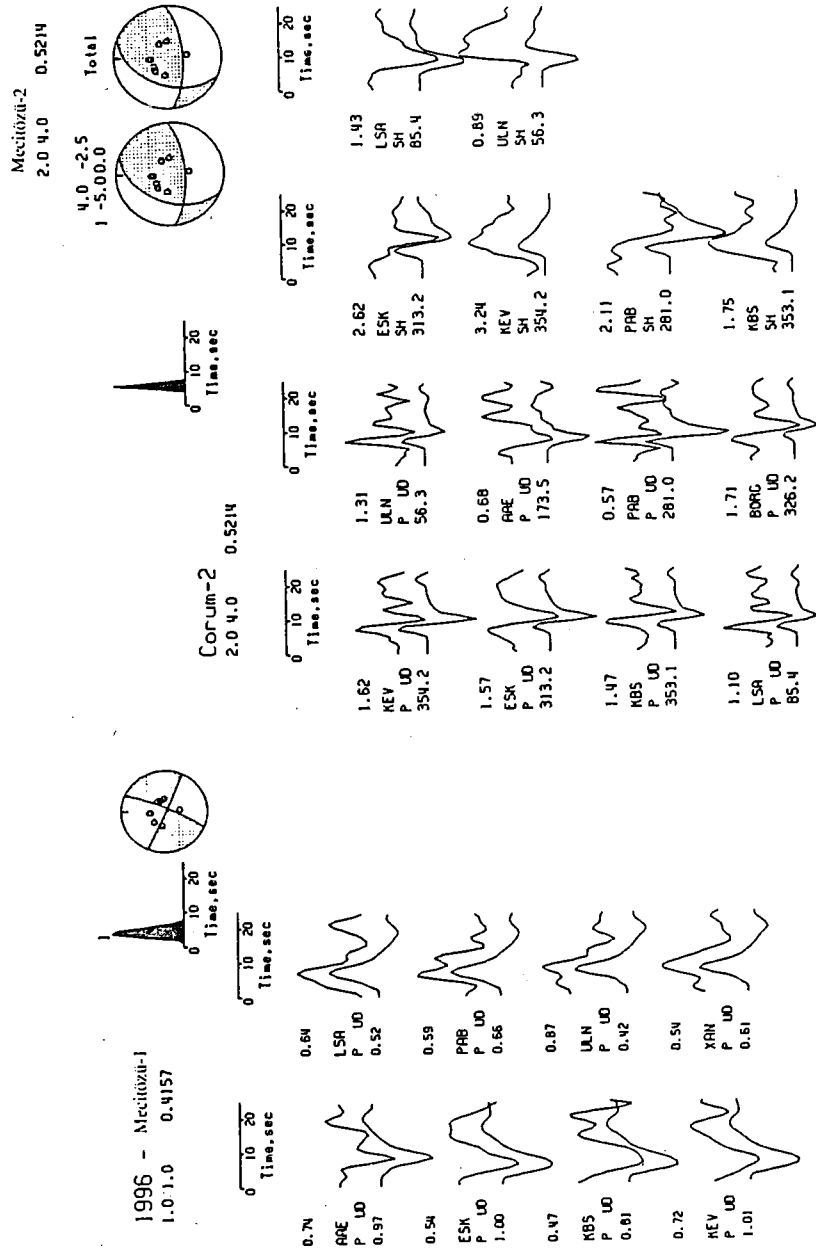
Cisim dalgası ters çözümüyle yapılan deprem odak mekanizması sonucu depremin ters faylanma bileşenine sahip doğrultu atımlı bir faylanma ile meydana geldiğini tespit edilmiştir. Bu bulgu Uluslararası Sismoloji merkezleri ile uyum içindedir (Şekil 14).

Tablo 11. Kıbrıs depreminin cisim dalgalarıyla elde edilen parametreleri. Açıklama için Tablo 4'ye bakınız.

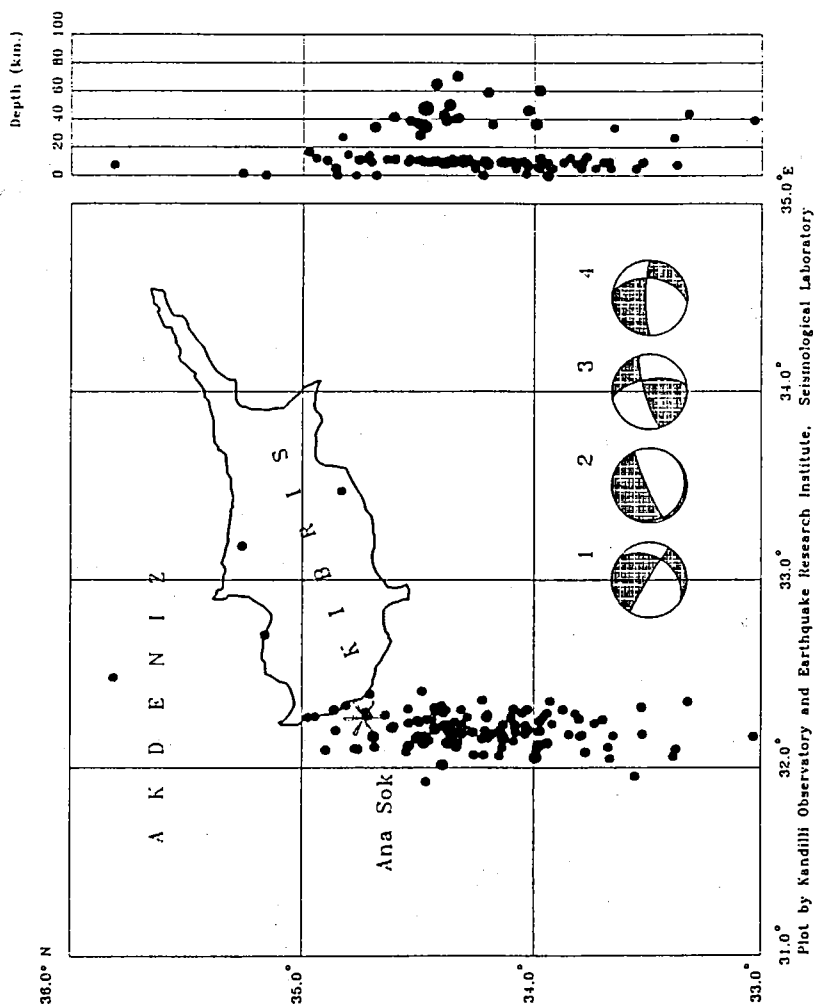
Soklar	Oluş Zamanı	Uzaklık (km)	Moment 10^{25} dyn.cm	Dogrultu	Eğim	Atım
1	4	-10	6.2	301	87	-53
2	8	0	4.8	127	11	-30
3	15	20	6.4	350	62	12
4	22	-10	2.0	270	81	-44



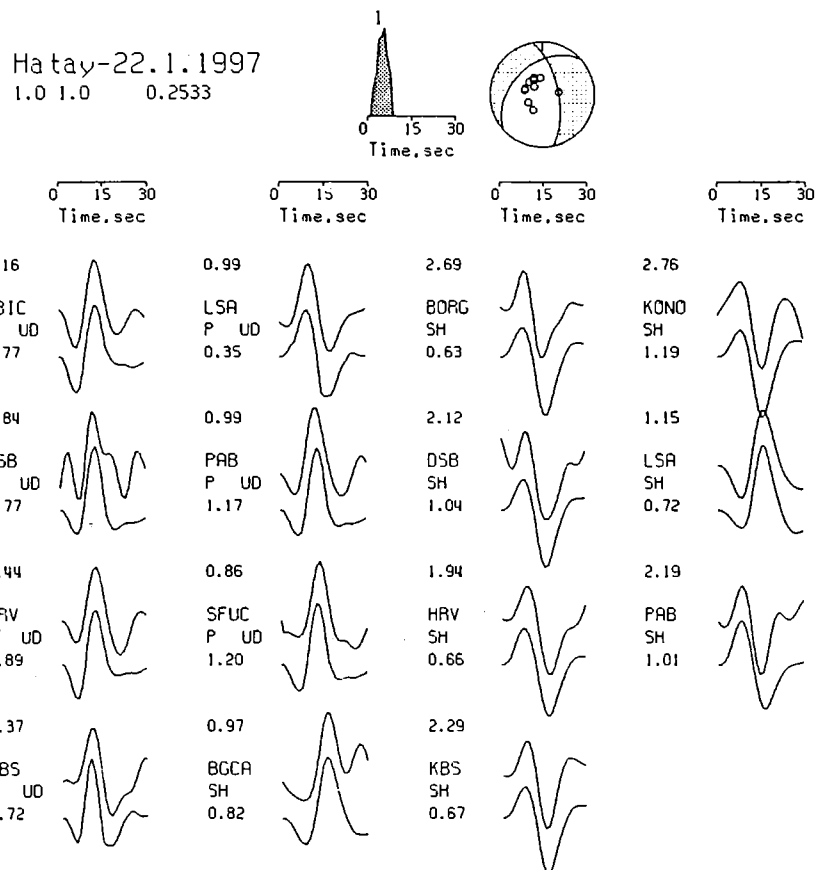
Sekil 12a: Mecitözü depreminin artçı sarsıntılarının dağılımı ve ana şokun mekanizması.



Şekil 13: 14.8.1996 Mecitözü depreminin telesismik cisim dalgalarının analizi
(atıktanma için Şekil 5'e bakınız).



Şkil 14: Kıbrıs depreminin artçı şokları ve elde edilen şokların mekanizmları.



Şekil 15: 22.1.1997 Hatay depreminin telesismik cisim dalgalarının analizi
 (açıklama için Şekil 5'e bakınız).

4.9. 22 Ocak 1997 Hatay depremi

17:57:05.5 U.T. 36.22K-35.86D, $h=4$ km., $mb=5.6$, $Ms=5.5$, $Mw=5.6$, $Io=VI$.

Depremin merkez üstü Hatay iline yaklaşık 20 km. uzaklıkta ve ilin batı-güneybatı doğrultusundadır. Deprem başta Hatay olmak üzere Adana, Mersin, Gaziantep, Urfa, Malatya, Sivas, Kayseri illeri ve çevresinde kuvvetli bir şekilde hissedildi. Deprem esnasında bir vatandaş kalp krizi geçirerek yaşamını yitirdi. 9 vatandaş çeşitli yerlerinden yaralandı. Deprem sonucu çok önemli miktarda hasar olmuşmamıştır. Bununla birlikte yapılan ilk tespitlerde Hatay ili ve çevresindeki yerleşim birimlerinde toplam 736 adet konut hasar görmüştür. Deprem Hatay merkezde, Samandağ'da, İskenderun, Belen, Hassa ilçelerinde ve köylerinde azda olsa hasara neden olmuştur. Genelde ağır hasar gören yapılar eski yiğma ve kerpiç binalar olup betonarme yapılarda hasar yok denenecek kadar az olmuştur. Bazı binaların duvarlarında yüzeysel siva çatlakları meydana gelmiştir. Depremden en çok etkilenen ve hasar gören yapılardan biri de minareler olmuştur. Birçok caminin minaresi büyük hasar görmüştür. Özellikle Hatay ilinin batı-güneybatı'sında etkili olan depremin dış merkezi dağınık alandadır. Bu nedenle yerleşim birimlerinde çok az hasar meydana gelmiştir. Deprem esnasında Hatay ve İskenderun'da elektriklerin kesilmesi vatandaşlar arasında paniğe neden olmuştur. Uzun bir süre telefon hatları kitlenmiş ve şehirlerarası görüşme yapılamamıştır (Kalafat, 1997). Depremi takip eden artçı sarsıntıların yaklaşık 1.5 ay kadar süremesi halkın arasında panik yaratmış ve uzun bir süre vatandaşlar evlerine girememişlerdir. Bölgede eğim atımlı faylanmalar hakim olmakla birlikte doğrultu atımlı faylanmalar da görülmektedir. Yapılan odak mekanizması çözümünde doğrultu atım bileşeni olan normal faylanma özelliğini göstermektedir ve KD-GB doğrultulu düzlem saha gözlemleri ile uyum içinde olup fay düzlemi olarak seçilmiştir (Şekil 15).

Tablo 12. Hatay depreminin cisim dalgalarıyla elde edilen parametreleri. Açıklama için Tablo 4'e bakınız.

Soklar	Oluş Zamanı	Uzaklık (km)	Moment 10^{25} dyn.cm	Dogrultu	Eğim	Atım
1	0	0	0.2	209	37	-39

Teşekkür

Çalışmanın büyük bir kısmı Kandilli Rasathanesi ve Deprem Araştırma Enstitüsü'nde gerçekleştirılmıştır. Bu çalışma imkanlarını oluşturan Enstitüümüz Prof. Dr. A. Mete Işıkara'ya teşekkürü bir borç biliriz. Bunun yanında, Rayleigh yüzey dalgalarını analiz eden programı sağlayan Dr. Sadi Kuleli'ye de teşekkür ederiz. Sayısal verilerin

tamamı IRIS DMC veri merkezinden temin edilmiştir. Bundan dolayı, bu veri merkezi yetkililerine de katkılarından dolayı teşekkür ederiz.

REFERANSLAR:

- Angelier, J., J.F. Dumont, H. Karamanderesi, A. Poisson, Ş. Şimşek, Ş. Uysal (1981). Analyses of fault mechanisms and expansion of southwestern Anatolia since the late Miocene, Tectonophysics, 75, T1-T9.
- Barka, A., L. Gülen (1989). Complex evolution of the Erzincan basin (eastern Turkey) and its pull-apart and continental escape origin, J. Struct. Geol. 11, 3, 275-283.
- Barka, A.A. (1992). The North Anatolian fault zone, Annales Tectonicae, Special Issue, Vol. VI, 164-195.
- Barka, A. A., and H. Eyidoğan (1993). The Erzincan earthquake of 13 March 1992 in Eastern Turkey, Terra Nova, Vol. 5, 190-194.
- Bayülke, N. ve R. Yılmaz (1993). 13 Mart depremi hasar dağılımı, 13 Mart Erzincan deprem raporu, Bayındırlık İşkan Bakanlığı, AİGM, DAD, 111-122.
- Bozkurt, E., A. Koçyiğit (1996). The Kazova basin: an active negative flower structure on the Almus Fault Zone, a splay fault system of the North Anatolian Fault Zone, Turkey, Tectonophysics 265, 239-254.
- Büyükaikoğlu, S. (1980). Sismolojik verilere göre Doğu Akdeniz'in kuzeyinde ve güneydoğu Anadolu'da Avrasya-Afrika levha sınırının özellikleri, DAEB, 29, 58-74.
- Demirtaş, R., S. Karakısa, M. Demir, Y. İravul, B. Baran, G. Bağcı, A. Yatman, S. Zünbül, R. Yılmaz (1995). 1 Ekim 1995 Dinar depremi Ön Raporu, Afet İşleri Genel Müdürlüğü Deprem Araştırma Dairesi Başkanlığı Sismoloji Şube Müdürlüğü, Ankara.
- Dewey, J.F., A.M.C. Şengör (1979). Aegean and Surrounding Regions Complex Multiplate and Continuum Tectonics in A Convergent Zone, Bull. of Geolo. Soc. Am., 90, 84-92.
- Erdik, M., N. Aydınoğlu, A. Pınar, D. Kalafat (1995), October 1, 1995 Dinar (Turkey) earthquake ($M_s=6.1$), Preliminary reconnaissance report (1), Proceedengs of the fifth international Conference on Seismic Zonation, Vol. 3, pp. 2235--2245, Nice, France, October 17-18-19.
- Erdik, M., M. N. Aydınoğlu, A. Pınar, D. Kalafat (1995), 1 Ekim 1995 Dinar depremi ($M_s=6.1$) ön inceleme raporu, TMMOB İnşaat Mühendisleri Bületeni, Sayı: 24, pp. 27-32.
- Eyidoğan H., U. Güçlü, Z. Utku, E. Değirmenci (1991). Türkiye büyük depremleri makrosismik rehberi (1900-1988). İTÜ yayını, İstanbul.
- Eyidoğan, H., A. Barka (1996). The 1 October 1995 Dinar earthquake, SW Turkey, Terra Motae, Vol. 8, 479-485.

- Gündoğdu, O., Y. Altınok, M. Hisarlı, H. Beyaz (1992). 13 Mart 1992 Erzincan Depremi Gözlem ve Değerlendirmeleri, Erzincan Depremi ve Türkiye Deprem Sorunu, 56-62.
- Jackson, J., J. Haines, and W. Holt (1992). The horizontal velocity field in the deforming Aegean sea region determined from the moment tensors of earthquakes, *J. Geophys. Res.*, Vol. 97, 657-684.
- Kalafat, D., (1995). 1964-1994 yılları arasında Türkiye ve Yakın çevresinde etkili olmuş depremlerin makroismisk gözlemleri, *Deprem Araştırma Bülteni*, Sayı 73, 60-107.
- Kalafat, D., (1997). 22 Ocak 1997 Hatay Depremi Gözlemleri, (Yayınlanmamış rapor).
- Kasapoğlu, K. E., and M. N. Toksoz (1983). Tectonic consequences of the collision of the Arabian and Eurasian plates: finite element models, *Tectonophysics*, Vol. 100, 71-95.
- Koçyiğit, A. (1984). Güneybatı ve Yakın Dolayında Levha içi Yeni Tektonik Gelişim, *TJKB*, 27, 1-16.
- Kalafat, D., Z. Öğütçü, M. Kara, Ş. İnce, A. Pınar (1996). 1 Ekim 1995 Dinar Depremi ve Artçı Şokları, IX Mühendislik Sempozyumu, Jeofizik Mühendisliği Bildirileri Kitabı, Süleyman Demirel Üniversitesi, Isparta, pp. 97-101.
- Kalafat, D (1989). Son yıllarda Oluşmuş bazı büyük depremlerin odak mekanizması açısından irdelenmesi, *Deprem Araştırma Bülteni*, Sayı 66, 6-34.
- Kalafat, D (1995). 13 Mart 1992 Erzincan Depremi, *Deprem Araştırma Bülteni*, Sayı: 73, 5-30.
- Le Pichon, X., and J. Angelier (1979). The Hellenic arc and trench system: A key to the neotectonic evolution of the eastern Mediterranean, *Tectonophysics*, Vol. 60, 1-42.
- Le Pichon, X., N. C. Rooke, S. Lallemand, R. Noomen, G. Veis (1995), Geodetic deformation of the kinematics of central Greece with respect to Europe: Implications for eastern Mediterranean tectonics, *J. Geophys. Res.*, 100, 12,675-12,690.
- Muehlberger, R. W. (1981). The splintering of the Dead Sea fault zone in Turkey, H.U., *Yerbilimleri*, Vol. 8, 123-130.
- Nalbant, S., A. Barka, and Ö. Alptekin (1996). Failure stress change caused by the 1992 Erzincan earthquake ($M_s=6.8$), *Geophys. Res. Lett.*, Vol. 23, 1561-1464.
- Nur, A. and Z. Ben-Avraham (1978). The eastern Mediterranean and the Levant: Tectonics of continental collision, *Tectonophysics*, Vol. 46, 297-311.
- Öğütçü, Z., Ş. İnce, A. Pınar, 1995 Dinar Depremi artçı sarsıntılarının istatistikî değerlendirilmesi ve makroismisk gözlemler. *Deprem Araştırma Bülteni*, Sayı: 74, 1996.
- Philip, H., A. Cisternas, A. Gvishiani and A. Gorshkov (1989). The Caucasus: an actual example of the initial stages of continental collision, *Tectonophysics*, Vol. 161, 1-21.
- Pınar, A. (1995). Rupture process and spectra of some major Turkish earthquakes and their seismotectonic implications, Ph.D. Thesis, B.U. İstanbul.

- Pınar, A., Y. Honkura, and M. Kikuchi (1994). Rupture process of the 1992 Erzincan earthquake and its implication for seismotectonics in Eastern Turkey, *Geophys. Res. Lett.*, Vol. 21, pp. 1971-1974.
- Pınar, A. (1996). Uzun periyotlu telesismik cisim dalgalarından 1 Ekim 1995 Dinar depreminin kinematik ve dinamik kaynak parametreleri, IX Mühendislik Sempozyumu, Jeofizik Mühendisliği Bildirileri Kitabı, Süleyman Demirel Üniversitesi, Isparta.
- Pınar, A. ve D. Kalafat (1995). Asperity ve Bariyer deprem modelleri açısından 1995 Dinar Depremi, *Deprem Araştırma Bülteni*, Sayı: 73.
- Rotstein Y and A. L. Kafka (1982). Seismotectonic of the Southhern Boundary of Anatolia Eastern Mediterranean Region: Subduction, collision and arc jumping, *Journal of Geophysical Research*, Vol. 87, 7694-7706.
- Şengör, A.M.C. (1979). The North Anatolian Transform Fault: Its age, offset and tectonic significance, *J. Geol. Soc. London*, 136, 269-282.
- Şengör, A. M. C., and A. Barka (1992). Evolution of the escape related strike-slip systems. Implications for distributions of collisional orogenes. In: 29th Int. Geol. Cong., Kyoto, Japan, Abstr., 1:232
- Suetsugu, D. (1995). Source mechanism practise, ISEE, JICA, Tsukuba, Japan.
- Taymaz T., J.A. Jackson and D. McKenzie (1991). Active Tectonics of the North and central Aegean Sea, *Geophys. J. Int.*, 106, 433-490.
- Taymaz T., H. Eyidoğan and J. Jackson (1991). Source parameters of large earthquakes in the East Anatolian Fault Zone (Turkey), *Geophys. J. Int.*, 106, 537-550.
- Türkelli, N., D. Kalafat, O. Gündoğdu (1995). 6 Kasım 1992 Doğanbey (İzmir) Depremi Saha Gözlemleri ve Odak Mekanizması Çözümü, *Jeofizik Dergisi*, Cilt 9, Sayı 1-2, 343-348.

DEPREM ARAŞTIRMA BÜLTENİ YAYIN KOŞULLARI

1. Bültene gönderilecek telif ve tercüme yazılarını :
 - a) Depremle doğrudan doğruya, ya da dolaylı yoldan ilgili olması.
 - b) Bilimsel ve teknik bir değer taşıması.
 - c) Yurt içinde de deza önce başka bir yerde yayınlanmış olması.
 - d) Dactus ile ve kağıdın ~~yazılı~~ bir yüzüne en az iki nüsha olarak ~~yazılı~~ bulunması;
 - e) Şekillerin aydınlaştırmak için mürekkebi ile çizilmiş olması,
 - f) Fotografların resim ve klip eklentisine müsait bulunması gerekmektedir.
2. Telif arastırma yazılarının bas taraflına araştırmancın genel çerçevesini ~~de~~terteze ~~ve~~ 200 kelime İngilizce, Fransızca ya da Almanca bir ~~de~~kontrol eder.
3. Bayındırıcı ve Iskan Bakanlığının mensubu elemanları tarafından hazırlanan ve telif ~~je~~ in tercüme ücreti ödenerken yayınlanacak olan yazıların, ~~resim~~ sahnenin yanında hazırlanan resmi yazan derleyen, ya da çevirenin ~~bu~~ bulunduğu birim amiri tarafından (genel müdürlüklerde daire başkanı, ~~resim~~ takip birimlerde burum amiri) verilecek bir belge ile belgelendirilmesi ~~sunuludur~~. Bu belge ile birlikte verilmeyen yazılar için ücret ~~de~~emez.
4. Telif ve ~~resim~~ ücretleri ~~resim~~ yazı bültende yayınlandıktan sonra ~~resim~~ kişi ~~bağlanır~~.
5. Bültende yayımlanacak yazılar «Kamu Kurum ve Kuruluşlarının Oluşum Telif ve İşlenme Ücretleri Hakkında Yönetmelik» esaslarına göre ~~resim~~ ~~de~~değerdir.
6. Yazılarında bulunan şekiller ~~je~~ gerekli olan asgari alan içinde bulunazsa ~~de~~cek kelime sayısına göre ücret faktür edilir.
7. Yazıların bültende yayınlanması Genel Müdürlüğümüz bünyesinde tespit eden Üzmanlar Kurulu'na karan ile olur.
8. Soçmayı yapacak Uzmanlar Kurulu 5. maddede sözu edilen asgari alanları hesaplayarak, yazı sahiplerine gereksiz uzatmaların kısaltılmasını teklif etmeye, verilecek ücrette esas ~~resim~~ esas ~~resim~~ edecek kelime sayısını tespit etmeye ve yazıların ~~resim~~ sırasını tayne yekiliyor.
9. Kullanıcı gösteren yazıları bültende yayınlanıp yayınlanmayacağı ~~resim~~ sahibi ~~resim~~ kişi ile ~~resim~~ duyunurulur.
10. Yayınlanmayacak yazılar da ~~resim~~ duymadan sonra en geç bir ay içinde sahibi ~~resim~~ tarihinden geri alınabilir. Bu süre içinde alınmayan yazıların korumasından Genel Müdürlüğümüz sorumlu değildir.
11. Yayınlanan yazılardaki fikir, görüş ve öneriler tamamen yazarlarına aittir. Afer İşlet, Genel Müdürlüğüne baglaçnazz ve Genel Müdürlüğümüzün ~~resim~~ görüşünü ~~resim~~ yansıtmaz.
12. Diğer kurumlar ve Bakanlık mensupları tarafından bilgi, haber tanımı vb. gibi ~~resim~~ tarihelerle gönderilecek not ve açıklamalar, ya da bu nitelikteki yazılar ~~je~~ ücret ~~de~~emez.
13. Genel Müdürlüğümüz ~~resim~~ Genel Müdürlükçe kendilerine verilez ~~resim~~ tarihe ait ~~resim~~ maliyetlerden öncesi herhangi bir telif ya da tercüme ~~resim~~ talep edemeler.